

SUBSANACIÓN DE DEFICIENCIAS PROCEDIMENTO DE EIA DEL PROYECTO DE ACTUACIÓN ÁREA LOGÍSTICA DE INTERÉS AUTONÓMICO DE MAJARABIQUE

PUNTO 1. REFERENTE A LOS SUELOS QUE HAYAN CONTENIDO ACTIVIDADES POTENCIALMENTE CONTAMINANTES.

Antes de iniciar las disquisiciones y aunque ya se ha caracterizado el ámbito en los estudios previos, resulta conveniente realizar una breve descripción sobre los usos del suelo en la zona.

El ámbito del Área Logística de Interés Autonómico de Majarabique está situado al Norte del municipio de Sevilla y, en continuidad, al Sur del de La Rinconada, en la provincia de Sevilla. El territorio afectado ocupa una extensión de 193,20 Has. dedicadas principalmente a la explotación agrícola pero también se encuentran implantadas actividades de índole industrial y minera. En concreto al Norte del ámbito existen unas instalaciones dedicadas al vivero de plantas ornamentales "Universal Plantas S.A.", con una superficie de aproximadamente 25.600 m², en cuanto a la actividad minera, se trata de 4 explotaciones a cielo abierto dedicadas a la extracción de áridos, dos de ellas están inactivas en la actualidad, ocupan aproximadamente 160.555 m². En el ámbito también se localiza el Cortijo de Majarabique Chico, una edificación rural tradicional con funciones originariamente agrícolas que el Proyecto conservará, integrándolo en el Centro Integral de Servicios (CIS).

Hasta hace relativamente poco tiempo la preocupación por la contaminación del suelo ha sido escasa, puesto que a la falta de legislación se añade la falta de una noción dada acerca de la relación existente entre la calidad del suelo y el óptimo aprovechamiento de las actividades que sobre él se desarrollan.

Entre 1996 y 1998, la Consejería de Medio Ambiente (CMA) realizó un inventario de suelos potencialmente contaminados de Andalucía. A efectos de este trabajo se definieron seis grupos de actividades que se estiman generadoras potenciales de suelos contaminados.



GRUPOS DE ACTIVIDADES Y TIPOS DE EMPLAZAMIENTOS

- *Establecimientos industriales* en activo que por su consumo y/o almacenamiento de sustancias, procesos productivos o naturaleza de los residuos generados pueden ser potencialmente generadores de suelos contaminados
- *Establecimientos industriales abandonados* o que han cesado ya su actividad
- *Vertederos de naturaleza industrial*
- *Vertederos urbanos*
- *Establecimientos mixtos*, este término tiene dos acepciones:
 - ◆ emplazamientos en los que se desarrolla actividad industrial y que disponen en sus instalaciones de algún tipo de vertedero
 - ◆ vertedero con residuos industriales y urbanos sin que de visu sea posible decantarse sobre la mayor abundancia de usos u otros
- *Estaciones de servicio*

Fuente: *Inventario de Suelos Potencialmente Contaminados de Andalucía, 1998*

Pero no es hasta la entrada en vigor del Real Decreto 9/2005, de 14 de enero, por el que se establece la relación de actividades potencialmente contaminantes del suelo y los criterios y estándares para la declaración de suelos contaminados, cuando se cuenta con una lista de actividades que sirve como herramienta para determinar los sectores industriales sobre los que recaerían las obligaciones enfocadas al control de la contaminación del suelo y la gestión adecuada del mismo.

Tras realizar un análisis exhaustivo de la relación de Actividades potencialmente contaminantes del suelo, recogidas en el Anexo I de dicha normativa y como se pone de manifiesto en la cartografía adjunta, se puede concluir que ninguna de las actividades que se desarrollan en el ámbito del Área Logística de Interés Autonómico de Majarabique, se incluye en esta relación como actividad potencialmente contaminante del suelo.



En conclusión:

- 1.- En el ámbito de la actuación no hay terrenos que hayan contenido actividades potencialmente contaminantes del suelo.
- 2.- No puede, pues, aportarse una clasificación de los suelos que hayan contenido actividades potencialmente contaminantes del suelo y estén sujetos a cambio de clasificación o de uso.
- 3.- Tampoco procede aportar Informe de Situación de los suelos listados.

ANEXO I.

| CNAE93-Rev1 | Descripción |
|-------------|--|
| 11,10 | Extracción de crudos de petróleo y gas natural. |
| 11,20 | Actividades de los servicios relacionados con las explotaciones petrolíferas y de gas, excepto actividades de prospección. |
| 13,20 | Extracción de minerales metálicos no ferreos, excepto minerales de uranio y torio. |
| 15,40 | Fabricación de grasas y aceites (vegetales y animales). |
| 17,30 | Acabado de textiles. |
| 17,54 | Fabricación de tejidos impregnados, endurecidos o recubiertos en materias plásticas. |
| 18,301 | Preparación, curtido y teñido de pieles de peletería. |
| 19,10 | Preparación, curtido y acabado del cuero. |
| 20,10 | Aserrado y cepillado de la madera, preparación industrial de la madera. |
| 20,20 | Fabricación de chapas, tableros, contrachapados, alistonados, de partículas aglomeradas, de fibras y otros tableros de paneles. |
| 21,1 | Fabricación de pasta papelera, papel y cartón. |
| 21,24 | Fabricación de papeles pintados. |
| 22,2 | Artes gráficas y actividades de los servicios relacionados con las mismas (1). |
| 23,10 | Coquerías. |
| 23,20 | Refino de petróleo. |
| 24,1 | Fabricación de productos químicos básicos. |
| 24,20 | Fabricación de pesticidas y otros productos agroquímicos. |
| 24,30 | Fabricación de pinturas, barnices y revestimientos similares; tinta de imprenta y masillas. |
| 24,4 | Fabricación de productos farmacéuticos. |
| 24,5 | Fabricación de jabones, detergentes y otros artículos de limpieza y abrillantamiento. Fabricación de perfumes y productos de belleza e higiene. |
| 24,6 | Fabricación de otros productos químicos. |
| 24,70 | Fabricación de fibras artificiales y sintéticas. |
| 25,1 | Fabricación de productos de caucho. |
| 26,1 | Fabricación de vidrio y productos de vidrio. |
| 26,21 | Fabricación de artículos cerámicos de uso doméstico y ornamental. |
| 26,3 | Fabricación de azulejos y baldosas de cerámica. |
| 26,65 | Fabricación de fibrocemento. |
| 26,8 | Fabricación de productos minerales no metálicos diversos. |
| 27,10 | Fabricación de productos básicos de hierro, acero y ferroaleaciones. |
| 27,21 | Fabricación de tubos de hierro. |
| 27,22 | Fabricación de tubos de acero. |
| 27,3 | Otros procesos de primera transformación del hierro y del acero. |
| 27,41 | Producción y primera transformación de metales preciosos. |
| 27,42 | Producción y primera transformación de aluminio. |
| 27,43 | Producción y primera transformación de plomo, cinc y estaño. |

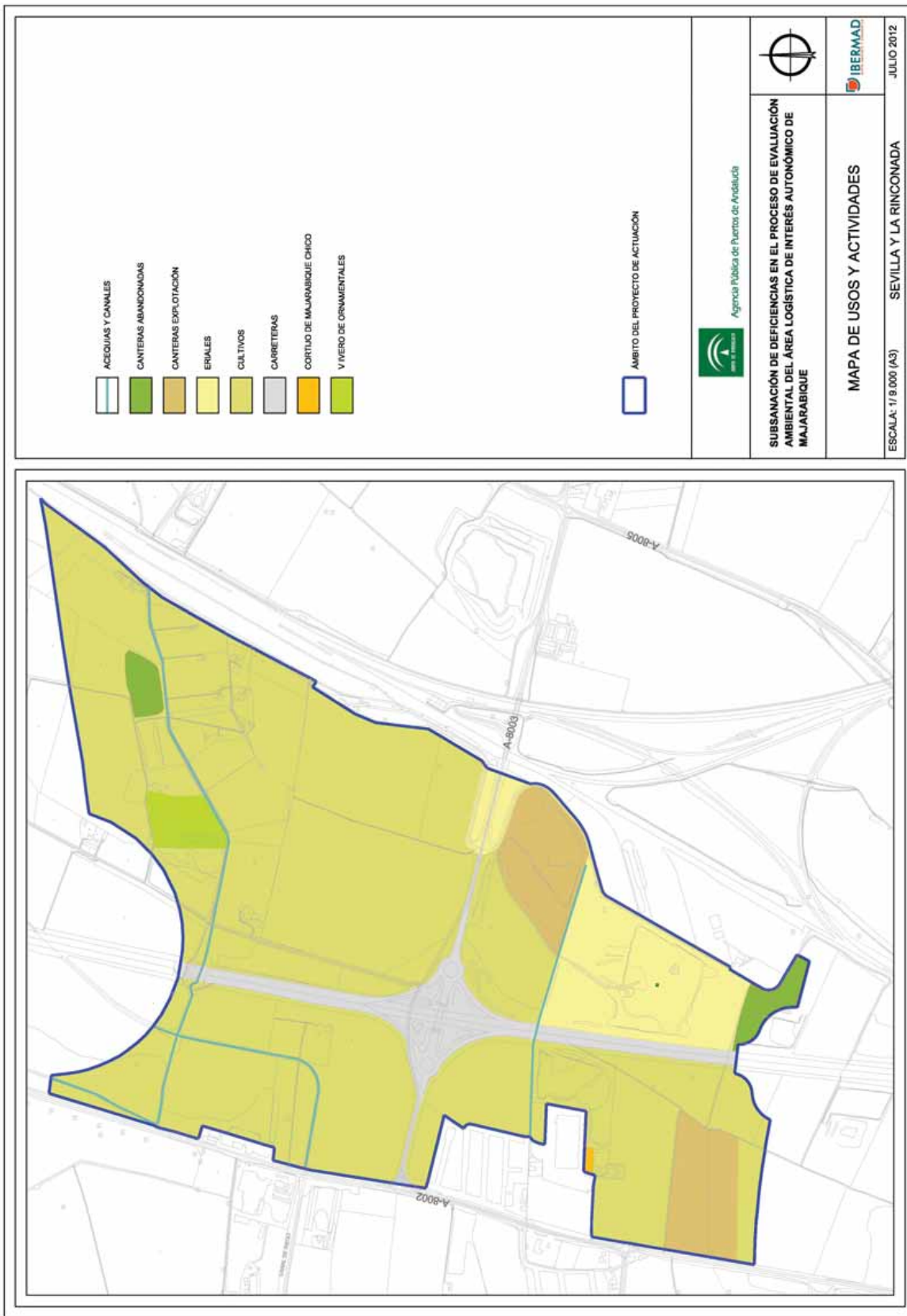


| | |
|-------|---|
| 27,44 | Producción y primera transformación de cobre. |
| 27,45 | Producción y primera transformación de otros metales no ferreos. |
| 27,5 | Fundición de metales. |
| 28,1 | Fabricación de elementos metálicos para la construcción. |
| 28,2 | Fabricación de cisternas, grandes depósitos y contenedores de metal. |
| | Fabricación de radiadores y calderas para calefacción central. |
| 28,3 | Fabricación de generadores de vapor. |
| 28,40 | Forja, estampación y embutición de metales; metalurgia de polvos. |
| 28,5 | Tratamiento y revestimiento de metales. |
| | Ingeniería mecánica general por cuenta de terceros. |
| 28,6 | Fabricación de artículos de cuchillería y cubertería, herramientas y ferretería. |
| 28,63 | Fabricación de cerraduras y herrajes. |
| 28,7 | Fabricación de productos metálicos diversos, excepto muebles. |
| 29,1 | Fabricación de máquinas, equipos y material mecánico. |
| 29,2 | Fabricación de máquinas, equipo y material mecánico de uso general. |
| 29,3 | Fabricación de maquinaria agraria. |
| 29,4 | Fabricación de máquinas-herramienta. |
| 29,5 | Fabricación de maquinaria diversa para usos específicos. |
| 29,6 | Fabricación de armas y municiones. |
| 29,71 | Fabricación aparatos electrodomésticos. |
| 30,0 | Fabricación de máquinas de oficina y equipos informáticos. |
| 31,1 | Fabricación de motores eléctricos, transformadores y generadores. |
| 31,2 | Fabricación de aparatos de distribución y control eléctricos. |
| 31,3 | Fabricación de hilos y cables eléctricos aislados. |
| 31,4 | Fabricación de acumuladores y pilas eléctricas. |
| 31,5 | Fabricación de lámparas eléctricas y aparatos de iluminación. |
| 31,6 | Fabricación de otro equipo eléctrico. |
| 32,1 | Fabricación de válvulas, tubos y otros componentes electrónicos. |
| 32,2 | Fabricación de transistores de radiodifusión y televisión y de aparatos para la radiotelefonía y radiotelegrafía con hilos. |
| 32,3 | Fabricación de aparatos de recepción, grabación y reproducción de sonido e imagen. |
| 33,1 | Fabricación de equipo e instrumentos médico-quirúrgicos y de aparatos ortopédicos. |
| 33,2 | Fabricación de instrumentos y aparatos de medida, verificación, control, navegación y otros fines, excepto equipos de control para procesos industriales. |
| 33,3 | Fabricación de equipos de control de procesos industriales. |
| 34,10 | Fabricación de vehículos de motor. |
| 34,20 | Fabricación de carrocerías para vehículos de motor, de remolques y semirremolques. |
| 34,30 | Fabricación de partes, piezas y accesorios no eléctricos para vehículos de motor y sus motores. |
| 35,1 | Construcción y reparación naval. |
| 35,20 | Fabricación de material ferroviario. |
| 35,30 | Construcción aeronáutica y espacial. |
| 35,4 | Fabricación de motocicletas y bicicletas. |



| | |
|--------|---|
| 36,1 | Fabricación de muebles. |
| 36,63 | Fabricación de otros artículos que utilicen sustancias peligrosas. |
| 37,10 | Reciclaje de chatarra y desechos de metal. |
| 37,20 | Reciclaje de desechos no metálicos. |
| 40,1 | Producción y distribución de energía eléctrica. |
| 40,2 | Producción de gas, distribución de combustibles gaseosos por conductos urbanos, excepto gasoductos. |
| 50,20 | Mantenimiento y reparación de vehículos de motor. |
| 50,40 | Venta, mantenimiento y reparación de motocicletas y ciclomotores y de sus repuestos y accesorios (2). |
| 50,50 | Venta al por menor de carburantes para la automoción, cuando posean instalaciones de almacenamiento. |
| 51,12 | Intermediarios del comercio de combustibles, minerales, metales y productos químicos industriales. |
| 51,51 | Comercio al por mayor de combustibles sólidos, líquidos y gaseosos y productos similares. |
| 51,52 | Comercio al por mayor de metales y minerales metálicos. |
| 51,532 | Comercio al por mayor de pinturas y barnices. |
| 51,551 | Comercio al por mayor de fertilizantes y productos químicos para la agricultura. |
| 51,553 | Comercio al por mayor de productos químicos industriales. |
| 51,57 | Comercio al por mayor de chatarra y productos de desecho. |
| 52,486 | Comercio al por menor de combustibles. |
| 60,10 | Transporte por ferrocarril. |
| 60,2 | Otros tipos de transporte terrestre. |
| 60,3 | Transporte por tubería. |
| 63,122 | Depósito y almacenamiento de mercancías peligrosas. |
| 63,22 | Otras actividades anexas de transporte marítimo. |
| 63,23 | Otras actividades anexas de transporte aéreo. |
| 74,811 | Laboratorios de revelado, impresión y ampliación fotográfica (1). |
| 90,01 | Recogida y tratamiento de aguas residuales. |
| 90,02 | Recogida y tratamiento de otros residuos. |
| 90,03 | Actividades de saneamiento, descontaminación y similares (3). |
| 93,01 | Lavado, limpieza y teñido de prendas textiles y de piel (1). |

Se acompaña el presente informe de Cartografía sobre usos del suelo y actividades.





JUNTA DE ANDALUCÍA
CONSEJERÍA DE FOMENTO Y VIVIENDA
Agencia Pública de Puertos de Andalucía
Dpto. Planificación y Desarrollo del Transporte
A/A D. Guillermo Vilana Espejo
Avda. San Francisco Javier nº 20, planta 2^a
(Edificio Catalana-Oeste)
41018 SEVILLA

Sevilla, 30 de noviembre del 2012

LL/AM/AG/IM

Asunto: *Certificado de Capacidad de Depuración de las aguas residuales generadas por el Área Logística de Majarabique.- Expte: s/n (LR-037-08).- LA RINCONADA.*

Respondiendo a su solicitud por el requerimiento de la Confederación Hidrográfica del Guadalquivir, le informamos que la Estación Depuradora EDAR Norte "San Jerónimo" tiene capacidad suficiente para asumir el tratamiento de las aguas residuales que genere el Área Logística de Majarabique.

Atentamente,

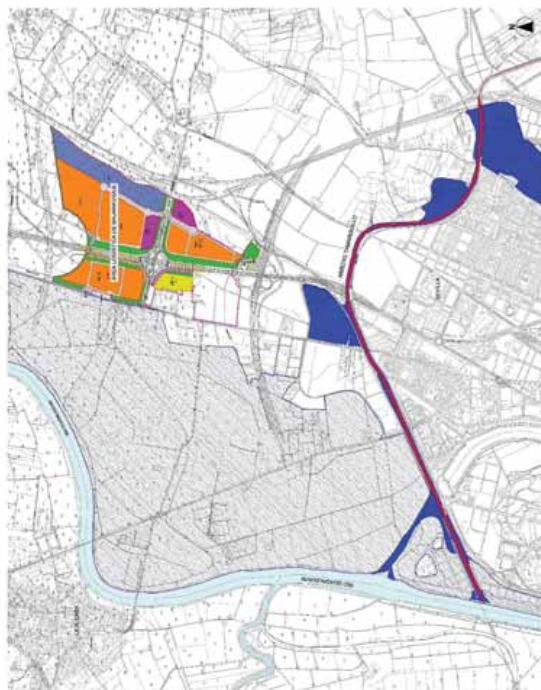
Antonio Diaz Muñoz
DIRECTOR DE OPERACIONES



PROYECTO DE ACTUACIÓN DEL ÁREA LOGÍSTICA DE INTERÉS AUTONÓMICO DE MAJARABIQUE



SEPTIEMBRE 2018



TOMO III
**ESTUDIO DE INUNDABILIDAD PARA EL PROYECTO DE ACTUACIÓN DEL
ÁREA LOGÍSTICA DE MAJARABIQUE. TM. SEVILLA Y LA RINCONADA.**





ESTUDIO DE INUNDABILIDAD PARA EL PROYECTO DE ACTUACIÓN DEL ÁREA
LOGÍSTICA DE MAJARAVIQUE. TM. SEVILLA Y LA RINCONADA.

Agencia Pública de Puertos de Andalucía
CONSEJERÍA DE FOMENTO Y VIVIENDA



MEMORIA:

DOCUMENTO N° 1 MEMORIA





ESTUDIO DE INUNDABILIDAD PARA EL PROYECTO DE ACTUACIÓN DEL ÁREA LOGÍSTICA DE MAJARAVIQUE, TM. SEVILLA Y LA RINCONADA.



Agencia Pública de Puertos de Andalucía
CONSEJERÍA DE FOMENTO Y VIVIENDA

INDICE:

| | | |
|--|-------|----|
| MEMORIA | | 3 |
| 1. INTRODUCCIÓN Y ANTECEDENTES DEL CENTRO DE TRANSPORTE DE MERCANCÍAS DE MAJARAVIQUE. PLAN INTERMUNICIPAL DE SECTORIZACIÓN. | | 3 |
| 2. LA ORDENACIÓN PORMENORIZADA DEL PLAN INTERMUNICIPAL: USOS Y ACTIVIDADES. | | 3 |
| 3. CLASIFICACIÓN DE SUELO PREVISTA EN LOS PLANES GENERALES DE SEVILLA Y LA RINCONADA. | | 4 |
| 3.1. PLAN GENERAL DE ORDENACION URBANÍSTICA DEL MUNICIPIO DE SEVILLA. | | 4 |
| 3.2. PLAN GENERAL DE ORDENACION URBANÍSTICA DEL MUNICIPIO DE LA RINCONADA. | | 5 |
| 4. CONDICIONANTES HIDRAULICOS EN TRAMITACIÓN: EL PROYECTO DEL NUEVO CAUCE DE INUNDACIONES DE LOS ARROYOS TAMARGUILLO Y RANILLAS. | | 6 |
| 5. DESCRIPCIÓN GENERAL DEL ESTUDIO. | | 9 |
| 5.1. CARTOGRAFÍA Y TOPOGRAFÍA. | | 9 |
| 5.2. LA INUNDABILIDAD DEL RÍO GUADALQUIVIR ENTRE SEVILLA Y LA ALGABA: ESTUDIO HIDRAULICO CHG (1995) Y PROYECTO LINDE (2004). | | 9 |
| 5.2.1. ESTUDIO HIDRAULICO DEL GUADALQUIVIR Y DELIMITACIÓN DE LA ZONA DE DOMINIO PÚBLICO Y ZONAS INUNDABLES. | | 9 |
| 5.2.2. PROYECTO LINDE: ESTUDIO DE DELIMITACIÓN PREVIA DEL DOMINIO PÚBLICO HIDRAULICO CORRESPONDIENTE A LA SEGUNDA FASE, SEGUNDA ETAPA DEL PROYECTO LINDE EN LA CUENCA HIDROGRÁFICA DEL RÍO GUADALQUIVIR. | | 10 |
| 5.3. CARACTERÍSTICAS DEL ENCAUZAMIENTO DEL ARROYO TAMARGUILLO Y LAS SUBCUENCIAS ASOCIADAS. | | 11 |
| 5.4. GEOLOGÍA. | | 13 |
| 5.4.1. GEOMORFOLOGÍA. | | 13 |
| 5.4.2. LOS SUELOS. | | 14 |
| 5.4.3. HIDROGEOLÓGIA. | | 15 |
| 5.5. CLIMATOLOGÍA. | | 18 |
| 5.6. GEOTECNIA. | | 20 |
| 6. HIDROLOGÍA. | | 21 |
| 6.1. CONSIDERACIONES GENERALES DEL RÉGIMEN HIDROLÓGICO DE CAUDALES Y LAS DEFENSAS HIDRAULICAS DE SEVILLA. | | 22 |
| 6.2. ESTUDIO HIDROLÓGICO DEL ENCAUZAMIENTO DEL ARROYO TAMARGUILLO. | | 23 |
| 6.2.1. CAUDALES ASIGNADOS A LOS CAUCES FLUVIALES ESTUDIADOS. | | 23 |
| 7. DELIMITACIÓN DE LA CUENCA VERTIENTE. | | 23 |
| 7.1. CARACTERÍSTICAS DE LAS SECCIONES DEL ENCAUZAMIENTO. | | 23 |
| 7.1.1. SECCIONES TRANSVERSALES DEL ENCAUZAMIENTO. | | 23 |
| 7.1.2. ESTRUCTURAS DE PASO SUPERIOR. | | 24 |
| 8. METODOLOGÍA PARA LOS CALCULOS HIDRAULICOS CON EL PROGRAMA HEC-RAS. | | 24 |
| 8.1. CONSIDERACIONES TÉCNICAS PARA LA APLICACIÓN DE HEC-RAS. | | 25 |
| 8.2. GEOMETRÍA. | | 25 |
| 8.1. COEFICIENTE DE RUGOSIDAD ADAPTADOS. | | 25 |
| 8.2. PENDIENTE DE LOS CAUCES AGUAS ARRIBA Y ABAJO DE LOS PUNTOS DE CONTROL. | | 26 |
| 8.3. CAUDALES DE CÁLCULO Y CONDICIONES DE CONFORMIDAD. | | 26 |
| 9. INUNDABILIDAD DEL ENCAUZAMIENTO DEL ARROYO TAMARGUILLO: PRINCIPALES RESULTADOS Y CONCLUSIONES DE LAS SALIDAS HEC-RAS. | | 26 |
| 9.1. INUNDACIÓN REFERIDA AL ARROYO TAMARGUILLO. | | 26 |
| 9.2. INUNDACIÓN POR AVENIDAS EN EL RÍO GUADALQUIVIR. | | 28 |

DOCUMENTO N° 1 MEMORIA





ESTUDIO DE INUNDABILIDAD PARA EL PROYECTO DE ACTUACIÓN DEL ÁREA LOGÍSTICA DE MAJARAVIQUE, TM. SEVILLA Y LA RINCONADA.

Agencia Pública de Puertos de Andalucía
CONSEJERÍA DE FOMENTO Y VIVIENDA



MEMORIA

1. INTRODUCCIÓN Y ANTECEDENTES DEL CENTRO DE TRANSPORTE DE MERCANCIAS DE MAJARAVIQUE. PLAN INTERMUNICIPAL DE SECTORIZACION.

Los suelos del Área Logística para transporte de mercancías de Majaravique permitirán a la Aglomeración de Sevilla anticiparse a la previsible futura expansión de las actividades logísticas y Empresariales, reservando unos suelos estratégicos por la alta accesibilidad respecto a la red vial de primer orden y las líneas ferroviarias.

La actuación urbanística se tramita desde la Consejería de Fomento y Vivienda de acuerdo con la Ley 5/2001 Reguladora de las Áreas de Transporte de Mercancías en Andalucía, para creación de los suelos productivos, logísticos y de actividades relacionadas con el transporte de mercancías.

El Área Logística incluye en su interior el Centro Regional de Transportes de Sevilla y está incluido en la planificación del Plan de Ordenación Territorial de la Aglomeración Urbana de Sevilla.

Está localizada entre los municipios de Sevilla y La Rinconada, en la margen Oeste del ferrocarril de la estación ferroviaria de mercancías de Majaravique, asegurando una correcta localización e implantación territorial con buena accesibilidad hacia el ferrocarril y hacia la futura circunvalación SE-40.

Los PGOU's de Sevilla y La Rinconada incluyen en sus determinaciones el desarrollo de dicho planeamiento de carácter intermunicipal, con uso global para actividades económicas con especialización para las logísticas y servicios complementarios.

De acuerdo con el planeamiento subregional aprobado, la Agencia Pública de Puertos (APP) de la Consejería de Fomento y Vivienda está tramitando la propuesta de Ordenación Portuaria para la creación de los suelos productivos, logísticos y de actividades relacionadas con el transporte de mercancías, incluidos en su delimitación.

2. LA ORDENACION PORMENORIZADA DEL PLAN INTERMUNICIPAL: USOS Y ACTIVIDADES.

- Área Logística. 18,67 hectáreas.

- Terminal Intermodal. 24,86 hectáreas.

- Centro Integrado de Servicios CIS. 10,8 hectáreas.

En la siguiente Tabla se presentan las superficies de cada parcela:

TABLA DE SUPERFICIES:

| USOS | SUPERFICIE (HAS) | SUPERFICIE (%) |
|---|------------------|----------------|
| PARQUES DE ACTIVIDAD: | | |
| Centro de Transportes de Mercancías (CTM) | 133,53 | 64,42 |
| CTM-1 | 79,81 | 38,50 |
| CTM-2 | 17,43 | 8,41 |
| CTM-3 | 21,83 | 10,53 |
| CTM-4 | 19,30 | 9,31 |
| Área Logística Especializada (LE) | | |
| LE-1 | 21,25 | 10,25 |
| LE-2 | 18,57 | 8,96 |
| LE-3 | 6,31 | 3,05 |
| LE-4 | 4,69 | 2,26 |
| Terminal Intermodal (TI) | | |
| TI | 1,84 | 0,89 |
| Centro Integrado de Servicios | | |
| CIS-1 | 5,72 | 2,76 |
| CIS-2 | 24,85 | 11,99 |
| CIS-3 | 24,85 | 11,99 |
| ESTRUCTURA VIARIA: | | |
| Redes Territoriales | 4,97 | 20,15 |
| Vial Estructurante | 31,92 | 15,40 |
| ESPACIOS LIBRES Y ZONAS VERDES: | 9,85 | 4,75 |
| Espacios Libres y Zonas Verdes | 31,97 | 15,42 |
| TOTAL | 207,27 | 100,00 |





ESTUDIO DE INUNDABILIDAD PARA EL PROYECTO DE ACTUACIÓN DEL ÁREA LOGÍSTICA DE MAJARAVIQUE, TM. SEVILLA Y LA RINCONADA.

Agencia Pública de Puertos de Andalucía
CONSEJERÍA DE FOMENTO Y VIVIENDA



3. CLASIFICACIÓN DE SUELO PREVISTA EN LOS PLANES GENERALES DE SEVILLA Y LA RINCONADA.

La clasificación urbanística de los suelos prevista en ambos PGOU de Sevilla y La Rinconada es la de SUELO URBANIZABLE NO SECTORIZADO, SUS-DMN-02, con la finalidad de otorgar al desarrollo urbanístico la máxima oportunidad a la coordinación y la gestión coordinada entre ambos municipios.

Los suelos incluidos corresponden a terrenos de la vega norte de Sevilla, un territorio con usos y actividades asociados a su condición agrícola, con una amplia dispersión de usos industriales, actividades extractivas, junto con asentamientos residenciales diseminados de carácter rural y con huertas familiares, así como otras actividades de ocio y terciario.

3.1 PLAN GENERAL DE ORDENACION URBANISTICA DEL MUNICIPIO DE SEVILLA.

El Plan General de Ordenación Urbanística del municipio de Sevilla fue aprobado por Resolución de la Consejería de Fomento y Vivienda de la Junta de Andalucía de 19 de julio de 2.006 y publicado en el BOJA nº 174 de 7 de septiembre de 2006. En el entorno del ámbito del proyecto las principales determinaciones urbanísticas son las siguientes:

- NUEVA CARRETERA "PASO TERRITORIAL NORTE" ENTRE ACCESOS DE LA A-86 Y LA A-4. (MERIDA Y MADRID); se trata de una carretera metropolitana con previsión de construir un nuevo enlace con la carretera A-8009, (Acceso Norte a Sevilla). (ver Anexo de Planeamiento).
- NUEVO CAUCE DE LOS ARROYOS TAMARGUILLO Y MIRAFLORES, SISTEMA GENERAL DE INFRAESTRUCTURA HIDRAULICA.
- PARQUE METROPOLITANO DEL NUEVO CÁNAL DEL RANILLAS: SGEL-6. SISTEMA DE ESPACIOS VERDES Y ZONAS LIBRES DENTRO DEL NUEVO CAUCE DE AVENIDAS.
- ÁREA LOGÍSTICA NORTE DE MAJARAVIQUE: SUELOS URBANIZABLES NO SECTORIZADOS SUS-DMN-01, ENTRE SEVILLA Y LA RINCONADA. USO GLOBAL ACTIVIDADES PRODUCTIVAS.



DOCUMENTO Nº 1 MEMORIA





ESTUDIO DE INUNDABILIDAD PARA EL PROYECTO DE ACTUACION DEL AREA LOGÍSTICA DE MAJARAVIQUE, TM. SEVILLA Y LA RINCONADA.

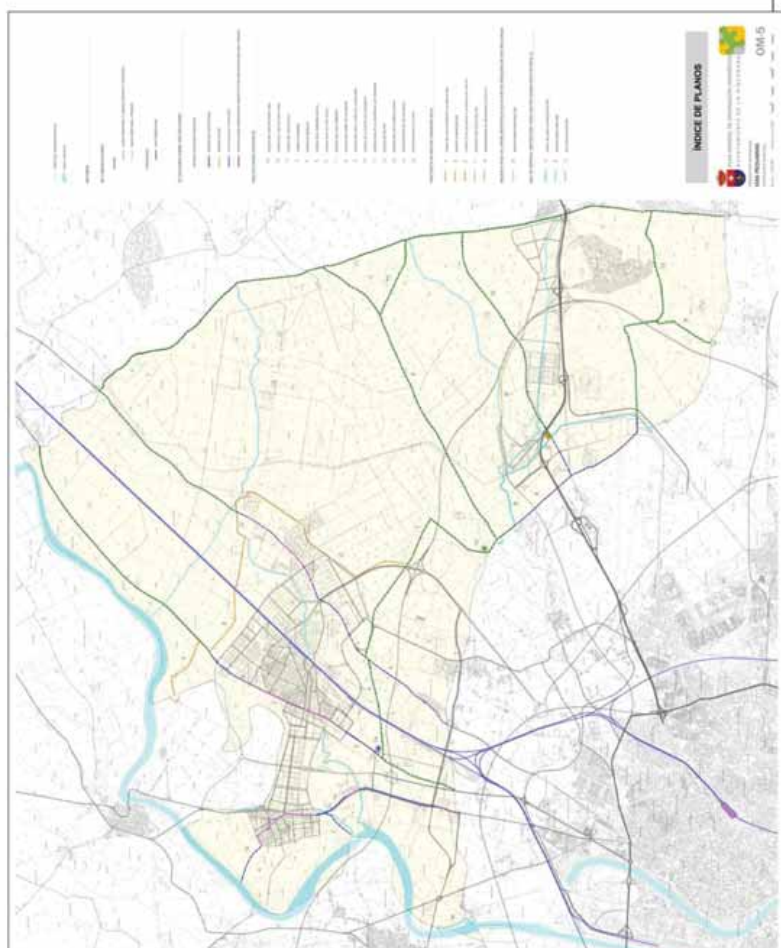
Agencia Pública de Puertos de Andalucía
CONSEJERÍA DE FOMENTO Y VIVIENDA



3.2 PLAN GENERAL DE ORDENACION URBANISTICA DEL MUNICIPIO DE LA RINCONADA.

El Plan General de Ordenación Urbanística del municipio de La Rinconada fue aprobado definitivamente en mayo del año 2.007, y la publicación de la Resolución de la Consejería de Obras Públicas se realizó en el BOJA nº 274 de 26 de NOVIEMBRE de 2.007.

PLAN GENERAL DE ORDENACION URBANISTICA DE LA RINCONADA: ESTRUCTURA TERRITORIAL



DOCUMENTO N° 1 MEMORIA

5



**ESTUDIO DE INUNDABILIDAD PARA EL PROYECTO DE ACTUACION DEL AREA
LOGISTICA DE MAJARAVIQUE, TM. SEVILLA Y LA RINCONADA.**

Agencia Pública de Puertos de Andalucía
CONSEJERÍA DE FOMENTO Y VIVIENDA



**4. CONDICIONANTES HIDRAULICOS EN TRAMITACION: EL PROYECTO DEL
NUEVO CAUCE DE INUNDACIONES DE LOS ARROYOS TAMARGUILLO Y
RANILLAS.**

El vigente PGOU del municipio de Sevilla incluye la construcción de un nuevo cauce de avenidas para los arroyos Tamarguillo y Ranillas para la modernización de las infraestructuras hidráulicas de defensa de inundaciones de la ciudad.

Este cauce sustituirá al actual encauzamiento del arroyo Tamarguillo, de sección es insuficiente en algunos tramos como resulta del presente estudio, ya que la capacidad actual de desagüe está limitada actualmente y no resuelve completamente la inundabilidad de la ciudad en la zona norte.

El proyecto del nuevo cauce de avenidas contra inundaciones fue redactado por el Ministerio de Medio Ambiente, Medio Rural y Marino, a través de la Confederación Hidrográfica del Guadalquivir. El proyecto fue aprobado técnicamente y ambientalmente por el Ministerio, pero finalmente el Ayuntamiento de Sevilla no consideró su aprobación y se decidió no construir las obras.

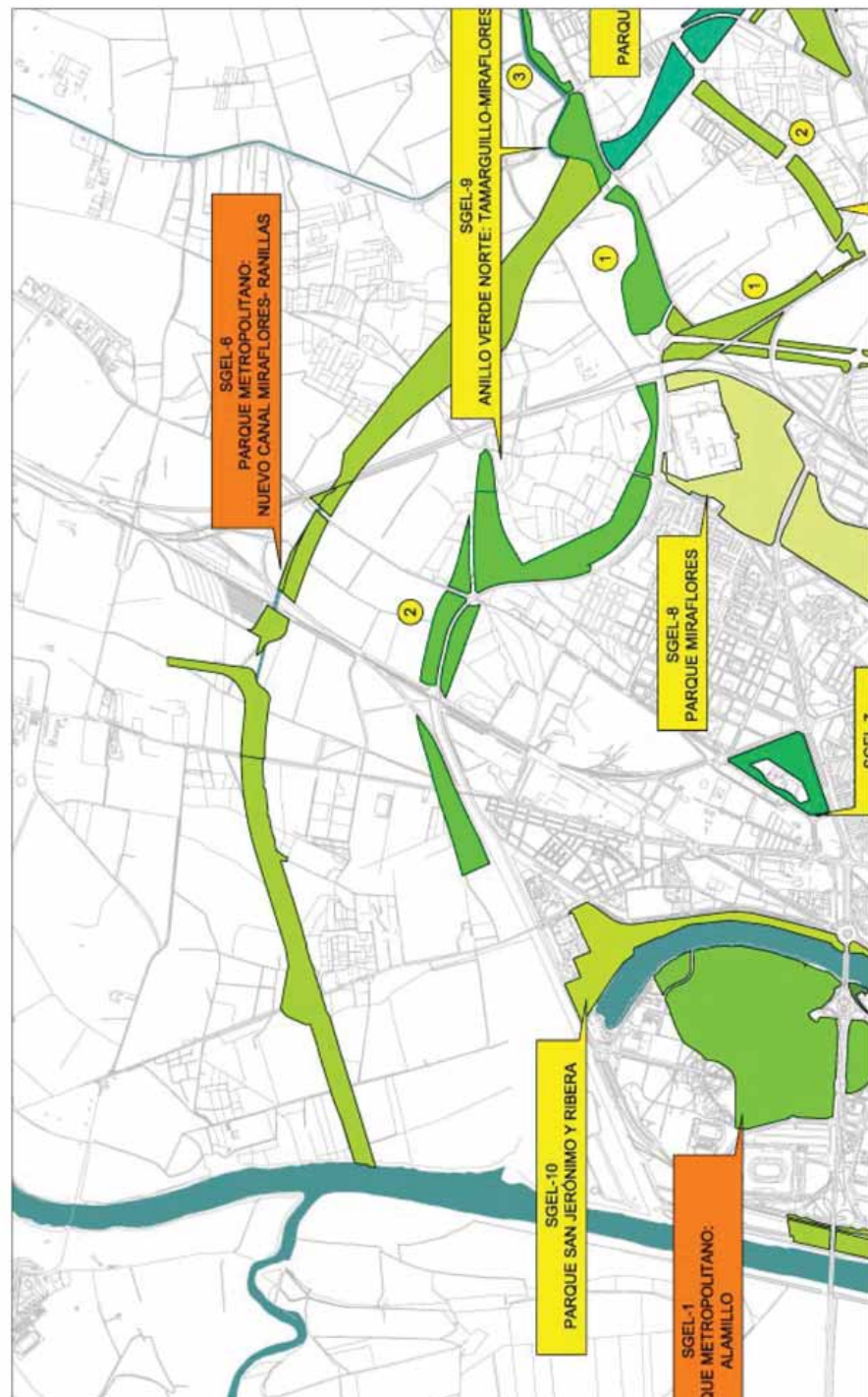
La redacción del proyecto fue coordinada con la construcción del Acceso Norte a Sevilla, (A-8009), para que el trazado de la carretera fuese compatible con la viabilidad técnica de su construcción.

DOCUMENTO N° 1 MEMORIA





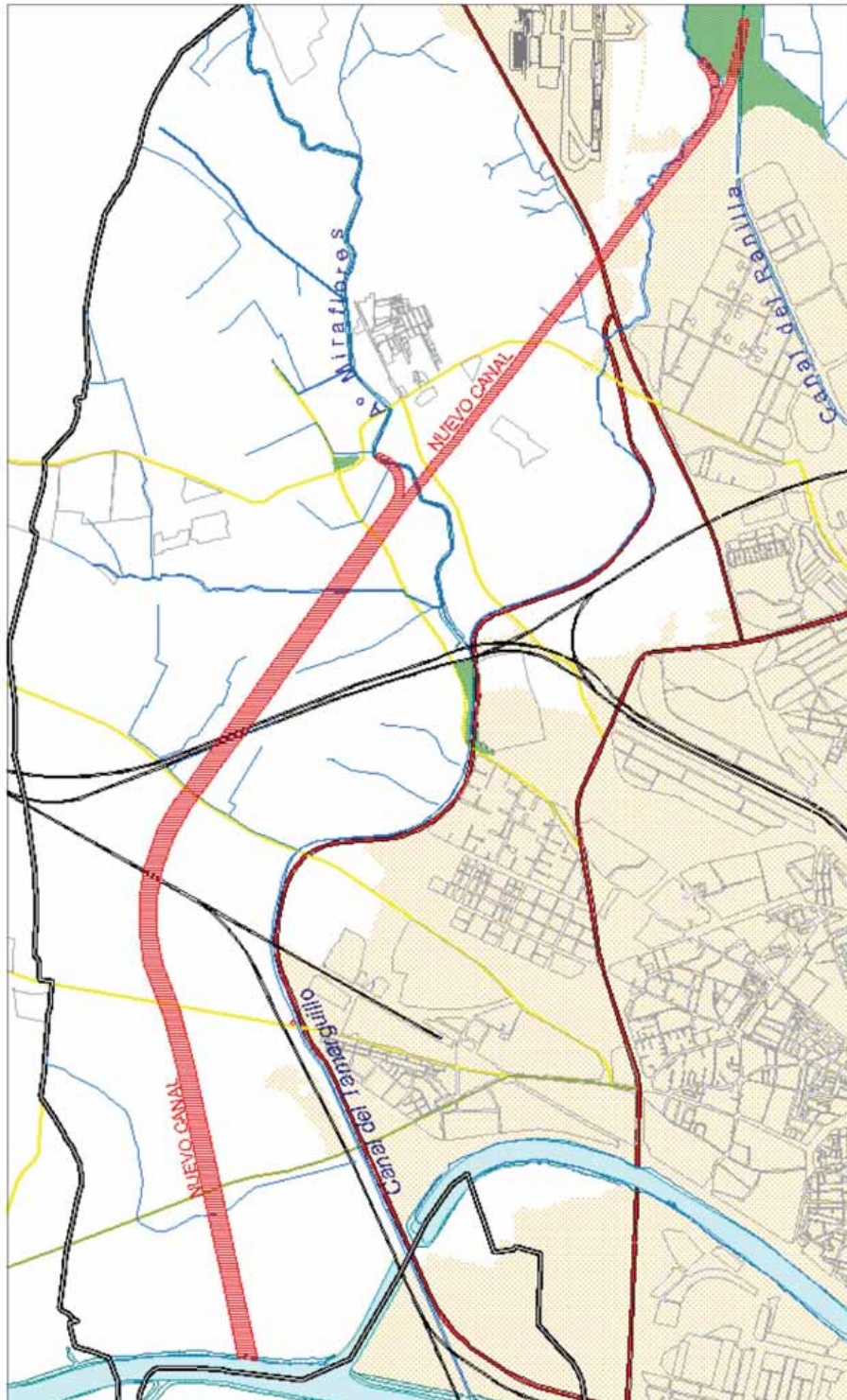
ESTUDIO DE INUNDABILIDAD PARA EL PROYECTO DE ACTUACIÓN DEL ÁREA
LOGÍSTICA DE MAJARAVIQUE. TM. SEVILLA Y LA RINCONADA.





ESTUDIO DE INUNDABILIDAD PARA EL PROYECTO DE ACTUACIÓN DEL ÁREA
LOGÍSTICA DE MAJARAVIQUE. TM. SEVILLA Y LA RINCONADA.

Agencia Pública de Puertos de Andalucía
CONSEJERÍA DE FOMENTO Y VIVIENDA



DOCUMENTO N° 1 MEMORIA

8



ESTUDIO DE INUNDABILIDAD PARA EL PROYECTO DE ACTUACIÓN DEL ÁREA LOGÍSTICA DE MAJARAVIQUE, TM. SEVILLA Y LA RINCONADA.

Agencia Pública de Puertos de Andalucía
CONSEJERÍA DE FOMENTO Y VIVIENDA



5. DESCRIPCION GENERAL DEL ESTUDIO.

El promotor del Proyecto es la Agencia Pública de Puertos de Andalucía, organismo dependiente de la Consejería de Fomento y Vivienda de la Junta de Andalucía.

Consultor: INFRAESTRUCTURAS Y TERRITORIO S.L.

Director del Estudio: D. INDALECIO DE LA LASTRA VALDOR, Ingeniero de Caminos, Canales y Puertos.

El Estudio ha consistido en analizar la inundabilidad del encauzamiento del arroyo Tamarguillo y del río Guadalquivir en el tramo comprendido entre Sevilla y La Algaba, para determinar las posibles afecciones al planeamiento urbanístico del Área Logística de Majaravique, cuyo desarrollo viene realizando la Agencia Pública de Puertos de Andalucía.

Se ha analizado el cauce canalizado del arroyo desde la confluencia con el arroyo de Miraflores hasta la desembocadura en el río Guadalquivir, a los efectos de comprobar el funcionamiento hidráulico del encauzamiento para determinar la inundabilidad resultante para las avenidas extraordinarias de 500 años y ordinarias para determinar el Dominio Público Hidráulico.

Asimismo, la definición de la inundabilidad del río Guadalquivir en la margen izquierda, en el tramo comprendido entre la ciudad de Sevilla y La Rinconada, permitirá conocer las afecciones de la avenida de 500 años sobre los suelos del Área Logística de Majaravique.

No se ha considerado solamente la inundación por avenida extraordinaria simultáneamente en el arroyo Tamarguillo y en el río Guadalquivir, ya que se consideran cuencas independientes entre si con tiempos de concentración diferentes siendo la probabilidad mínima de producirse avenidas simultáneas en ambas cuencas a la vez.

Los cálculos hidráulicos realizados han servido para determinar la cota de inundación en las secciones de control establecidas, aplicando un modelo hidráulico de simulación de flujo en régimen permanente en los tramos del encauzamiento con el software específico de HEC-RAS.

5.1 CARTOGRAFÍA Y TOPOGRAFÍA.

La cartografía utilizada para realizar el presente trabajo ha sido la CARTOGRAFÍA DEL MUNICIPIO DE SEVILLA para el suelo rústico, disponible a escala 1/2000, realizada por la Gerencia de Urbanismo de Sevilla en el año 2000.

DOCUMENTO N° 1 MEMORIA

5.2 LA INUNDABILIDAD DEL RÍO GUADALQUIVIR ENTRE SEVILLA Y LA ALGABA: ESTUDIO HIDRÁULICO CHG (1995) Y PROYECTO LINDE (2004).

Para determinar la inundabilidad en el río Guadalquivir en el tramo donde se encuentra en Área Logística de Majaravique se han consultado la información de los dos siguientes trabajos específicos redactados por la Confederación Hidrográfica del Guadalquivir en los años 1995 y 2004, que han servido para definir la línea de máxima ocupación de las avenidas entre la ciudad de Sevilla y el núcleo urbano de La Rinconada, para las avenidas extraordinarias de periodo de retorno de 500 años en función de la tipología del entorno, muy condicionadas por la situación de las terrazas inferiores de inundación del río Guadalquivir.

La información consultada para establecer la definición de la máxima cota de inundabilidad en el río Guadalquivir procede de los siguientes trabajos, elaborados por la Confederación Hidrográfica del Guadalquivir en los años 1995 y 2004:

- ESTUDIO HIDRÁULICO DEL GUADALQUIVIR Y DELIMITACION DE LA ZONA DE DOMINIO PÚBLICO Y ZONAS INUNDABLES. Realizado por PROSER para la CHG en el año 1995.
- PROYECTO LINDE: ESTUDIO Y DELIMITACION PREVIA DEL DOMINIO PÚBLICO HIDRÁULICO CORRESPONDIENTE A LA SEGUNDA FASE, SEGUNDA ETAPA DEL PROYECTO LINDE EN LA CUENCA HIDROGRÁFICA DEL RÍO GUADALQUIVIR, estudio realizado por la Confederación Hidrográfica del Guadalquivir en el año 2004, y realizado por la empresa INGEOPSA.

La consulta y transcripción a la cartografía utilizada para el presente Estudio ha permitido definir la línea de máxima inundación ocupada por la avenida de periodo de retorno de los 500 años.

Ambos estudios se realizaron con la cartografía formato RASTER 1/10,000 procedente del ICA. Por la investigación realizada se establece que la cartografía utilizada para dichos trabajos tiene un destino de referencia en altimetría, resultando que las cotas son superiores en 0,5m respecto a las cotas de referencia de la Gerencia de Urbanismo de Sevilla.

5.2.1 ESTUDIO HIDRÁULICO DEL GUADALQUIVIR Y DELIMITACION DE LA ZONA DE DOMINIO PÚBLICO Y ZONAS INUNDABLES.

El Estudio Hidráulico del Guadalquivir establece que las cotas de inundación en el tramo entre La Rinconada y Sevilla se corresponden con los suelos de la primera terraza del río Guadalquivir, situándose en las secciones denominadas en el Estudio con los números 3.000, 3.005, 3010 y 3015, según se representa en el plano de planta general del Estudio, que se acompaña en el Apéndice 1 del Anexo N° 1: Antecedentes.





**ESTUDIO DE INUNDABILIDAD PARA EL PROYECTO DE ACTUACION DEL AREA
LOGISTICA DE MAJARAVIQUE, TM. SEVILLA Y LA RINCONADA.**

Agencia Pública de Puertos de Andalucía
CONSEJERÍA DE FOMENTO Y VIVIENDA



Las cotas de inundación correspondientes a dichas secciones se presentan en la Tabla siguiente, resultando estar comprendidas entre las cotas +11,64 a +11,59 m, cotas referidas a la cartografía 1/2000 de la GMU de Sevilla.

El caudal punta para la avenida de periodo de retorno de 500 años en régimen natural, con resguardos nominales y estado inicial de suelo semisaturado, supone un caudal de 11.938m³/seg

Para la consideración en régimen real, adoptado para determinar las avenidas en toda la cuenca al considerar la influencia de la laminación producida por la regulación de los embalses de cabecera y se establecieron los siguientes regímenes de caudales obtenidos del Estudio Hidrológico, utilizando el método racional, según se adjunta en la Tabla adjunta:

| REGIMEN DE CAUDALES EN EL RIO GUADALQUIVIR: PROYECTO LINDE m ³ /seg | | AVENIDA DE 100 AÑOS, REGIMEN REAL | | AVENIDA DE 500 AÑOS, REGIMEN REAL (25 años) | |
|--|--|-----------------------------------|--|---|--|
| SECTOR | DOMINIO PÚBLICO HIDRAULICO, REGIMEN REAL | SECTOR | DOMINIO PÚBLICO HIDRAULICO, REGIMEN REAL | SECTOR | DOMINIO PÚBLICO HIDRAULICO, REGIMEN REAL |
| 5-SE-43 | 1.260 | | 6.000 | | 8.750 |
| 5-CO-27 | 1.200 | | 5.575 | | 8.225 |

Este valor de régimen real resulta estadísticamente equivalente al régimen natural para 25 años de periodo de retorno, y estado inicial saturado de suelos. En dicho estudio se ha considerado por redondeo un caudal de 8.700m³/seg.

Las secciones correspondientes al tramo objeto del Estudio y los niveles alcanzados por las cotas de inundación consideradas en dicho estudio se presentan en el plano de Planta para la inundabilidad de la avenida extraordinaria en el río Guadajquivir, margen derecha, y son las siguientes, referidas a la cartografía de la Gerencia de Urbanismo.

**COTAS DE INUNDACION EN RIO GUADALQUIVIR:
(ESTUDIO HIDRAULICO Y DELIMITACION ZONAS
INUNDABLES, 1995.)**

| SECCION | CAUDAL m ³ /seg | COTA m Referida en cartografía GMU 1/2000 |
|---------|----------------------------|---|
| 3000 | 8.700 | 11,64 |
| 3005 | 8.700 | 11,60 |
| 3010 | 8.700 | 11,52 |
| 3015 | 8.700 | 11,49 |





**ESTUDIO DE INUNDABILIDAD PARA EL PROYECTO DE ACTUACIÓN DEL ÁREA
LOGÍSTICA DE MAJARAVIQUE, TM. SEVILLA Y LA RINCONADA.**

Agencia Pública de Puertos de Andalucía
CONSEJERÍA DE FOMENTO Y VIVIENDA



5.3 CARACTERÍSTICAS DEL ENCAUZAMIENTO DEL ARROYO TAMARGUILLO Y LAS SUBCUENCIAS ASOCIADAS.

Encauzamiento del arroyo Tamarguillo:



La superficie de la cuenca vertiente es de 136 km² y la longitud de su cauce principal 29,5 km, de los cuales 6,06km corresponden al encauzamiento del arroyo Tamarguillo y 2,8km a la canalización en el arroyo Miraflores, desde su confluencia con el Tamarguillo hasta el núcleo urbano de Valdezorras.

La sección hidráulica del encauzamiento del arroyo Tamarguillo está formada por un canal trapezoidal cuya solera y taludes laterales están constituidos con losas de hormigón en masa, ocupando la totalidad de la sección, tanto el cauce de aguas mínimas como las banquetas laterales y taludes 1 / 1 hasta contar con el terreno, y un camino de servicio en cada margen.

La pendiente media del encauzamiento es de 1,5 milésimas.

El encauzamiento se encuentra en buen estado de conservación, asegurando una baja rugosidad a efectos de la aplicación del coeficiente de escorrentía para la fórmula de Manning.

Fue construido en el año 1.963 para garantizar la defensa contra inundaciones en el núcleo urbano consolidado de Sevilla en las avenidas extraordinarias, ya que en caso de producirse la avenida de 500 años de periodo de retorno la inundación del Tamarguillo rebosara hacia los suelos agrícolas del Valle del Guadalquivir, actuando la autovía SE-020 como barrera física a la inundación de los barrios situados dentro del núcleo urbano de Sevilla. En efecto, la autovía SE-020 forma parte de la coronación de la sección encauzada en la margen derecha, (cota aproximada entre +13 y +13,50m) y se encuentra situada a una cota superior respecto a la margen izquierda, cuyo punto más elevado se encuentra en la plataforma del ferrocarril Sevilla-Huelva, situada aproximadamente a la cota +12, según se observa en las secciones transversales. Durante la construcción de la Expo 92 el camino de servicio de la margen de Sevilla se convirtió en la actual carretera SE-020.

La mayor parte del cauce principal del arroyo Miraflores se encuentra rectificado y flanqueado por malecones de defensa en hormigón y tierra para evitar inundaciones en la actividad agrícola de las terrazas fluviales del Guadalquivir y la propia llanura de inundación del Miraflores, y presenta una deficiente estado de conservación con depósitos y abundante vegetación en su interior. La capacidad de evacuación del Cauce del arroyo Miraflores en el núcleo de Valdezorras y aguas arriba en la zona de Aeropuerto Viejo oscila entre 161 m³/s y 24 m³/s, respectivamente.

A medio plazo el riesgo de inundación no dejará de aumentar progresivamente, como consecuencia de los desarrollos urbanísticos previstos en la cuenca consecuencia de los desarrollos urbanísticos planificados en los PGOU's de Sevilla, La Rinconada y Alcalá de Guadaira, al incrementarse la escorrentía, incrementando los caudales da escorrentía en las crecidas extraordinarias de la red fluvial.





ESTUDIO DE INUNDABILIDAD PARA EL PROYECTO DE ACTUACIÓN DEL ÁREA LOGÍSTICA DE MAJARAVIQUE, TM. SEVILLA Y LA RINCONADA.

Agencia Pública de Puertos de Andalucía
CONSEJERÍA DE FOMENTO Y VIVIENDA



El Arroyo de Ranillas o Tamargullo:

El arroyo Ranillas presenta riesgos por crecidas extraordinarias sobre su llanura de inundación, afectando a suelos agrícolas con escasa afectación a zonas pobladas, salvo algunas edificaciones en las márgenes del Camino viejo de Sevilla a Carmona.

El Canal del Bajo Guadalquivir atraviesa sobre el cauce del arroyo Ranillas y su llanura de inundable, lo cual se traduce en elevaciones suplementarias de la lámina de inundación en el sector colindante al Canal. En general la duración de la inundación es temporal (varias horas) y los calabos de orden de 1-2m.

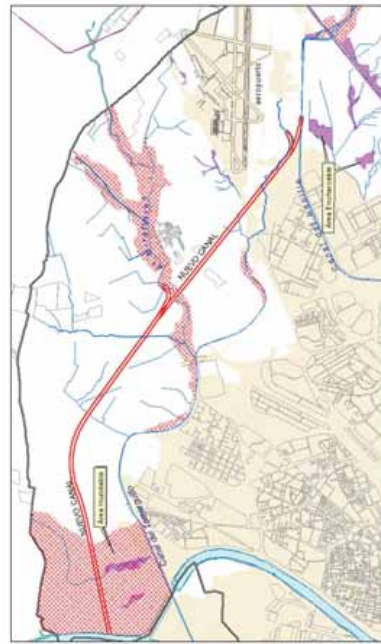
Arroyo Miraflores (Tagarete en el tramo urbano de Sevilla):

La zona inundable del arroyo Miraflores presenta una peligrosidad máxima en la llanura de inundación donde confluye con el encanamiento, con láminas de crecida que suelen ser de escaso calado (1m) y duración (dos o tres horas). Sus represiones se concentran sobre terrenos de cultivo y puntualmente sobre algunos espacios habitados, tales como las zonas más bajas de Valdezorras y barrio de Aeropuerto Viejo, afectando también a la carretera de la margen derecha del Guadalquivir, SE-112 y la carretera autonómica SE-111 al barrio de Aeropuerto Viejo.

Tras la ejecución de la canalización del arroyo desde Valdezorras hasta su confluencia con el Nuevo Cauce del arroyo Tamargullo, la capacidad de evacuación del arroyo ha mejorado sustancialmente; no obstante, sigue manteniendo su dependencia respecto a la cota de la lámina de agua en desembocadura (río Guadalquivir) o el estado de conservación de la canalización (bastante deteriorado).

Otros puntos conflictivos, además de los aludidos, radican en el Polígono de Los Espartales (retención y concentración de flujos), Canal del Bajo Guadalquivir, y segmento comprendido entre el mencionado Canal y Valdezorras, zona ésta donde la precariedad de los malacones defensivos de los suelos productivos, conlleva, en situación de crecida extraordinaria, frecuentes roturas y desbordamientos que, con sus fuajes turbulentos, acaban por agravar el problema de la inundación.

| | | | |
|--|--|--|--|
| | | Valedezorras y su confluencia con el C del arroyo Tamargullo | Bajo Guadalquivir P. Industrial Los Espartales |
|--|--|--|--|



Áreas de encharcamiento e inundables actuales en el entorno de la actuación.

Áreas de drenaje deficiente y susceptibles al encharcamiento

| Zona | Problemas | Drenaje totalmente alterado y de difícil solución. Las infraestructuras jalonan y determinan la duración de los encharcamientos. Importantes procesos de relleno superficial con el objeto de disolver los problemas hidráulicos. |
|--|--|---|
| Zona Guadaira – SE-30 | | Drenaje total alterado y de difícil solución. Las infraestructuras jalonan y determinan la duración de los encharcamientos. Importantes procesos de relleno superficial con el objeto de disolver los problemas hidráulicos. |
| – Canalización del arroyo Ranillas | | |
| Canal del Bajo Guadalquivir: Toreblanca Aeropuerto | Insuficientes estructuras de paso bajo el Canal del Bajo Guadalquivir para drenar una red de drenaje escasamente jerarquizada. Colectores laterales al Canal con escasa funcionalidad. | |
| Sevilla Este | Topografía llana y suelos con deficientes drenajes internos provocan encharcamientos superficiales y edificios en períodos húmedos. | |
| Márgenes de la N-V en la zona del Aeropuerto | Área llana con drenaje modificada y alterada por aeropuerto V-V. | |
| Unión inundable del no Guadalquivir | Áreas deprimidas naturales (meleocazales y cuencas de aguas altas) con problemática derivada del drenaje potenciada por las infraestructuras. | |

| Zonas inundables y puntos conflictivos | | | |
|--|------------|-----------------|---------------------|
| Cauce | P.ME. (ha) | Irrundable (ha) | Puntos conflictivos |
| Ranillas. | 34 | 135 | 169 |
| Miraflores | 55 | 425 | 480 |





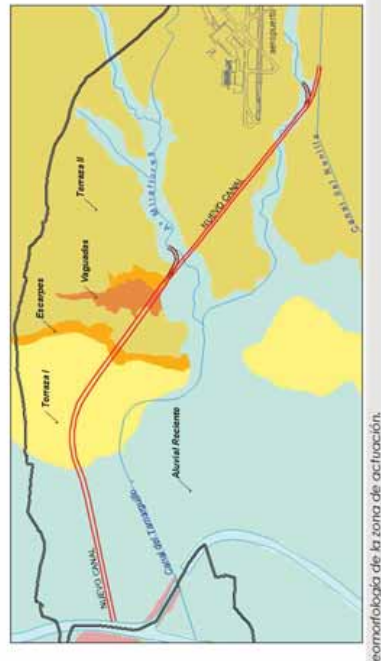
**ESTUDIO DE INUNDABILIDAD PARA EL PROYECTO DE ACTUACIÓN DEL ÁREA
LOGÍSTICA DE MAJARAVIQUE. TM. SEVILLA Y LA RINCONADA.**



5.4 GEOLOGÍA.

Desde el punto de vista geológico la zona del Estudio está constituida en su totalidad por los materiales sedimentarios característicos del relleno de la Depresión del Guadalquivir, localizados en el límite norte del núcleo urbano de Sevilla. Forman un depósito de materiales de origen sedimentario correspondientes al período del Néogeno (Mioceno y Plioceno). Sintéticamente se agrupan atendiendo a su génesis y cronología de la forma siguiente:

| Columna lito-estratigráfica característica | | | |
|--|------------------|-------------|-----------------------------|
| Seríes | Formación | Edad | Litología |
| Depósitos fluviales | Aluvial reciente | Cuaternario | Límos arenosos y arcillosos |
| | Terraza inferior | Cuaternario | Cantos, arenas y críctas |
| | Terraza media | Cuaternario | Cantos, arenas y arcillas |
| | Terraza superior | Cuaternario | Cantos, arenas y arcillas |
| Series marginales | Margas azules | Mioceno | Margas arcillosas |



Mioceno:

Seríes marginales: Integran fundamentalmente margas gris azuladas, homogéneas, plásticas, impermeables y de carácter vético, cuyo espesor crece gradualmente desde las estribaciones de Sierra Morena, donde desaparecen, hacia la marisma, alcanzando bajo Sevilla espesores superiores a los 900 m. Aunque no afloran en el ámbito constituyen el zócalo sobre el que descansan las restantes series.

Cuaternario:

Constituye la base del eje central del Valle del Guadalquivir y el soporte geométrónico del municipio de Sevilla, agrupando sus diferentes niveles de terrazas y los aluviales recientes de los ríos y arroyos que avenan al Guadalquivir. El sistema de terrazas presenta una litología semejante aunque evidencian claras diferencias en las proporciones de las fracciones detríticas que integran (gravas, arenas y arcillas).

5.4.1 GEOMORFOLOGÍA.

El ámbito del área del Estudio se caracteriza por unas características geomorfológicas resultado de la importante actividad morfogenética del río Guadalquivir y sus principales afluentes.

El río Guadalquivir ha generado un amplio valle fluvial asimétrico, en el que el río actúa de bisagra entre una margen izquierda caracterizada por su amplitud y el suave escalonamiento típico de las terrazas aluviales, y una margen derecha donde no reconocen terrazas debido a que el río siempre ha tenido tendencia a erosionar y, en consecuencia, ha labrado uno de los escarpes de erosión más llamativos del Bajo Guadalquivir. La morfología del entorno presenta una topografía muy horizontal, que obedece a la presencia de las terrazas aluviales.

La llanura de inundación ocupa el perímetro más bajo del ámbito, cota de inundación +12,5m para la avenida de 500 años de período de retorno.

La inundabilidad en la escala local de la zona inundable está muy condicionada por las barreras físicas impuestas por la división de la propiedad y las diferentes usos urbanos, como cerramientos, acequias, muros de defensa ante avenidas, elevaciones de rasantes, y excavaciones de graveras, que alteran sustancialmente sus formas y paisajes, repercutiendo directamente en la repercusión de la inundación de las diferentes averías.

El riesgo geológico más importante es la horizontalidad de la rasante del terreno natural arcilloso-limoso, y por tanto de su baja capacidad de drenaje, que se aumenta por la presencia superficial





**ESTUDIO DE INUNDABILIDAD PARA EL PROYECTO DE ACTUACIÓN DEL ÁREA
LOGÍSTICA DE MAJARAVIQUE, TM. SEVILLA Y LA RINCONADA.**

de una capa de baja permeabilidad (arcillas y limos). Esto deriva en la posibilidad de zonas encharcables prácticamente en la totalidad de la zona del Estudio.

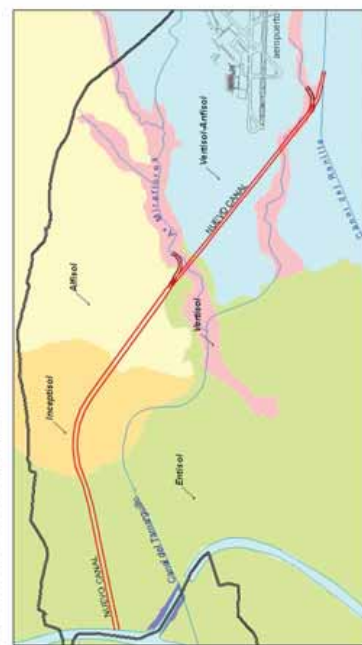
5.4.2 LOS SUELOS

Los suelos presentan una clara vocación agrícola y una capacidad productiva elevada ya que la fertilización química, la irrigación y las medidas correctoras y de laboreo cubriendo las principales deficiencias o limitaciones de carácter natural, equiparan la capacidad final de los suelos. No obstante, siempre existen factores hidráticos y físico-químicos de costosa y difícil correción (inundabilidad, deficiente drenaje y mala aireación, etc.) que determinan diferentes aptitudes naturales de los suelos.

La evaluación de la aptitud natural de los suelos se realiza en base a siete variables: profundidad útil, textura, drenaje, carbonatos, salinidad, saturación en Na y grado de desarrollo del perfil, y se concreta en la siguiente clasificación:

- Clase I: Suelos con aptitud óptima
 - Clase II: Suelos con aptitud elevada
 - Clase III: Suelos con aptitud moderada
 - Clase IV: Suelos con aptitud marginal
 - Clase V: Suelos con aptitud muy baja

Las unidades morfodéficas identificadas en el ámbito son los suelos de vega aluvial y de terrazas (los de mayor aptitud productiva) estos son los que mayormente están representados en las





ESTUDIO DE INUNDABILIDAD PARA EL PROYECTO DE ACTUACIÓN DEL ÁREA LOGÍSTICA DE MAJARAVIQUE. TM. SEVILLA Y LA RINCONADA.

Agencia Pública de Puertos de Andalucía
CONSEJERÍA DE FOMENTO Y VIVIENDA



efectos sinérgicos que pueden llegar incluso a malograr los cultivos implantables, tales como el ascenso del nivel freático, la prolongada duración de los encarcamientos estáficos o superficiales, o la colonización espontánea por parte de vegetación de carácter palustre.

Claro exponente de esta situación se reconocen en el interior del muro de defensa de la margen derecha Camas – San Juan (las explotaciones agrarias han sido abandonadas) o en el sur del municipio: sectores Dársena – encallamiento del Guadaira y margen izquierda del citado encallamiento.

Vertisol:

Son suelos desarrollados sobre las llanuras aluviales de la red de drenaje local (Miraiores, Ranillas) que, conteniendo más del 30% de arcilla hasta al menos 0,5 m de profundidad, evidencian un carácter vertical, es decir, alternancia de agrietamiento estival e hinchamiento en períodos húmedos.

Presentan horizontes difusos y perfiles de tipo ABC, fertilidad potencial alta, debido al elevado contenido en arcilla, y, por tanto, elevada capacidad de cambio catiónico y de retención de agua. Sus aspectos más limitantes están relacionados bien con su lenta permeabilidad y moderado drenaje, bien con una textura pesada que impone condicionantes al laboreo. Aunque con presencia ocasional, la inundabilidad también coadyuva como factor restrictivo. Estas características se traducen en una aptitud marginal para el arbolado (Clase IV) y elevada - moderada (Clase II) para los cultivos extensivos de primavera - verano.

Suelos de Terrazas:

Inceptisol

Suelos de transición entre los entisoles, menos desarrollados, y los demás grupos diferenciados. Presentan perfil ABC, con separación relativamente clara de horizontes, y niveles superiores bien drenados y con textura media - pesada y permeabilidad lenta.

Se reconocen sobre terrenos ligeramente inclinados (rupturas de pendiente) adyacentes a la llanura aluvial de la red principal. Apenas presentan restricciones y, en consecuencia, su aptitud productiva es elevada para toda clase de cultivos (Clase II). -Alfisol

Comprende suelos más desarrollados que los anteriormente descritos, apreciándose horizontes de diagnóstico más evolucionados. Se identifican por un epipedón óctico, un horizonte argiloso, moderado a alta saturación en bases y agua útil durante más de tres meses. Aunque están

DOCUMENTO N° 1 MEMORIA

artificialmente drenados, el drenaje es pobre y la permeabilidad de lesta a muy lenta, apareciendo en los horizontes saturados en agua signos de hidromorfia.

Se reconocen sobre el Nivel II de terrazas, al norte del río Miraiores y en la vertiente sur del río Guadaira. Aunque los aspectos hidráticos son muy limitantes para el arbolado (mal drenaje y escasa aeration), constituyen áreas de uso agrícola muy homogéneas y fácilmente reconocibles como grandes extensiones de cultivos extensivos de primavera - verano, típicas de las zonas regables del sector nororiental. Su aptitud productiva se clasifica como moderada (Clase III).

Alfisol – Vertisol:

Esta asociación se reconoce sobre los niveles de terraza superiores en el sector comprendido entre las vegas del Guadaira y Miraiores. El predominio de un tipo u otro de suelo, o de sus transiciones, está en relación directa con las variaciones texturales del sustrato y la configuración morfológica de cada sector.

En conjunto son suelos pobres en materia orgánica y nutrientes, que suelen presentar rubefacción, costras calizas y presencia de cantos rodados y materiales de texturas gruesas en superficie.

Sus características responden a las anteriormente descritas para cada uno de los dos grupos y, en consecuencia, su aptitud productiva, aunque variable, se clasifica entre aptitud marginal (Clase IV) para el arbolado y moderada (Clase III) para los cultivos extensivos.

5.4.3 HIDROGEOLOGÍA.

La hidrogeología del área en estudio está determinada por los distintos materiales que han ido rellenando la depresión del Guadalquivir. Las margas azules del Mioceno Superior (impermeables) conforman el zócalo hidrogeológico sobre el que desciende un conjunto de unidades acuíferas constituidas por diversas formaciones Pliocaternarias y Cuaternarias;

- En la margen izquierda del Guadalquivir, la serie de los Alcores (calcarenitas, arenas, arcillas y conglomerados).
- En la margen derecha, respondiendo a un cambio lateral de facies de las primeras, la serie del Aljarafe (margas arenosas, arenas y limos).
- En el centro, en torno al cauce del Guadalquivir, los cantos rodados, arenas y arcillas, característicos del sistema de terrazas fluviales y del aluvial reciente del río.





**ESTUDIO DE INUNDABILIDAD PARA EL PROYECTO DE ACTUACIÓN DEL ÁREA
LOGÍSTICA DE MAJARAVIQUE. TM. SEVILLA Y LA RINCONADA.**

Las unidades hidrogeológicas por las que el nuevo canal transcurre son las siguientes:

| Unidades hidrogeológicas. Características geológicas | | | | | |
|---|--------------------------|------------------|-------------|---------------------------|----------|
| UH | Denominación | Formación | Edad | Biología | Fenómeno |
| 46 | Aluvial del Guadalquivir | Aluvial reciente | Cuaternario | Límos arenas y arcillas | Média |
| | Terraza inferior | Terraza inferior | Cuaternario | Cantos, arenas y arcillas | Muy alta |
| 47 | Terraza media | Terraza media | Cuaternario | Cantos, arenas y arcillas | Muy alta |
| | Terraza superior | Terraza superior | Cuaternario | Cantos, arenas y arcillas | Alta |

Las series detriticas de los Alcores, las terrazas fluviales, el aluvial reciente del río y el propio río del Guadalquivir constituyen un sistema único y con buena conexión hidráulica entre sus partes, cuyas características diferenciales estriban en ligeras variaciones de sus parámetros hidráulicos y comportamientos.

Estas formaciones se incluyen en las siguientes Unidades Hidrogeológicas definidas por el Plan Hidrológico de la Cuenca del Guadalquivir:

- Unidad Hidrogeológica UH: 05-46: Aluvial del Guadalquivir. La poligonal que lo define integra básicamente el cauce funcional del río y la terraza inferior.
- Unidad Hidrogeológica UH: 05-47: Sevilla-Carmona. La poligonal envolvente encierra las terrazas media y superior del Guadalquivir y las series de los Alcores que se desarrollan desde Carmona hasta Dos Hermanas, pasando por Alcalá de Guadaíra.

La profundidad del nivel freático en toda la zona es bastante uniforme, presentándose a una profundidad de 5m desde el terreno natural, según los datos obtenidos de los Sondeos a rotación realizados para el proyecto de la vía ciclista realizado para la Agencia de Obra Pública. Este nivel indica que el nivel freático se encuentra hidráulicamente conectado al cauce del río Guadalquivir.

Unidad hidrogeológica nº 46: Aluvial del Guadalquivir (Sevilla)

La UH se extiende a lo largo de las márgenes del río Guadalquivir, desde Puebla del Río hasta Palma del Río, con una superficie permeable de unos 200 km², y una anchura variable que oscila entre los 7 km de Alcalá del Río, los 9 km de Sevilla y los 5 km de Gelves. La UH adscibe al aluvial reciente del río y su terraza inferior, integrada ésta por gravas, arenas, limos y arcillas cuya disposición responde a un nivel superior de carácter más fino (limos más o menos arcillosos) y otro inferior en el que predominan las fracciones detríticas gruesas (cantos rodados y gravas

DOCUMENTO N° 1 MEMORIA

arenosas). Las margas azules del Mioceno ejercen la función de zócalo impermeable o sustrato infrayacente.

Sus parámetros hidrogeológicos son los característicos de acuíferos aluviales con elevados caudales específicos y numerosos puntos de aprovechamiento de sus recursos hídricos.

Parámetros hidrogeológicos característicos. UH: 05-46

| Parámetro hidrogeológico | Valor |
|------------------------------|--|
| Transmisividad | $11.6 \cdot 34.7 \cdot 10^{-3} \text{ m}^2/\text{s}$ |
| Permeabilidad | $1.1 \cdot 2.3 \cdot 10^{-3} \text{ m}^2/\text{s}$ |
| Coefficiente de atracamiento | 1 - 20% |
| Caudal medio de explotación | 20 - 40 l/s |
| Caudal máximo de explotación | 90 l/s |
| Gradiente hidráulico | 0,07% |

Fuente: Normas de Exploración de las Unidades hidrogeológicas de la Cuenca del Guadalquivir

El funcionamiento hidrodinámico de la unidad está condicionado, fundamentalmente, por el nivel de base del río Guadalquivir y, en segunda instancia, por el río Guadaíra. Esto se traduce en líneas isopeizas paralelas al río Guadalquivir que evidencian flujos subterráneos dominantes de dirección este-oeste, ligeramente retrocedidos por el río Guadaíra y los arroyos Miraflores y Ramillas. El flujo subterráneo general se produce desde las zonas más elevadas de la plataforma de los Alcores hasta el río Guadalquivir, pasando por las diversas terrazas fluviales.

No existe infraestructura hidrogeológica de seguimiento de los recursos y de su calidad en el municipio de Sevilla, de modo que la información generada por las redes sistemáticas de seguimiento ofrecen registros de otros sectores acuíferos situados valle arriba.

Las aguas predominantes en la UH son de facies cloruradas cálcico-magnésicas y se caracterizan por su dureza y notable mineralización. Se trata de aguas no potables con importantes cargas contaminantes, fundamentalmente, de origen agrario, aunque en la zona de Sevilla, presumiblemente, adquiera mayor rango la contaminación de origen urbano e industrial.

Se trata de una UH que presenta elevada vulnerabilidad a la contaminación y escasa capacidad de depuración. Tras una rápida infiltración y circulación subterránea de las potenciales cargas





**ESTUDIO DE INUNDABILIDAD PARA EL PROYECTO DE ACTUACIÓN DEL ÁREA
LOGÍSTICA DE MAJARAVIQUE. TM. SEVILLA Y LA RINCONADA.**

contaminantes, éstas acaban drenando hacia el río Guadalquivir o son interceptadas por los bombeos destinados al riego agrícola.

Los usos del agua se caracterizan por su gran irregularidad interanual y por tratarse, en su mayoría, de tomas alternativas en épocas de penuria hidrica (fomos de emergencia), y no simultaneas a los sistemas habituales de abastecimiento de agua: abastecimiento urbano a Sevilla y su área de influencia (EMASESA), y riego agrícola posibilitado por los canales de suministro de las zonas regables del Vfar, Valle Inferior y Bajo Guadalquivir.

No obstante, los recursos medios extraídos rondan los 15 hm³/año, de los que 5,4 hm³/año son destinados al abastecimiento urbano, incluido mantenimiento de zonas verdes y limpieza pública, y 9,5 hm³/año a negros agrícolas.

Las entradas de agua en el sistema alcanzan los 80 hm³/año y se desglosan en los siguientes términos: a) 20 hm³/año proceden de la recarga producida por la infiltración de la lluvia; b) 20 hm³/año de la infiltración de los excedentes del regadio, y c) 40 hm³/año de la alimentación lateral proveniente de la UH. Sevilla-Carmona.

Balance hidráulico de la UH 05.46

| Concepto | Volumen (hm ³ /año) |
|----------------------------------|--------------------------------|
| Entrada de lluvia | 20 |
| Retorno de riego | 20 |
| Alimentación Uh. Sevilla-Carmona | 40 |
| Total entradas | 80 |
| Saldos bombeo | 15 |
| Saldo balance | 45 |

Fuente: P. H. Cuenca del Guadalquivir

En situación normalizada, el balance hidráulico (año 1992) se resuelve de forma excedentaria, estimándose los recursos drenados hacia el río Guadalquivir en un volumen aproximado de 65 hm³/año. No obstante, existe una notable incertidumbre en la conceptualización del balance ya que sus términos fueron estimados hace varios lustros y, consecuentemente, no contemplan problemas hidrogeológicos recurrentes como la reducción de las principales entradas laterales de la unidad motivadas por la sobreexplotación de la UH. Sevilla-Carmona.

El Plan Hidrológico de Cuenca establece como único objetivo de calidad propuesto para la UH la "mejora (no cuantificada) de la situación actual" mediante la fijación de perímetros de protección

DOCUMENTO N° 1 MEMORIA





ESTUDIO DE INUNDABILIDAD PARA EL PROYECTO DE ACTUACIÓN DEL ÁREA LOGÍSTICA DE MAJARAVIQUE, TM. SEVILLA Y LA RINCONADA.



Agenzia Pública de Puertos de Andalucía
CONSEJERÍA DE FOMENTO Y VIVIENDA

5.5 CLIMATOLOGÍA.

Los datos de la Climatología de la zona del estudio se presentan en el ANEJO DE HIDROLOGÍA, indicándose en el todas las características que constituyen los parámetros básicos necesarios.

PRECIPITACIONES:

Para el análisis de las precipitaciones se han utilizado los datos de las Estaciones Meteorológicas del Aeropuerto de Sevilla y de la base de Tablada, y de la Estación de La Rinconada, situada en la Azucarera.

La primera de ellas se encuentra más próxima a la zona del Estudio, y dispone de buenas condiciones de registro anual. La Estación de Tablada también dispone de datos fiables y continuos. También se utilizarán los datos de las estaciones de La Rinconada (Azucarera) que sean significativas respecto a las dos anteriores. De acuerdo con los datos disponibles en las Estaciones Meteorológicas, se han analizado las siguientes variables climáticas, cuyas características se establecen en los siguientes apartados.

PRECIPITACIÓN MEDIA ANUAL:

Las precipitaciones medias anuales oscilan entre un mínimo de 543,0mm en la Estación Meteorológica de Alcalá del Río 'Central Eléctrica' y un máximo de 593,0mm en La Rinconada 'Azucarera'.

El número de días en los que se han registrado precipitaciones varía de los 53,4 de La Rinconada 'Azucarera' a los 79,2 de Sevilla 'Aeroporto'. La media del conjunto de estaciones seleccionadas es de 71,3 días al año. Prácticamente en ningún caso la media mensual de días de precipitación alcanza un valor superior a 10 para ninguna de las estaciones estudiadas, siendo los meses de junio, julio, agosto y septiembre los que proporcionan los registros más bajos.

PRECIPITACIONES MÁXIMAS EN 24 HORAS:

Para la determinación de los valores extremos de precipitación se han utilizado las mismas estaciones pluviométricas consideradas para la determinación de las precipitaciones totales. La precipitación máxima en un día registrada en la estación de Sevilla 'Aeroporto' es de 109,3mm acaecida en noviembre de 1.997.

NUMERO DE DÍAS CON PRECIPITACIÓN:

En la tabla adjunta se muestran los valores medios para la estación de Tablada, utilizada en este caso por su mayor fiabilidad en registros continuos.

| Estación | Oct. | Nov. | Dic. | Ene. | Feb. | Mar. | Abr. | May. | Jun. | Jul. | Ago. | Sep. | Año |
|----------|------|------|------|------|------|------|------|------|------|------|------|------|------|
| 5790 | 6,7 | 7,7 | 9,4 | 9,1 | 8,3 | 7,5 | 7,4 | 5,1 | 2,5 | 0,4 | 0,6 | 2,9 | 67,6 |

DOCUMENTO N° 1 MEMORIA.





**ESTUDIO DE INUNDABILIDAD PARA EL PROYECTO DE ACTUACIÓN DEL ÁREA
LOGÍSTICA DE MAJARAVIQUE, TM. SEVILLA Y LA RINCONADA.**

Agencia Pública de Puertos de Andalucía
CONSEJERÍA DE FOMENTO Y VIVIENDA



TEMPERATURAS MEDIAS MENSUALES

| ESTACIÓN | ENE | FEB | MAR | ABR | MAY | JUN | JUL | AGO | SEP | OCT | NOV | DIC | TOTAL | ANUAL |
|--------------------------------------|------|------|------|------|------|------|------|------|------|------|------|------|-------|-------|
| | | | | | | | | | | | | | | |
| SE-AEROPUERTO | 10,0 | 12,1 | 14,7 | 16,5 | 19,6 | 23,7 | 27,3 | 26,8 | 19,8 | 15,0 | 11,9 | 18,6 | | |
| LA RINCONADA | 11,0 | 12,2 | 14,7 | 16,5 | 19,7 | 24,4 | 27,7 | 26,1 | 19,5 | 14,6 | 11,5 | 18,7 | | |
| MEDIA | 10,5 | 12,2 | 14,7 | 16,5 | 19,7 | 24,1 | 27,7 | 27,5 | 19,7 | 14,8 | 11,7 | 18,6 | | |
| MEDIA DE LAS MÁXIMAS ABSOLUTAS | 18,6 | 22,4 | 27,0 | 30,0 | 33,3 | 37,8 | 41,4 | 40,8 | 37,7 | 32,3 | 25,8 | 21,4 | | 30,7 |
| MÁXIMA ABSOLUTA | 23,0 | 27,6 | 30,4 | 35,4 | 39,1 | 43,0 | 46,6 | 44,8 | 42,6 | 39,6 | 33,5 | 24,5 | | 35,8 |
| MEDIA DE LAS MÍNIMAS MEDIAS | 5,0 | 6,7 | 8,2 | 10,2 | 13,0 | 16,6 | 19,4 | 19,5 | 17,7 | 13,8 | 9,6 | 7,0 | | 12,2 |
| MEDIA DE LAS MÍNIMAS ABSOLUTAS | 0,0 | 1,6 | 3,3 | 5,5 | 8,5 | 12,2 | 15,8 | 15,8 | 12,9 | 8,6 | 3,8 | 0,9 | | 7,4 |
| MÍNIMA ABSOLUTA | -4,4 | -3,2 | -2,0 | 2,4 | 6,4 | 7,5 | 12,7 | 12,2 | 8,6 | 2,2 | -0,6 | -4,8 | | 3,1 |

Temperaturas mínimas:
La temperatura mínima absoluta alcanzada en la estación de Sevilla 'Aeropuerto' es de 4,8°C, siendo la media de las mínimas absolutas del mes más frío (diciembre) de 3,1°C, y la media de las mínimas medias 8,9°C. Asimismo, el número medio de días al año con temperatura mínima < 0°C se sitúa en 5,4.

Temperaturas máximas:

La temperatura máxima absoluta alcanzada en Sevilla 'Aeropuerto' es de 48,6°C, siendo la media de las máximas absolutas del mes más caluroso (Julio) de 41,4°C y la media de las máximas medias en agosto, de 35,3°C. Por otro lado, el número medio anual de días en que la temperatura máxima es mayor de 30°C, es de 110,5 días. Teniendo en cuenta que esta variable afecta sólo al hormigonado, y que existen medidas técnicas no muy costosas para poder seguir con el proceso de curado o puesta en obra del hormigón, no se contempla, sin embargo, la posibilidad de interrupción total del hormigonado por razones de temperaturas máximas.

Número de días con temperaturas máximas superiores a 30°C y mínimas inferiores a 0°C y -5°C:

Para la Estación Meteorológica del Aeropuerto de Sevilla se han estudiado el número de días con temperaturas máximas superiores a 30°C y temperaturas mínimas inferiores a 0° y -5°C. Los gráficos de evolución anual y los cuadros resumen con los valores medios de todas las variables consideradas, se presentan a continuación.

ESTACIÓN N° 5783, SEVILLA 'AEROPUERTO'

| Nº DIAS | TEMPERATURA >30°C | Nº DIAS | TEMPERATURA < 0°C | Nº DIAS | TEMPERATURA < 5°C | ENE | FEB | MAR | ABR | MAY | JUN | JUL | AGO | SEP | OCT | NOV | DIC | TOTAL |
|---------|-------------------|---------|-------------------|---------|-------------------|-----|-----|------|------|------|------|-----|-----|-----|-------|-----|-----|-------|
| | | | | | | ENE | FEB | MAR | ABR | MAY | JUN | JUL | AGO | SEP | OCT | NOV | DIC | |
| 0,0 | 0,0 | 0,0 | 2,5 | 1,1 | 0,0 | 1,4 | 7,6 | 17,5 | 28,5 | 29,0 | 20,9 | 5,4 | 0,2 | 0,0 | 110,5 | | | |
| 0,0 | 0,0 | 0,0 | 0,0 | 0,0 | 0,0 | 0,0 | 0,0 | 0,0 | 0,0 | 0,0 | 0,0 | 0,0 | 0,0 | 0,0 | 0,0 | 0,0 | 0,0 | |
| 0,0 | 0,0 | 0,0 | 0,0 | 0,0 | 0,0 | 0,0 | 0,0 | 0,0 | 0,0 | 0,0 | 0,0 | 0,0 | 0,0 | 0,0 | 0,0 | 0,0 | 0,0 | |

HUMEDAD RELATIVA (%)

| ESTACIÓN TABLAADA | ENE | FEB | MAR | ABR | MAY | JUN | JUL | AGO | SEP | OCT | NOV | DIC | MEDIA | |
|-------------------|------|------|------|------|------|------|------|------|------|------|------|------|-------|--|
| | | | | | | | | | | | | | | |
| ESTACIÓN TABLAADA | 79,0 | 75,0 | 68,0 | 65,0 | 59,0 | 51,0 | 52,0 | 58,0 | 67,0 | 76,0 | 79,0 | 65,4 | | |

DOCUMENTO N° 1 MEMORIA





**ESTUDIO DE INUNDABILIDAD PARA EL PROYECTO DE ACTUACIÓN DEL ÁREA
LOGÍSTICA DE MAJARAVIQUE. TM. SEVILLA Y LA RINCONADA.**

Agenzia Pública de Puertos de Andalucía
CONSEJERÍA DE FOMENTO Y VIVIENDA

PERÍODO 1960-1990 [] [] [] [] [] [] []
Tabla 3: Humedad relativa (Fuente: Instituto Nacional de Meteorología)

INSOLACIÓN:

La insolación es muy elevada, con un 64% del total teórico de 4.454 horas/año. En Julio estos porcentajes representan en torno al 83% de la teórica, mientras que en Diciembre se registra el mínimo anual con unas 155 horas de sol / mes (52% de la insolación teórica).

| HORAS DE SOL (%) | | | | | | | | | | | | MEDIA | |
|-------------------------------|-------|-------|-------|-------|-------|-------|-------|-------|-------|-------|-------|-------|-------|
| ESTACIÓN SE. AEROPUERTO | ENE | FEB | MAR | ABR | MAY | JUN | JUL | AGO | SEP | OCT | NOV | DIC | MEDIA |
| 159,0 | 163,0 | 209,0 | 228,0 | 297,0 | 321,0 | 369,0 | 344,0 | 257,0 | 205,0 | 162,0 | 156,0 | 239,1 | |

Tabla 4: Horas de sol (Fuente: Instituto Nacional de Meteorología)

- Cuaternario. Depósitos aluviales. Arenas Quaternias
- Cuaternario. Depósitos aluviales. Gravas Quávatas
- Terciario. Mioceno. Margas azules. Turgosio

CUATERNARIO. RELLEÑOS ANTRÓPICOS: Un primer estrato superficial compuesto por rellenos antropicos con rellenos de naturaleza variable. El espesor registrado es de 0,5m.

CUATERNARIO. ARENAS CON ARCILLA Y LIMOS: Se trata de las terrazas aluviales formadas de la dinámica del río Guadalquivir. Están formados por arenas de color gris marrón y tamaño medio con indicios-algo de arcilla e indicios de grava. Su espesor varía entre 0,5m y un máximo de 3,5 m localizado entre la margen izquierda del Tamarguillo y el Estribio Sur. Los valores del N20 del penetrómetro Borro varía entre 10 y 20.

Las propiedades geotécnicas obtenidas de los ensayos de laboratorio son las siguientes:

| | |
|---------------|-----------------------------|
| % finos | Entre 7,8 y 46,4 (media 30) |
| IP | No Plástico |

Estos materiales presentan una capacidad portante media-baja, siendo muy aptos como suelos seleccionados. Los ensayos de corte sobre muestras tomadas en calizadas son los siguientes:

| CALICATA | Clasificación | C (kg/cm ²) | F1 (°) |
|----------|---------------|-------------------------|--------|
| 105 | SC-SM | 0,20 | 25° |
| 106 | SM | 0,21 | 22° |
| 110 | SC | 0,22 | 22° |
| 113 | SM | 0,15 | 19° |

RACHAS MÁXIMAS DE VIENTO

| ESTACIO N. SE. TABLA PERÍODO 1960-1990 | ENE | FEB | MAR | ABR | MAY | JUN | JUL | AGO | SEP | OCT | NOV | DIC | MEDI A |
|--|-------|-------|-------|-------|-------|-------|-------|-------|-------|-------|-------|-------|-----------|
| 115,0 | 140,0 | 129,0 | 155,0 | 181,0 | 180,0 | 130,0 | 120,0 | 100,0 | 113,0 | 102,0 | 112,0 | 131,4 | |

Tabla 5: Rachas máximas de viento (Fuente: Instituto Nacional de Meteorología)

5.6 GEOTECNIA.

De acuerdo con análisis realizado para la zona del estudio, las unidades geotécnicas de los terrenos próximos a la cuenca del arroyo Tamarguillo son:

- Cuaternario. Relleños Antrópicos Q_a
- Cuaternario. Depósitos aluviales. Arcillas Quaternias

DOCUMENTO N° 1 MEMORIA





ESTUDIO DE INUNDABILIDAD PARA EL PROYECTO DE ACTUACIÓN DEL ÁREA LOGÍSTICA DE MAJARAVIQUE, TM. SEVILLA Y LA RINCONADA.

Agencia Pública de Puertos de Andalucía
CONSEJERÍA DE FOMENTO Y VIVIENDA



En ensayos de compactación mediante el Proctor Modificado:
Densidad máxima Proctor 1.9-2.02 t/m³
CBR 17.8-18.3

En ensayos de compactación mediante el Proctor Normal:
Densidad máxima Proctor 1.62-1.75 t/m³
CBR 1.54-4.59 (media 3.62)

En los cuatro ensayos edométricos los resultados son:

| | |
|----------|------------------------------|
| Cc | 0.099 / 0.127 / 0.1 / 0.113 |
| Cs | 0.016 / 0.01 / 0.015 / 0.006 |
| Ea | 0.48 / 0.54 / 0.52 / 0.6 |

El contenido de humedad de este nivel arcilloso-ímimo varía entre el 7% y el 20%, con un valor medio de 16%. El nivel freático se encuentra entre 4-6m bajo la superficie del terreno.

CUATERNARIO. MEZCLA DE GRAVAS Y ARENAS: Se trata de la capa base de la terraza del Guadajquivir, en contacto con el substrato mioceno margoso. Está formada por gravas medianas y gruesas y geotécnicamente tiene muy buenas características dada la densidad que presenta, con alta capacidad portante. Se trata de una capa muy continua con un espesor muy constante entre 7.5 y 10m. El espesor es máximo en las inmediaciones del Estribo Norte. Las propiedades geotécnicas obtenidas de los ensayos de laboratorio son las siguientes:

| | |
|---------------|----------------------------|
| % finos | Entre 39.9 y 0.9 (media 5) |
| IP | No Plástico |

TERCIARIO. MARGAS AZULES: Se trata de arcillas margosas gris azuladas en corte fresco, que actúan como substrato impermeable de la terraza del Guadajquivir. Los resultados de los ensayos de laboratorio son:

| | |
|---------------------|----------------------------------|
| % finos | > 70% |
| LL | 49-63 (media 56) |
| LP | 21-31 (media 26) |
| IP | 24-34 (media 25) |
| Clasificación | CH-MH |
| Rc | 3-8 kg/cm ² (media 6) |
| Cc | 0.063 |
| Cs | 0.005 |
| Eo | 0.7 |

6. HIDROLOGÍA.





**ESTUDIO DE INUNDABILIDAD PARA EL PROYECTO DE ACTUACIÓN DEL ÁREA
LOGÍSTICA DE MAJARAVIQUE, TM. SEVILLA Y LA RINCONADA.**



6.1 CONSIDERACIONES GENERALES DEL RÉGIMEN HIDROLOGICO DE CAUDALES Y LAS DEFENSAS HIDRAULICAS DE SEVILLA.

La red hidrográfica y su régimen torrencial con carácter puntual y extremo suponen un fuerte condicionante para la ocupación del espacio, siendo el principal configurador de la estructura de Sevilla y valle del Guadalquivir, que afecta en consecuencia los suelos próximos al ámbito de Área Logística de Majaravique.

Las condiciones climáticas y el régimen pluviométrico característicos de la influencia mediterránea y atlántica generan en Sevilla y en el valle del Guadalquivir una alternancia de ciclos interanuales muy variables, que se caracteriza por la sucesión de ciclos plurianuales húmedos y generando un régimen de caudales donde se alternan cortos períodos de avenidas e inundaciones, con otros secos, en los que los cauces mantienen prolongados y acusados estajos. Como consecuencia se producen fuertes aportaciones, concentradas en breves episodios invernales y flujos circulantes esasos el resto del año hidrológico.

El gran desarrollo de los sistemas de protección ante avenidas ha propiciado un complejo sistema hidráulico para establecer unos márgenes aceptables de seguridad en la ciudad de Sevilla. Las soluciones de carácter infraestructural, integradas conjuntamente por muros lineales de defensa, canalizaciones y modificaciones de dirección y trazado de la red de drenaje, tanto principal como secundaria, han sido las frecuentemente utilizadas para definir el sistema defensivo.

Las distintas transformaciones realizadas con el objeto de establecer las defensas de Sevilla han supuesto una profunda redelimitación del sistema hidráulico del Guadalquivir a su paso por Sevilla.

El actual anillo defensivo se compone de las siguientes infraestructuras:

- Sector Norte: Encauzamiento del Arroyo Tamarguillo y malecón defensivo adosado que desde Pino Montano se prolonga hasta imbricarse con el del sector oeste, en La Cartuja. Encauzamientos de los arroyos Miraflores (Valdecorras) y Tamarguillo (Aeroporto Viejo).
- Sector oeste: Corte de la Cartuja, muro de defensa que se prolonga hacia el sur hasta la esclusa de la Dársena y Corte de La Punta del Verde. Muro de defensa de la Margen derecha (Camas – San Juan).
- Sector Sur: diques de defensa de la Junta de Obras del Puerto que jalonan el Canal Sevilla
 - Bonanza: Encauzamiento del río Guadaira hasta Los Olivillos, dique de cierre entre ambas infraestructuras, y malecón de la margen derecha del río Guadaira.

6.2 ESTUDIO HIDROLOGICO DEL ENCAUZAMIENTO DEL ARROYO TAMARGUILLO.



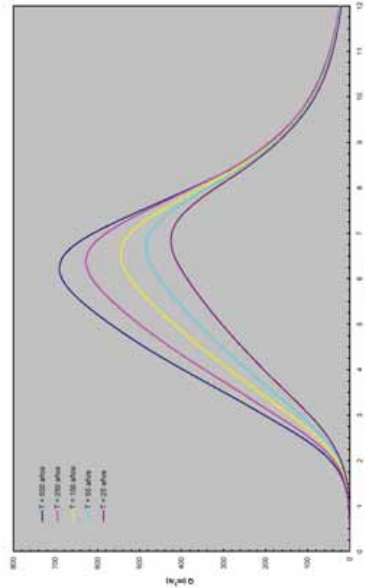


ESTUDIO DE INUNDABILIDAD PARA EL PROYECTO DE ACTUACIÓN DEL ÁREA LOGÍSTICA DE MAJARAVIQUE, TM. SEVILLA Y LA RINCONADA.

Agencia Pública de Puertos de Andalucía
CONSEJERÍA DE FOMENTO Y VIVIENDA



HIDROGRAMAS DE AVENIDA EN EL ARROYO TAMARGUILLO



Para la avenida de 500 años de periodo de retorno, el caudal de cálculo es de 690m³/seg.

6.2.1 CAUDALES ASIGNADOS A LOS CAUCES FLUVIALES ESTUDIADOS.

Como resultado de los cálculos hidrológicos realizados se asignan los siguientes caudales a las secciones transversales obtenidas de la cartografía, siendo los siguientes:

- Avenida de periodo de retorno 500 años: 700m³/seg
- Avenida de periodo de retorno 10 años: 175m³/seg.

7. DELIMITACIÓN DE LA CUENCA VERTIENTE.

De acuerdo con las cartografías disponibles se han analizado las cuencas vertientes para cada uno de los arroyos que forman la cuenca del arroyo Tamarguillo, atendiendo a los límites correspondientes de cada uno de ellos. La cartografía utilizada para realizar la delimitación de cada cuenca ha sido la cartografía municipal facilitada por el Ayuntamiento disponibile a escala 1:2000.

DOCUMENTO N° 1 MEMORIA





ESTUDIO DE INUNDABILIDAD PARA EL PROYECTO DE ACTUACIÓN DEL ÁREA LOGÍSTICA DE MAJARAVIQUE, TM. SEVILLA Y LA RINCONADA.



Agenzia Pública de Puertos de Andalucía
CONSEJERÍA DE FOMENTO Y VIVIENDA

- Entre la glorieta de SE-020 y la carretera de Breñes se han varias secciones intermedias para reproducir la geometría del tramo de encauzamiento.
- Entre la carretera de Breñes y la carretera de Pinomontano se han varias secciones intermedias para reproducir la geometría del tramo de encauzamiento.
- Entre la carretera de Pinomontano y el final del encauzamiento se han varias secciones intermedias para reproducir la geometría del tramo superior del encauzamiento.

7.12 ESTRUCTURAS DE PASO SUPERIOR.

Para incluir en la geometría del programa HEC-RAS se han incluido la geometría de las estructuras siguientes, al ser pasos obligados de los caudales de cálculo a través de ellas, condicionando la funcionalidad de los resultados por su influencia aguas arriba de las secciones resultantes en la ejecución del programa. Las secciones analizadas con el programa han sido las siguientes:

ESTRUCTURAS SUPERIORES SOBRE EL CAUCE DEL ARROYO TAMARGUILLO:

- ESTRUCTURA DE PASO A LA ISLA DE TERCIA SOBRE EL ENCAUZAMIENTO, PK 0+585.

Se trata de un puente en la cota baja del encauzamiento y un paso inferior bajo el ferrocarril Sevilla-Huelva situado sobre la cota +6.5. La avenida extraordinaria inunda los terrenos de Isla de Tercia a través del paso inferior.

• PASO SUPERIOR DE LA CARRETERA DE LA ALGABA, A-431, PK 1+760.

El paso superior de la carretera de La Algaba sobre el encauzamiento está formado por una estructura de vigas y unos terraplenes de acompañamiento, generando una barrera física para el paso de la avenida extraordinaria.

• PASO SUPERIOR DE LA CARRETERA DE LA RINCONADA, C-433, PK 2+700.

El paso superior de la carretera de La Rinconada sobre el encauzamiento está formado por una estructura de vigas y unos terraplenes de acompañamiento, generando una barrera física para el paso de la avenida extraordinaria.

- ESTRUCTURAS TIPO PERGOLAS EN LA GLORIETA DE SE-020 CON AUTOVÍA A LA RINCONADA, A-8009, PK 3+230 Y PK 3+365.

DOCUMENTO N° 1 MEMORIA

La construcción de la glorieta en la SE-020 se realizó mediante dos estructuras tipo pérgola apoyadas en los extremos del encauzamiento, y rectificando la sección.

• PASO SUPERIOR DE LA CARRETERA DE BREÑES, SE-111, PK 3+960.

El paso superior de la carretera de Breñes sobre el encauzamiento está formado por una estructura de vigas.

• PASO SUPERIOR DEL CAMINO DE LA VENTA LAS CASILLAS, PK 5+200

El paso superior del camino de la Venta de las Casillas sobre el encauzamiento está formado por una estructura de vigas situada en una cota próxima a la carretera SE-020.

• PASO SUPERIOR DE LA CARRETERA DE PINOMONTANO, PK 5+470.

El paso superior de la carretera de Pinomontano sobre el encauzamiento es similar a la anterior.

• PASO SUPERIOR DEL FERROCARRIL SEVILLA-MADRID, PK 6+060.

El paso superior del ferrocarril Sevilla-Madrid el encauzamiento está formado por una estructura de vigas de canto, limitada por la depresión de la rasante de la carretera SE-020.

ESTRUCTURAS LATERALES QUE AFECTAN A LA INUNDABILIDAD:

ESTRUCTURA DEL FERROCARRIL SEVILLA-HUELVA SOBRE EL ANTIGUO CAUCE DEL GUADALQUIVIR, PK 0+800 al PK 1+100.

La estructura del ferrocarril sobre el antiguo cauce del Guadalquivir consiste en un viaducto formado por vigas de gran canto independiente de la sección del encauzamiento y permitiendo el desbordamiento lateral de la inundación supera la sección útil.

8. METODOLOGÍA PARA LOS CALCULOS HIDRAULICOS CON EL PROGRAMA HEC-RAS.

La metodología empleada para realizar los cálculos hidráulicos para determinar la cota de inundación de las secciones de control han consistido en la aplicación de un modelo hidráulico de simulación de flujo en régimen permanente de los tramos del encauzamiento, con ayuda del programa HEC-RAS, del Hydrologic Engineering Center del Cuerpo de Ingenieros del Ejército de los Estados Unidos, en su versión 4.1 del año 2010.





ESTUDIO DE INUNDABILIDAD PARA EL PROYECTO DE ACTUACIÓN DEL ÁREA LOGÍSTICA DE MAJARAVIQUE, TM. SEVILLA Y LA RINCONADA.

8.1 CONSIDERACIONES TÉCNICAS PARA LA APLICACIÓN DE HEC-RAS.

Se han tenido en cuenta las siguientes hipótesis básicas de partida:

- El flujo es estacionario, los valores de las variables no dependen del tiempo, que no interviene en los cálculos.
- El flujo es gradualmente variable, la curvatura de las líneas de corriente es despreciable, de manera que se puede suponer una distribución hidrostática de la presión.
- El flujo se considera unidimensional, considerándose en la distribución horizontal de la velocidad las zonas de cauce y llanura de inundación por ambas márgenes.
- La altura de la línea de energía es igual para todos los puntos de cada sección.
- La pendiente del cauce ha de ser pequeña (menor de un 10%), debido a que la altura de presión se supone equivalente a la cota del agua medida verticalmente.
- Se admite cambio de régimen (de lento a rápido o viceversa) en un mismo cálculo.
- La pendiente de la energía es constante entre dos secciones transversales.
- El lecho del cauce es fijo.

La ecuación fundamental es la conservación de la energía entre dos secciones de río, aunque también se utiliza la ecuación de conservación de la cantidad de movimiento para fenómenos locales, como pueden ser cambios de régimen, y otras ecuaciones más o menos empíricas para otros efectos locales como puentes, azudes, etc.

En general estos esquemas de cálculo están del lado de la seguridad cuando el objetivo es conocer los niveles máximos en avenida, ya que la lámina de agua que se obtiene con ellos suele estar por encima de la envolvente de los caudales máximos que se obtendrían con un modelo en régimen variable y un hidrograma cuyo caudal punta fuera el caudal utilizado en el cálculo en régimen permanente.

Métodos para la resolución numérica de este tipo de flujo se pueden encontrar en libros generales de hidráulica de lámina libre, siendo el más utilizado entre ellos el conocido método paso estandar.

Hipótesis y ecuaciones:

DOCUMENTO N° 1 MEMORIA





ESTUDIO DE INUNDABILIDAD PARA EL PROYECTO DE ACTUACIÓN DEL ÁREA LOGÍSTICA DE MAJARAVIQUE, TM. SEVILLA Y LA RINCONADA.

Agencia Pública de Puertos de Andalucía
CONSEJERÍA DE FOMENTO Y VIVIENDA



Para introducir coeficiente de rugosidad de las condiciones hidráulicas del encauzamiento del arroyo Tamarguillo, teniendo en cuenta las características propias de la sección hidráulica, los Coeficientes de Manning aplicados para la determinación de caudales han sido los siguientes:

- Cauce de aguas mínimas del encauzamiento y taludes intermedios construidos mediante losas de hormigón con superficies lisas: $n = 0.014$
- Cauce inferior del encauzamiento y banquetas superiores hasta los bordes exteriores, construido originalmente mediante banquetas de losas de hormigón lisas, con depósitos puntuales de tierras que llegan a alcanzar los 30cm, con presencia de pradera natural y onduladas recías, y taludes hasta cortar al terreno natural con losas de hormigón y superficies lisas: $n = 0.018$

Se considera esta como la alternativa óptima a considerar en los cálculos.

8.2 PENDIENTE DE LOS CAUCES AGUAS ARRIBA Y ABAJO DE LOS PUNTOS DE CONTROL.

Para considerar las pendientes de aguas arriba y debajo de los puntos de control finales en el arroyo se han determinado la pendiente de aguas abajo en el tramo final, que servirán para introducirlos en los cálculos del programa HEC-RAS.

La pendiente resultante en los tramos finales del arroyo se ha considerado un 1,5 por mil, (0,0015) como resultado de la comprobación de la pendiente en el encauzamiento, en la proximidad con la desembocadura en el río Guadalquivir.

8.3 CAUDALES DE CÁLCULO Y CONDICIONES DE CONTORNO.

Asimismo, se ha generado el fichero (Steady Flow) con los caudales resultantes de contorno de pendiente en la sección inicial del trazado.

La pendiente final en el origen del trazado es de 1,5 por mil. Se ha considerado un régimen hidráulico del tipo subrótico, al considerar que el régimen de tipo lento no resulta de aplicación al considerar la sección tipo del canal con revestimiento de hormigón.

La ejecución del programa de acuerdo con las características geométricas de las secciones introducidas del encauzamiento, y la pendiente media de cada tramo donde se encuentra la sección de referencia, y los caudales y condiciones de contorno ha permitido obtener las cotas de inundación resultante en base a las referencias de la cartografía base utilizada, obteniéndose las alturas de la lámina de agua dentro de las secciones.

En los planos de las secciones transversales se presentan los resultados que representan la capacidad de las secciones transversales del encauzamiento, indicando en cada sección la altura de la lámina de agua y la Tabla de resultados para los caudales de periodo de retorno 500 y 10 (DPH), indicándose al mismo tiempo la línea plezométrica de energía en cada una de las secciones de referencia analizadas. Los resultados de la Tabla incluyen los parámetros siguientes:

- Superficie mojada.
- Perímetro mojado.
- Caudal admisible por la sección.
- Caudal del cálculo de la avenida extraordinaria para periodo de retorno de los 500 años.
- 700m³/seg.

9. INUNDABILIDAD DEL ENCAUZAMIENTO DEL ARROYO TAMARGUILLO: PRINCIPALES RESULTADOS Y CONCLUSIONES DE LAS SALIDAS HEC-RAS.

9.1 INUNDABILIDAD DEL ENCAUZAMIENTO DEL ARROYO TAMARGUILLO: PRINCIPALES RESULTADOS Y CONCLUSIONES DE LAS SALIDAS HEC-RAS.

Se consideran los resultados de inundabilidad para el arroyo Tamarguillo por un lado y por otro la incidencia de la inundabilidad del Guadalquivir sobre la llanura de inundación de la primera terraza.

No se ha considerado los efectos simultáneos sobre el arroyo Tamarguillo y en el río Guadalquivir, ya que se consideran cuencas independientes entre sí con tiempos de concentración diferentes y probabilidad mínima de producirse avenidas simultáneas en ambas cuencas a la vez.

9.1 INUNDACION REFERIDA AL ARROYO TAMARGUILLO.

Como principal resumen del estudio hidráulico e hidrológico realizado se observa que el arroyo Tamarguillo no tiene ninguna repercusión sobre los terrenos del Área Logística de Majaravique, ya que las avenidas extraordinarias del arroyo Tamarguillo no producen inundación por la avenida de 500 años de periodo de retorno.

AVENIDA DE 10 AÑOS, DOMINIO PÚBLICO HIDRÁULICO:





ESTUDIO DE INUNDABILIDAD PARA EL PROYECTO DE ACTUACIÓN DEL ÁREA LOGÍSTICA DE MAJARAVIQUE, TM. SEVILLA Y LA RINCONADA.

Agencia Pública de Puertos de Andalucía
CONSEJERÍA DE FOMENTO Y VIVIENDA



La avenida ordinaria del arroyo para un período de retorno de 10 años para un caudal de 1'75 m³/seg no presenta problemas de inundabilidad, quedando contenida dentro de la sección del encauzamiento en su práctica totalidad.

Los resultados del programa HEC-RAS en las secciones de control demuestran que la avenida ordinaria de 10 años queda contenida dentro del encauzamiento, no provocando inundación en el exterior.

AVENIDA EXTRAORDINARIA PARA PERÍODO DE RETORNO DE 500 AÑOS:

Los resultados de la salida del programa HEC-RAS permiten afirmar que el cauce actual del arroyo Tamarguillo se encuentra al límite de sus posibilidades para evacuar sin daños la avenida de los 500 años, ya que la sección actual del encauzamiento es muy estrecha en dimensiones.

Los resultados del programa HEC-RAS en las secciones de control demuestran que la avenida de los 500 años supera el canal del encauzamiento del arroyo y se desborda puntualmente por falta de capacidad de la sección actual, produciendo inundación en varios puntos afectando por rebosamiento a los terrenos próximos. Los daños por inundación se van a producir hacia la zona de huetas de la zona norte donde las edificaciones son escasas, no siendo previsible riesgos a las personas ya que las crecidas en el arroyo serán progresivas y dará tiempo suficiente para desalojar las edificaciones afectadas y las huertas y los parques urbanos afectados.

A medio plazo es previsible que la progresiva urbanización de la cuenca superior aumente la escorrentía y los caudales de avenida, como consecuencia de los desarrollos urbanísticos previstos en los PGOU's de Sevilla y Alcalá de Guadaíra, en cuyo caso las afecciones por desbordamiento serían mayores a los resultados obtenidos en el presente estudio y se superaría en más puntos la capacidad de desague del encauzamiento. En ese caso habría que pensar en realizar el nuevo canal proyectado en el PGOU de Sevilla, cuyo proyecto de construcción se encuentra redactado por la Confederación Hidrográfica del Guadalquivir, pendiente de destinar financiación.

La posibilidad de ampliación del encauzamiento es muy limitada por la falta de espacio para ampliar la sección útil, y supondría un coste muy elevado en reposición de servicios y afectaciones al ferrocarril y sería muy costoso las actuaciones correspondientes. En el tramo final la ampliación de sección no tiene muchas alternativas por el escaso espacio disponible entre el ferrocarril Sevilla-Huelva y la carretera Ronda Supermotor SE-020.

Los daños por inundación se van a producir hacia la zona de huertas de la zona norte donde las edificaciones son escasas, no siendo previsible riesgos a las personas ya que las crecidas en el arroyo serán progresivas y dará tiempo suficiente para desalojar las edificaciones afectadas y las huertas y los parques urbanos afectados.

DOCUMENTO N° 1 MEMORIA



Se observa que el rango de mayores velocidades del agua en la avenida de los 500 años de período de retorno para un caudal de 700m³/seg se produce en el cauce de aguas mínimas, donde se produce la parte más importante del desague de la sección, y donde el cauce homogeneizado de aguas bajas crea una cierta inercia para canalizar las mayores velocidades de flujo. Las velocidades en el cauce de aguas mínimas son del orden de los 7 a 10m/seg, siendo en el resto de la sección entre 1,5 y 3m/seg.

Las inundaciones se producen en los siguientes puntos que se describen a continuación, desde aguas arriba hacia abajo.

- En la margen derecha se producen inundaciones por rebosamiento de la sección útil del encauzamiento entre los PK 5+500 al 6+080, desde el barrio de Pinomontano hasta el ferrocarril Sevilla-Madrid, situados en los terrenos próximos al cauce antiguo del arroyo Miraflores, suelos de menor topografía por pertenecer a la llanura de inundación del arroyo. La avenida de 500 años afecta a los suelos del parque de Miraflores y la parcela del Hospital Psiquiátrico, y en la margen derecha afecta a la carretera de Pinomontano y las huertas adyacentes próximas al Contijo de Pinomontano.
- En la margen derecha, entre los PK 4+500 al 5+200, la avenida de 500 años también afecta a las huertas próximas a la Venta de Casillas, donde la sección es insuficiente y los terrenos se encuentran en una cota más baja.
- En la glorieta de conexión SE-020 con la autovía de La Rinconada, entre los PK 3+230 a 3+140, la avenida extraordinaria inunda los suelos colindantes con el ferrocarril Sevilla-Huelva al desbordar a través de una obra de fábrica bajo el ferrocarril situada a la cota +9,90m llegando la cota de inundación a la +10,5m. La inundación afecta a los suelos situados entre el ferrocarril y la acequia de riego del canal del Valle Inferior, cuya sobreelación limita la extensión de la inundación, que en ningún caso llega a afectar a suelos del Área Logística de Majaravique.
- Entre los PK 1+100 al 0+800 la sección se desborda lateralmente por insuficiencia de altura lateral de la sección transversal. Es el lugar donde el encauzamiento coincide con el antiguo cauce del río Guadiquivir en San Jerónimo. La avenida rebosa la sección útil por la margen derecha desbordando lateralmente bajo la estructura del ferrocarril Sevilla-Huelva y el agua rebosa debajo de la estructura-viaducto.
- En el PK 0+585 y en el origen del encauzamiento la avenida extraordinaria inunda los terrenos de la Isla de Tercia a través de los pasos inferiores bajo el ferrocarril Sevilla-Huelva, y inundando las estructuras de paso sobre el encauzamiento. La topografía del entorno canaliza la inundación a través de los terrenos del antiguo cauce del Guadiquivir.



ESTUDIO DE INUNDABILIDAD PARA EL PROYECTO DE ACTUACIÓN DEL ÁREA LOGÍSTICA DE MAJARAVIQUE, TM. SEVILLA Y LA RINCONADA.

Agenzia Pública de Puertos de Andalucía
CONSEJERÍA DE FOMENTO Y VIVIENDA



- En el punto de conexión con el río Guadalquivir se produce el vertido libre con remanso desde la cota +8 del encauzamiento hasta la cota +1,5m que es la cota media del Guadalquivir en el cauce ordinario.

ANÁLISIS DE LAS ESTRUCTURAS SOBRE EL ENCAUZAMIENTO:

Asimismo, algunas estructuras presentan sección insuficiente para desaguar la avenida extraordinaria;

- ESTRUCTURA DE PASO A LA ISLA DE TERCIA SOBRE EL ENCAUZAMIENTO, PK 0+585.

La avenida extraordinaria inunda los terrenos de Isla de Tercia a través del paso inferior del ferrocarril, y desaguando el río Guadalquivir a través del cauce antiguo.

- PASO SUPERIOR DE LA CARRETERA DE LA ALGABA, A-431, PK 1+760.

El paso superior de la carretera de La Algaba sobre el encauzamiento es suficiente para desague la avenida extraordinaria sin afectaciones a la estructura.

- PASO SUPERIOR DE LA CARRETERA DE LA RINCONADA, C-433, PK 2+700.

El paso superior de la carretera de La Rinconada sobre el encauzamiento se encuentra al límite de la capacidad de desague sin afectar a las vigas del tablero superior, muy próximo con la cota de las vías del ferrocarril Sevilla-Huelva +12.

- ESTRUCTURAS TIPO PERGOLAS EN LA GLORIETA DE SE-020 CON AUTOVÍA A LA RINCONADA, A-8009, PK 3+230 Y PK 3+365.

La cota de inundación en las dos estructuras tipo pergola para paso de la glorieta de la carretera SE-020 se encuentran prácticamente al límite de la capacidad de desague, aunque no afectan a las vigas del tablero. La cotas de inundación resultante según los cálculos es la +10,9.

- PASO SUPERIOR DE LA CARRETERA DE BRENES, SE-111, PK 3+960.

La cota de inundación en el paso superior de la carretera de Brena sobre el encauzamiento se encuentra prácticamente al límite de la capacidad de desague, aunque no afectan a las vigas del tablero. La cotas de inundación resultante según los cálculos es la +13,1.

- PASO SUPERIOR DEL CAMINO DE LA VENTA LAS CASILLAS, PK 5+200





ESTUDIO DE INUNDABILIDAD PARA EL PROYECTO DE ACTUACIÓN DEL ÁREA LOGÍSTICA DE MAJARAVIQUE, TM. SEVILLA Y LA RINCONADA.

Como conclusión de ambos trabajos resulta que la inundabilidad para avenidas extraordinarias alcanza a la primera terraza del río Guadalquivir, fuera del ámbito del Área Logística.

La consulta y transcripción a la cartografía utilizada para el presente Estudio de los resultados de inundación para los suelos de la terraza del Guadalquivir han permitido definir la línea de máxima inundación ocupada por la avenida de retorno de los 500 años, y como resultado la comprobación de no incidencia sobre los suelos del Área Logística de Majaravique.

La consideración del caudal de avenidas para régimen real de avenidas, considerando la presencia de retención de avenidas en los embalses de cabecera y en los principales afluentes del Guadalquivir, es de 8.657 m³/seg, equivalente al régimen natural para 25 años de periodo de retorno y estado inicial saturado de suelos.

Las cotas de inundación correspondientes a dichas secciones se presentan en la Tabla siguiente, resultando estar comprendidas entre las cotas +11.64 a +11.59 m, cotas referidas a la cartografía 1/2000 de la GMU de Sevilla.

En el PROYECTO LINDE se establecieron los siguientes regímenes de caudales obtenidos del Estudio Hidrológico, utilizando el método racional considerando la laminación producida por la regulación de los embalses de cabecera, cuyos resultados se acompañan en la Tabla adjunta:

| REGIMEN DE CAUDALES EN EL RIO GUADALQUIVIR: | | | |
|---|----------------------------|---------------------|---------------------|
| PROYECTO LINDE m ³ /seg | | | |
| SECTOR | DOMINIO PÚBLICO HIDRAULICO | AVENIDA DE 100 AÑOS | AVENIDA DE 500 AÑOS |
| 5-SE-43 | 1.260 | 6.000 | 8.750 |
| 5-CO-27 | 1.200 | 5.575 | 8.225 |

Las cotas de inundación en el tramo entre La Rinconada y Sevilla mantienen resultados muy similares al estudio realizado por PROSER en 1995, y la inundación afecta a los suelos de la primera terraza del río Guadalquivir, siendo la cota media +11.50 en la cartografía de referencia, obteniéndose cotas de referencia muy similares a las del Estudio Hidráulico del Guadalquivir.

10. DOCUMENTOS QUE COMPONEN EL ESTUDIO.

DOCUMENTO N° 1 MEMORIA



Agencia Pública de Puertos de Andalucía
CONSEJERÍA DE FOMENTO Y VIVIENDA





**ESTUDIO DE INUNDABILIDAD PARA EL PROYECTO DE ACTUACIÓN DEL ÁREA
LOGÍSTICA DE MAJARAVÍQUE. TM. SEVILLA Y LA RINCÓNADA.**

Agencia Pública de Puertos de Andalucía
CONSEJERÍA DE FOMENTO Y VIVIENDA





ESTUDIO DE INUNDABILIDAD PARA EL PROYECTO DE ACTUACIÓN DEL ÁREA LOGÍSTICA DE MAJARAVÍQUE, TM. SEVILLA Y LA RINCÓNADA.

Agencia Pública de Puertos de Andalucía
CONSEJERÍA DE FOMENTO Y VIVIENDA



ÍNDICE:

| | | |
|-----|--|---|
| 1. | LOS ANTECEDENTES DEL ÁREA LOGÍSTICA DE MERCANCIAS DE MAJARAVÍQUE | 2 |
| 2. | LA ORDENACIÓN PORMENORIZADA DEL ÁREA LOGÍSTICA: USOS Y ACTIVIDADES | 3 |
| 2.1 | CLASIFICACIÓN DE SUELO EN LOS PLANES GENERALES DE SEVILLA Y LA RINCÓNADA | 4 |
| 3. | CONDICIONANTES HIDRAULICOS EN TRAMITACIÓN: EL PROYECTO DEL NUEVO CAUCE DE INUNDACIONES DE LOS ARROYOS TAMARGUILLO Y RANILLAS | 6 |





ESTUDIO DE INUNDABILIDAD PARA EL PROYECTO DE ACTUACIÓN DEL ÁREA LOGÍSTICA DE MAJARAVIQUE, TM. SEVILLA Y LA RINCONADA.

Agencia Pública de Puertos de Andalucía
CONSEJERÍA DE FOMENTO Y VIVIENDA



Los suelos del Área Logística para Transporte de mercancías de Majaravique permitirán a la Aglomeración de Sevilla anticiparse a la previsible futura expansión de las actividades logística y Empresariales, reservando unos suelos estratégicos por la alta accesibilidad respecto a la red viaria de primer orden y las líneas ferroviarias.

La actuación urbanística se tramita desde la Consejería de Fomento y Vivienda de acuerdo con la Ley 5/2001 Reguladora de las Áreas de Transporte de Mercancías en Andalucía, para creación de los suelos productivos, logísticos y de actividades relacionadas con el transporte de mercancías.

El Área Logística incluye en su interior el Centro Regional de Transportes de Sevilla y está incluido en la planificación del Plan de Ordenación Territorial de la Aglomeración Urbana de Sevilla.

Está localizada entre los municipios de Sevilla y La Rinconada, en la margen Oeste del ferrocarril de la estación ferroviaria de mercancías de Majarabique, asegurando una correcta localización e implantación territorial con buena accesibilidad hacia el ferrocarril y hacia la futura circunvalación SE-40.

Los PGOU's de Sevilla y La Rinconada incluyen en sus determinaciones el desarrollo de dicho planeamiento de carácter intermunicipal, con uso global para actividades económicas con especialización para las logísticas y servicios complementarios.

De acuerdo con el planeamiento subregional aprobado, la Agencia Pública de Puertos (APPA) de la Consejería de Fomento y Vivienda está tramitando la propuesta de Ordenación Portuaria para creación de los suelos productivos, logísticos y de actividades relacionadas con el transporte de mercancías, incluidos en su delimitación.

2. LA ORDENACION PORMENORIZADA DEL ÁREA LOGÍSTICA: USOS Y ACTIVIDADES.

La actuación total se desarrolla sobre una superficie de 207,27 hectáreas, con un Parque de Actividades Logísticas y Complementarias de 133,53 hectáreas de superficie neta, desarrollados en cuatro Parques de Actividad principal:

- Centro de Transporte de Mercancías. 78,81 hectáreas.

- Centro Integrado de Servicios CIS. 10,8 hectáreas.

- Redes Territoriales.

- Vialario Estructurante.

| USOS | SUPERFICIE (HAS) | SUPERFICIE (HAS) | % |
|---|------------------|------------------|---|
| PARQUES DE ACTIVIDAD: | | | |
| Centro de Transportes de Mercancías (CTM) | 79,81 | 38,50 | |
| CTM-1 | 17,43 | 8,41 | |
| CTM-2 | 21,83 | 10,53 | |
| CTM-3 | 19,30 | 9,31 | |
| CTM-4 | 21,25 | 10,25 | |
| Área Logística Especializada (LE) | 18,57 | 8,96 | |
| LE-1 | 6,31 | 3,05 | |
| LE-2 | 4,69 | 2,26 | |
| LE-3 | 1,84 | 0,89 | |
| LE-4 | 5,72 | 2,76 | |
| Terminal Intermodal (TI) | 24,85 | 11,99 | |
| TI | 24,85 | 11,99 | |
| Centro Integrado de Servicios | 10,30 | 4,97 | |
| CIS-1 | 3,85 | 1,86 | |
| CIS-2 | 4,44 | 2,14 | |
| CIS-3 | 2,00 | 0,97 | |
| ESTRUCTURA VIALIA: | 41,77 | 20,15 | |
| Redes Territoriales | 31,92 | 15,40 | |
| Vialario Estructurante | 9,85 | 4,75 | |
| ESPACIOS LIBRES Y ZONAS VERDES: | 31,97 | 15,42 | |
| Espacios Libres y Zonas Verdes | 31,97 | 15,42 | |
| TOTAL | 207,27 | 100,00 | |





**ESTUDIO DE INUNDABILIDAD PARA EL PROYECTO DE ACTUACIÓN DEL ÁREA
LOGÍSTICA DE MAJARAVIQUE, TM. SEVILLA Y LA RINCONADA.**

2.1 CLASIFICACIÓN DE SUELO EN LOS PLANES GENERALES DE SEVILLA Y LA RINCONADA.

Los suelos incluidos en esta actuación corresponden a terrenos de la vega norte de Sevilla, un territorio con usos y actividades asociados a su condición agrícola, con una amplia dispersión de usos industriales, actividades extractivas junto con asentamientos residenciales diseminados de carácter rural y con huertas familiares, así como otras actividades de ocio y terciario.

La clasificación urbanística prevista en ambos PGOU de Sevilla y La Rinconada es la de SUELLO URBANIZABLE NO SECTORIZADO, SUS-DMN-02, con la finalidad de otorgar al desarrollo urbanístico la máxima oportunidad a la coordinación y la gestión coordinada entre ambos municipios.

**PLAN GENERAL DE ORDENACIÓN URBANÍSTICA DE LA RINCONADA: ESTRUCTURA
GENERAL:**

ANEXO 1. ANTECEDENTES

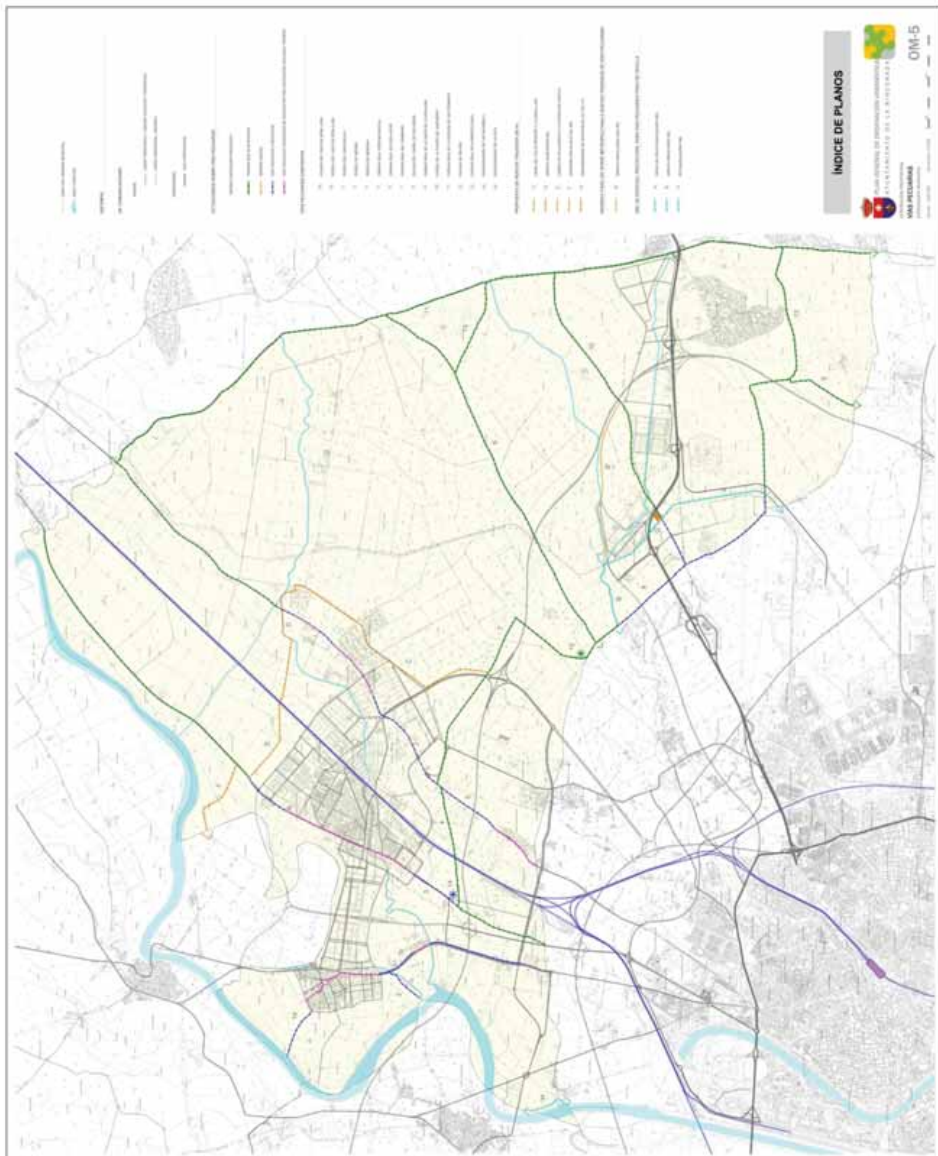
205

4



**ESTUDIO DE INUNDABILIDAD PARA EL PROYECTO DE ACTUACIÓN DEL ÁREA
LOGÍSTICA DE MAJARAVÍQUE, TM. SEVILLA Y LA RINCONADA.**

Agencia Pública de Puertos de Andalucía
CONSEJERÍA DE FOMENTO Y VIVIENDA



ÍNDICE DE PLANOS



OM-5

ANEXO 1. ANTECEDENTES

5
205



ESTUDIO DE INUNDABILIDAD PARA EL PROYECTO DE ACTUACIÓN DEL ÁREA LOGÍSTICA DE MAJARAVÍQUE, TM. SEVILLA Y LA RINCONADA.



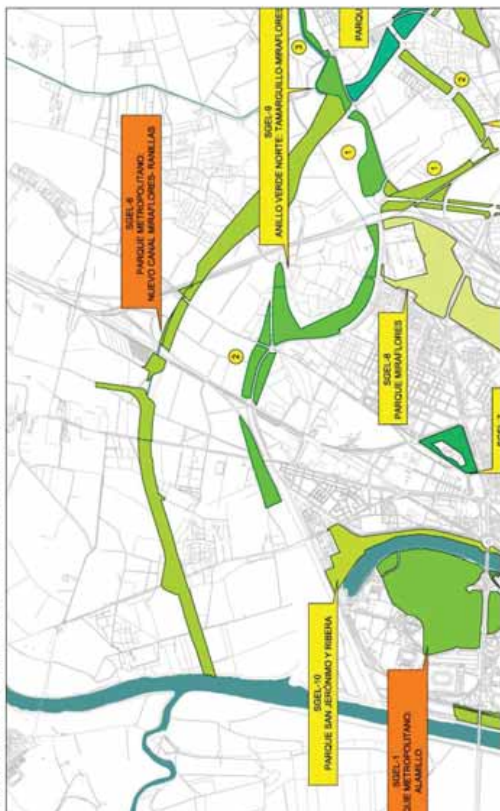
3. CONDICIONANTES HIDRÁULICOS EN TRAMITACION: EL PROYECTO DEL NUEVO CAUCE DE INUNDACIONES DE LOS ARROYOS TAMARGUILLO Y RANILLAS.

El vigente PGOU del municipio de Sevilla incluye la construcción de un nuevo cauce de avenidas para los arroyos Tamargullo y Ranillas para sustituir al actual encallamiento, de sección es insuficiente en algunos tramos, ya que la capacidad actual de desagüe está limitada actualmente y no resuelve completamente la inundabilidad de la ciudad en la zona norte, y permitirá la modernización de las infraestructuras hidráulicas de defensa de inundaciones de la ciudad.

El proyecto del nuevo cauce de avenidas contra inundaciones fue redactado por el Ministerio de Medio Ambiente, a través de la Confederación Hidrográfica del Guadalquivir.

El proyecto fue aprobado técnicamente y ambientalmente por el Ministerio, pero finalmente el Ayuntamiento de Sevilla no consideró su aprobación y se decidió no construir las obras.

La redacción del proyecto fue coordinada con la construcción del Acceso Norte a Sevilla, (A-8009), para que el trazado de la carretera fuese compatible con la viabilidad técnica de su construcción.



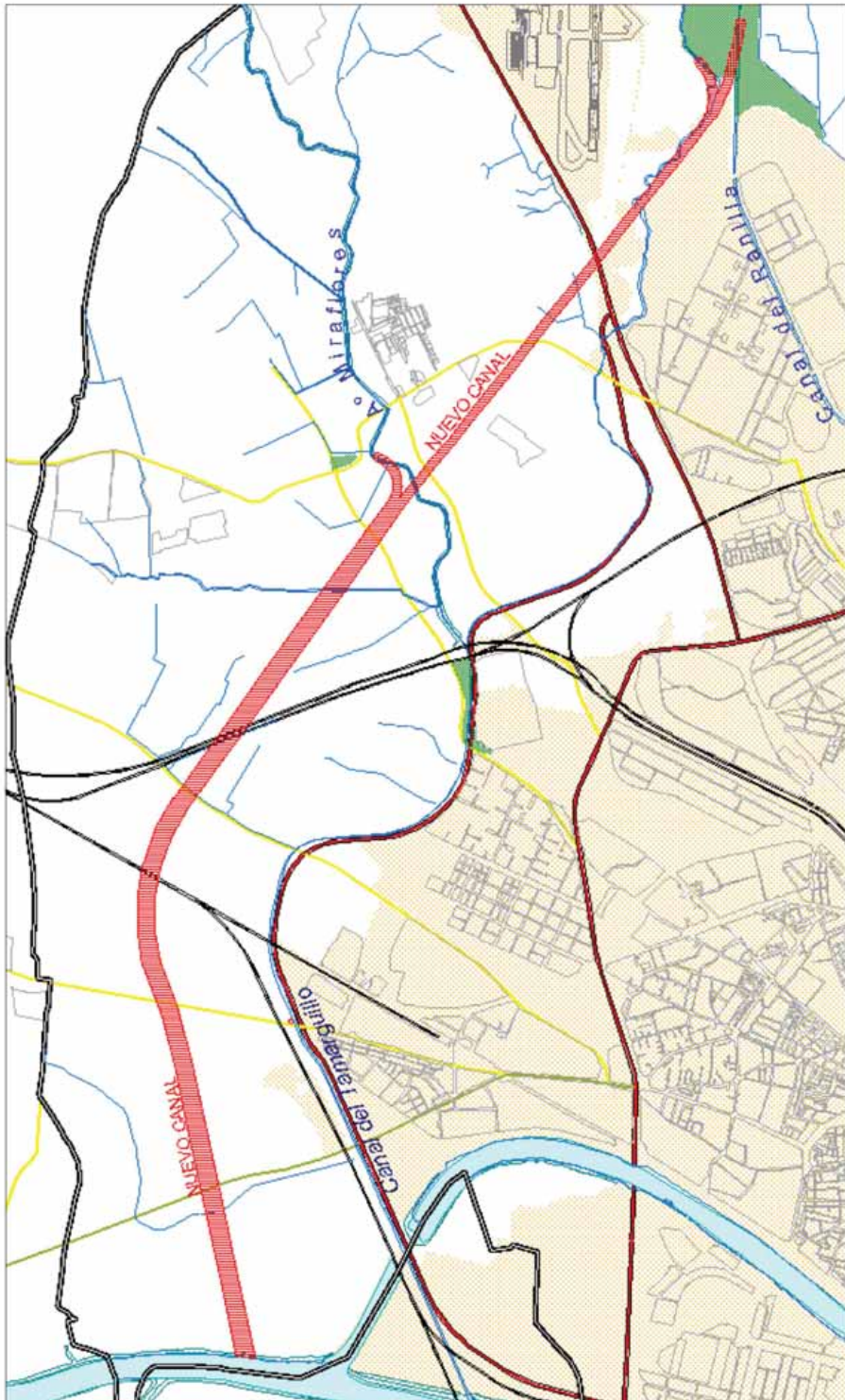
ANEXO Nº 1. ANTECEDENTES.





**ESTUDIO DE INUNDABILIDAD PARA EL PROYECTO DE ACTUACIÓN DEL ÁREA
LOGÍSTICA DE MAJARAVIQUE, TM. SEVILLA Y LA RINCONADA.**

Agencia Pública de Puertos de Andalucía
CONSEJERÍA DE FOMENTO Y VIVIENDA



ANEXO 1. ANTECEDENTES.

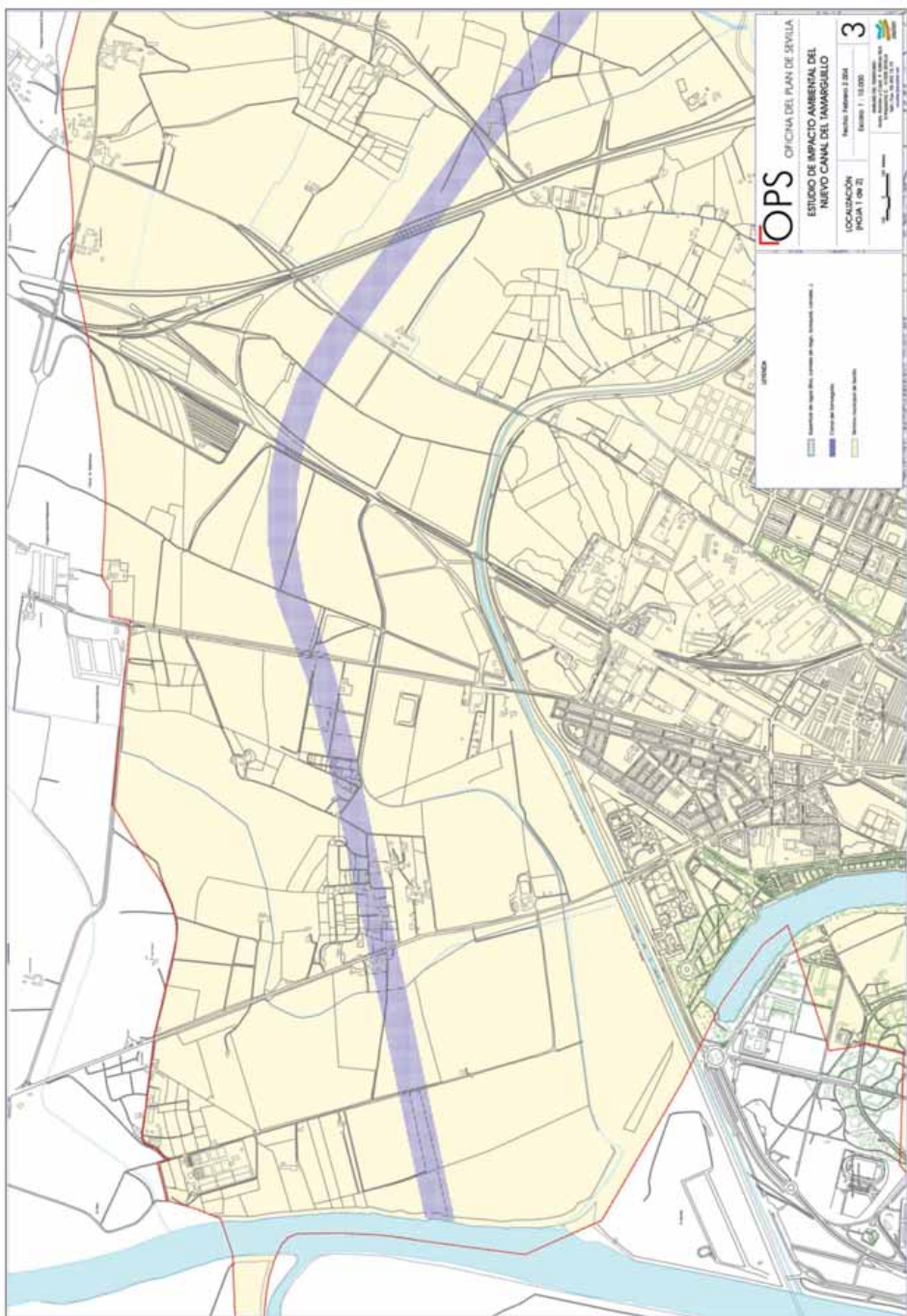
205

7



**ESTUDIO DE INUNDABILIDAD PARA EL PROYECTO DE ACTUACIÓN DEL ÁREA
LOGÍSTICA DE MAJARAVIQUE, TM. SEVILLA Y LA RINCONADA.**

Agencia Pública de Puertos de Andalucía
CONSEJERÍA DE FOMENTO Y VIVIENDA



ANEXO Nº 1. ANTECEDENTES.

205 6



**ESTUDIO DE INUNDABILIDAD PARA EL PROYECTO DE ACTUACIÓN DEL ÁREA
LOGÍSTICA DE MAJARAVIQUE, TM. SEVILLA Y LA RINCÓNADA.**

Agencia Pública de Puertos de Andalucía
CONSEJERÍA DE FOMENTO Y VIVIENDA



En Sevilla, Diciembre 2012

El Ingeniero Autor del Estudio.

Fdo. Indalecio de La Lastra Valdor





ESTUDIO DE INUNDABILIDAD PARA EL PROYECTO DE ACTUACION DEL AREA LOGISTICA DE MAJARAVIQUE. TM. SEVILLA Y LA RINCONADA.

Agencia Pública de Puertos de Andalucía
CONSEJERÍA DE FOMENTO Y VIVIENDA



APÉNDICE 1: INFORMACIÓN SOBRE LOS ESTUDIOS DE INUNDABILIDAD DEL RÍO GUADALQUIVIR ENTRE SEVILLA Y LA ALGABA.

- PROYECTO LINDE: ESTUDIO Y DELIMITACIÓN PREVIA DEL DOMINIO PÚBLICO HIDRAULICO CORRESPONDIENTE A LA SEGUNDA FASE, SEGUNDA ETAPA DEL PROYECTO LINDE EN LA CUENCA HIDROGRÁFICA DEL RÍO GUADALQUIVIR, AÑO 2000.
- ESTUDIO HIDRAULICO DEL GUADALQUIVIR Y DELIMITACION DE LA ZONA DE DOMINIO PÚBLICO Y ZONAS INUNDABLES. 1995.



ESTUDIO DE INUNDABILIDAD PARA EL PROYECTO DE ACTUACION DEL AREA LOGISTICA DE MAJARAVIQUE. TM. SEVILLA Y LA RINCONADA.



1. LA INUNDABILIDAD DEL RIO GUADALQUIVIR: ESTUDIO HIDRAULICO Y PROYECTO LINDE.

Para establecer la inundabilidad en el río Guadalquivir entre la ciudad de Sevilla y La Rinconada, y conocer las afectaciones a los suelos del Área Logística de Majaravique, se han consultado la información de los dos siguientes trabajos redactados por la Confederación Hidrográfica del Guadalquivir:

- Proyecto LINDE: ESTUDIO Y DELIMITACION PREVIA DEL DOMINIO PUBLICO HIDRAULICO CORRESPONDIENTE A LA SEGUNDA FASE, SEGUNDA ETAPA DEL PROYECTO LINDE EN LA CUENCA HIDROGRAFICA DEL RIO GUADALQUIVIR, estudio realizado por la Confederación Hidrográfica del Guadalquivir en el año 2000, y realizado por la empresa INGEOPSA.
- ESTUDIO HIDRAULICO DEL GUADALQUIVIR Y DELIMITACION DE LA ZONA DE DOMINIO PUBLICO Y ZONAS INUNDABLES. Realizado por PROSER para la CHG en el año 1995.

Ambos estudios se realizaron con la cartografía formato RASTER 1/10.000 procedente del ICA. Dicha cartografía tiene un origen de referencia en cotas de 0,5m superior a las cotas de referencia de la Gerencia de Urbanismo de Sevilla.

La consulta y trascipción a la cartografía utilizada para el presente Estudio ha permitido definir la línea de máxima inundación ocupada por la avenida de periodo de retorno de los 500 años.

1.1 ESTUDIO HIDRAULICO DEL GUADALQUIVIR Y DELIMITACION DE LA ZONA DE DOMINIO PUBLICO Y ZONAS INUNDABLES.

El Estudio Hidráulico del Guadalquivir establece que las cotas de inundación en el tramo entre La Rinconada y Sevilla se corresponden con los suelos de la primera terraza del río Guadalquivir, situándose en las secciones denominadas 3.000, 3.005, 3.010 y 3.015, según se representa en el plano adjunto.

Las cotas de inundación correspondientes a dichas secciones se presentan en la Tabla siguiente, resultando estar comprendidas entre las cotas +11,64 a +11,59 m referidos a la cartografía 1/2000 de la GMU de Sevilla.

El caudal punta para la avenida de periodo de retorno de 500 años en régimen natural, resguardos nominales y estado inicial de suelo semisaturado es de 11.938m³/seg.

El caudal punta para la avenida de periodo de retorno de 500 años en régimen real, resguardos nominales y saturado de suelos para 25 años de periodo de retorno. Se ha considerado por redondeo un caudal de 8.700m³/seg.

Las secciones correspondientes al tramo objeto del Estudio y los niveles alcanzados por las aguas, es decir, las cotas de inundación resultantes para las diferentes secciones transversales consideradas en dicho estudio son las siguientes, referidas a la cartografía de la Gerencia de Urbanismo, según se presenta en el plano de Planta para la inundabilidad de la avenida extraordianaria en el río Guadalquivir, margen derecha:

| COTAS DE INUNDACION EN RIO GUADALQUIVIR: (ESTUDIO HIDRAULICO Y DELIMITACION ZONAS INUNDABLES, 1995.) | | | |
|--|----------------------------|--|--|
| SECCION | CAUDAL m ³ /seg | COTA m. Referida en cartografía GMU 1/2000 | COTA m. Referida en cartografía GMU 1/2000 |
| 3000 | 8.700 | 11,64 | |
| 3005 | 8.700 | 11,60 | |
| 3010 | 8.700 | 11,52 | |
| 3015 | 8.700 | 11,49 | |

1.1.1 PLANOS DE LOS ESTUDIOS DE INUNDACION DEL ESTUDIO HIDRAULICO 1.995.

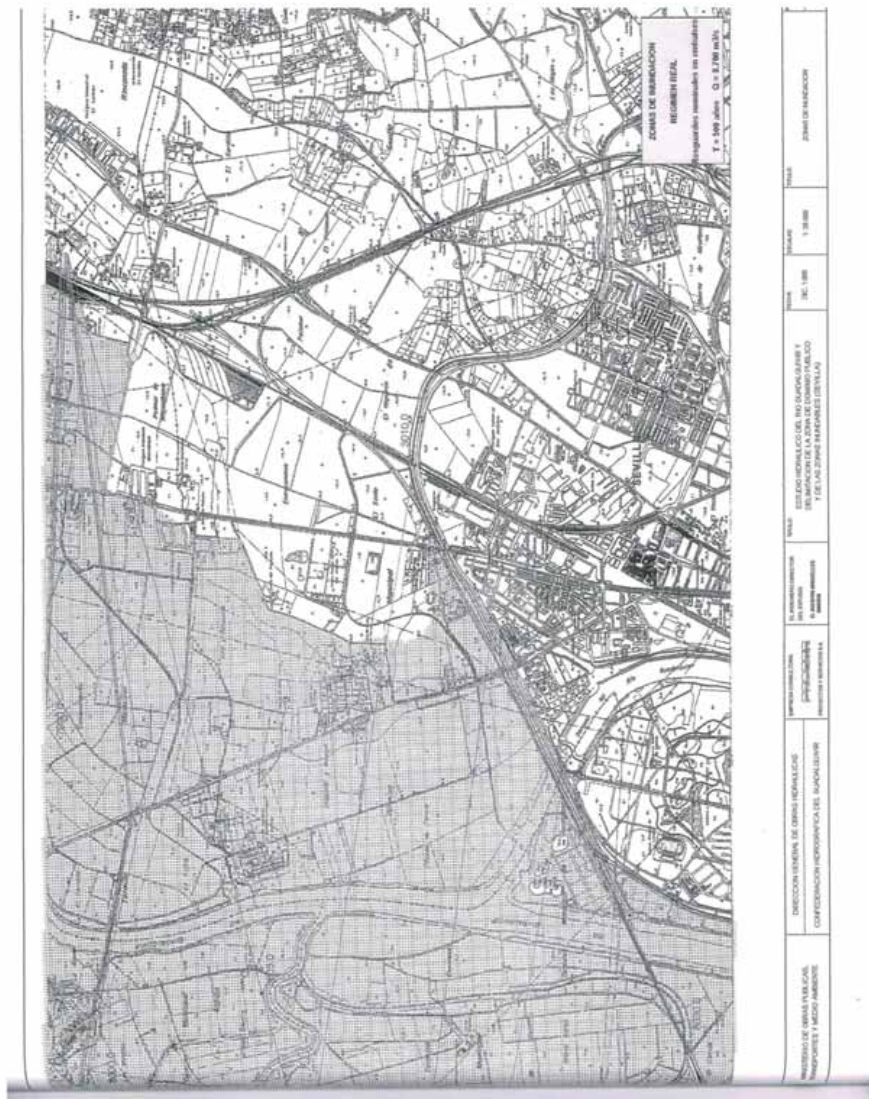
Se adjuntan a continuación copia de los planos de inundación en planta con las secciones de referencia analizadas y las secciones transversales del cauce del río, correspondientes a dicho estudio.





ESTUDIO DE INUNDABILIDAD PARA EL PROYECTO DE ACTUACION DEL AREA
LOGISTICA DE MAJARAVIQUE. TM. SEVILLA Y LA RINCONADA.

Agencia Pública de Puertos de Andalucía
CONSEJERÍA DE FOMENTO Y VIVIENDA

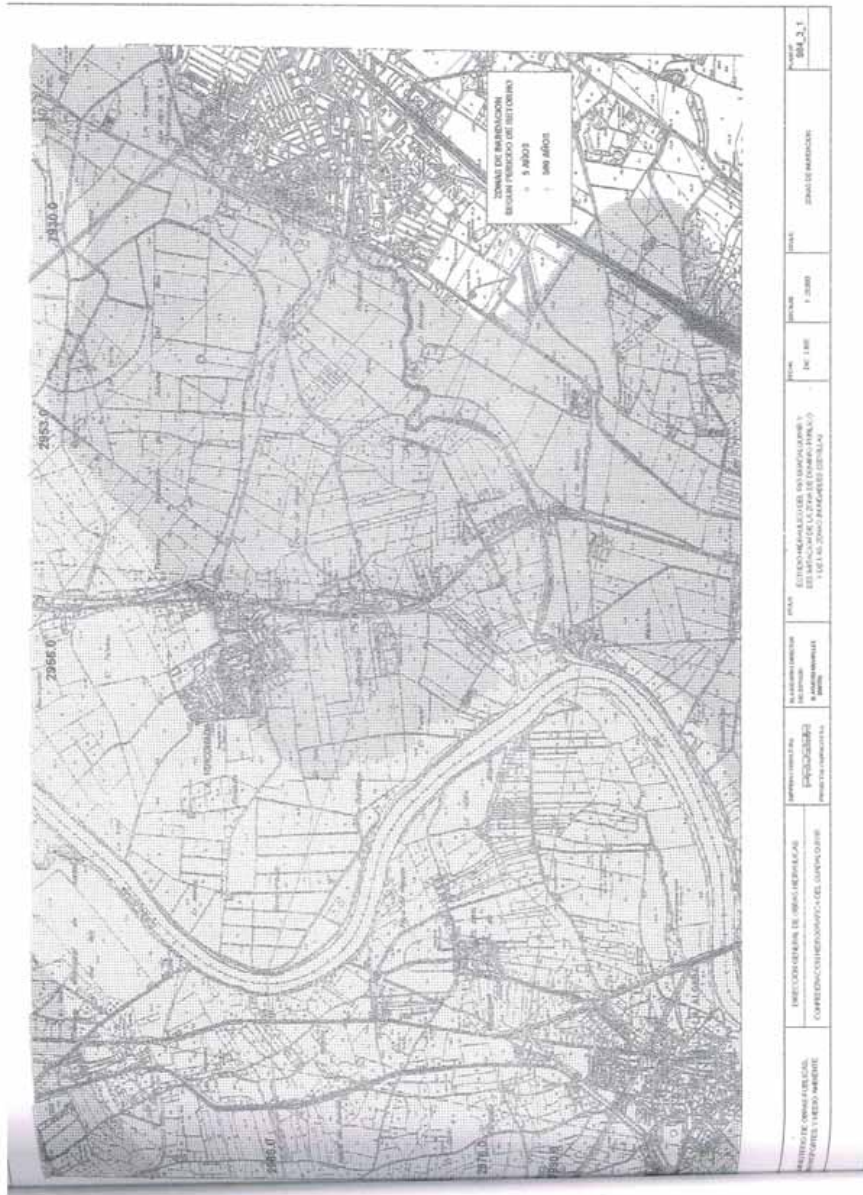


| DIRECCIÓN GENERAL DE OBRAS PÚBLICAS, COMEDOR Y MEDIO AMBIENTE | DIRECCIÓN GENERAL DE OBRAS PÚBLICAS, COMEDOR Y MEDIO AMBIENTE | DETALLE | DETALLE | ZONAS DE RENOVACION |
|--|--|----------|---------|---------------------|
| MINISTERIO DE OBRAS PÚBLICAS, TRANSPORTES Y MEDIO AMBIENTE | MINISTERIO DE OBRAS PÚBLICAS, TRANSPORTES Y MEDIO AMBIENTE | REC-1000 | 1:10000 | |



**ESTUDIO DE INUNDABILIDAD PARA EL PROYECTO DE ACTUACION DEL AREA
LOGISTICA DE MAJARAVIQUE. TM. SEVILLA Y LA RINCONADA.**

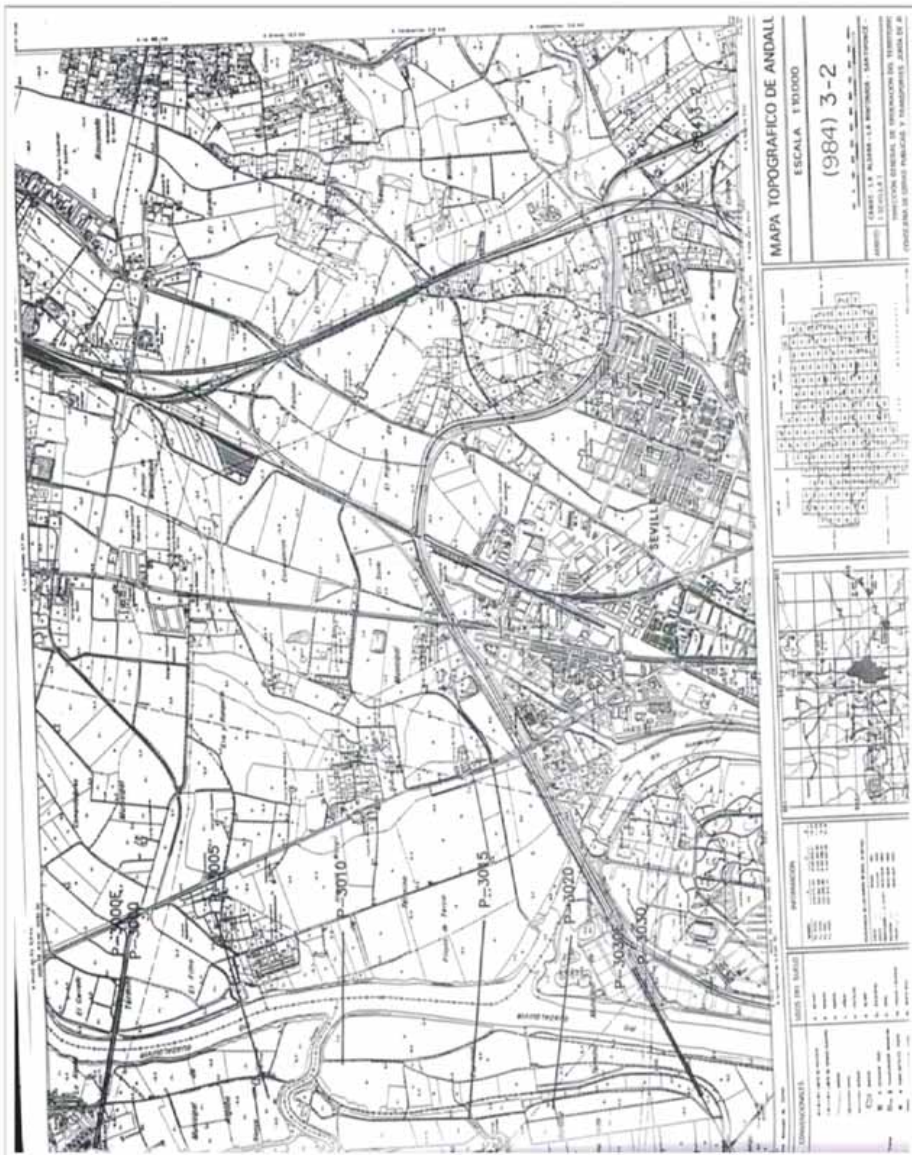
Agencia Pública de Puertos de Andalucía
CONSEJERÍA DE FOMENTO Y VIVIENDA





ESTUDIO DE INUNDABILIDAD PARA EL PROYECTO DE ACTUACION DEL AREA
LOGISTICA DE MAJARAVIQUE. TM. SEVILLA Y LA RINCONADA.

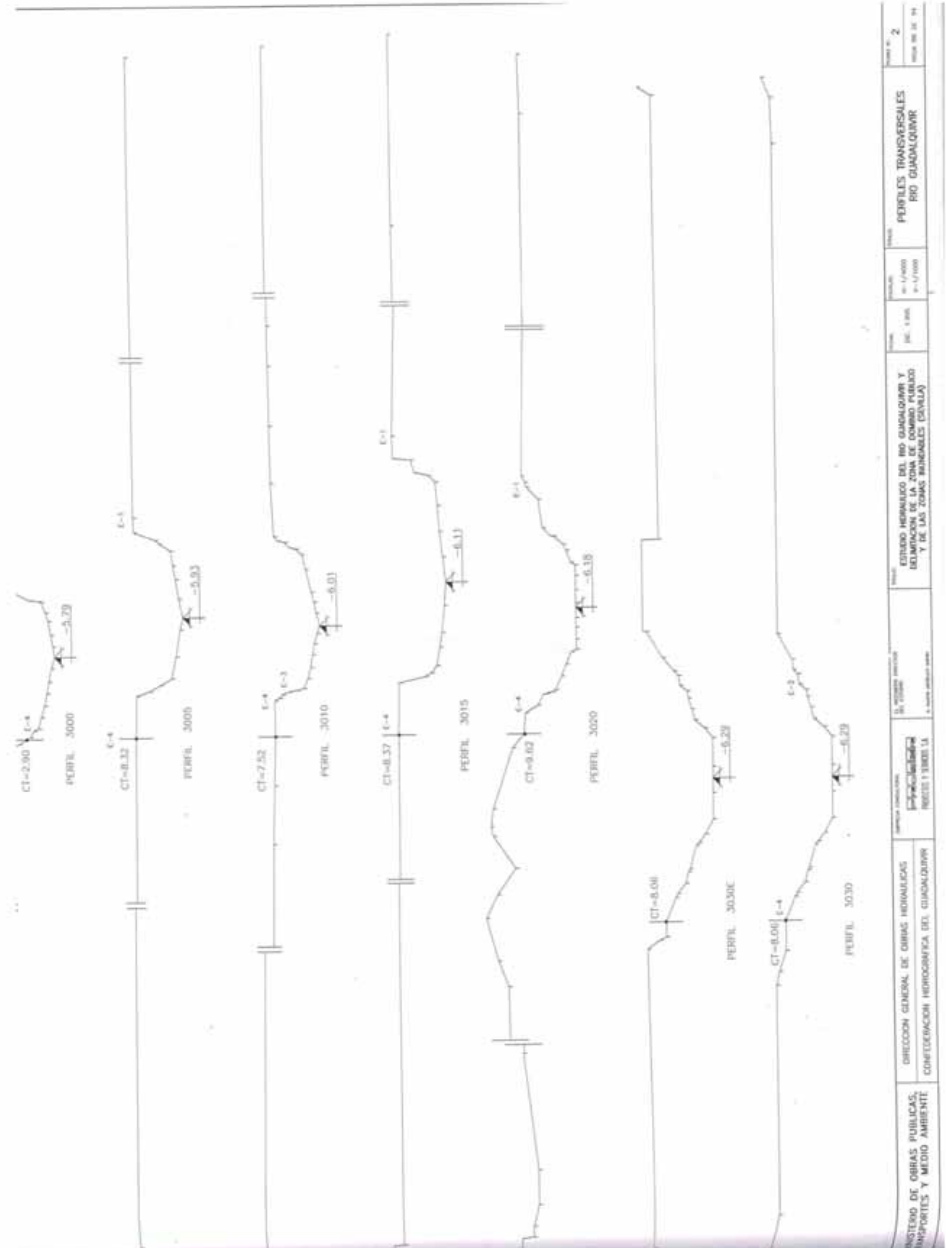
Agencia Pública de Puertos de Andalucía
CONSEJERÍA DE FOMENTO Y VIVIENDA





ESTUDIO DE INUNDABILIDAD PARA EL PROYECTO DE ACTUACION DEL AREA LOGÍSTICA DE MAJARAVIQUE. TM. SEVILLA Y LA RINCONADA.

Agencia Pública de Puertos de Andalucía
CONSEJERÍA DE FOMENTO Y VIVIENDA



1.2 PROYECTO

| ESTUDIO HIDRÁULICO DEL RÍO GUADALQUIVR Y RELIMITACIÓN DE LA ZONA DE DOMINIO PÚBLICO Y DE LAS Zonas RÍMEAS (ESNALA) | | PERFILES TRANSVERSALES RÍO GUADALQUIVR | |
|--|------------------|---|------------------|
| DIRECCIÓN GENERAL DE OBRAS INFRACCIONES CONTRACCION Hidráulica, Del. GUADALQUIVR | PERFIL 1 TRAM 1A | PERFIL 2 TRAM 2A | PERFIL 3 TRAM 3A |





ESTUDIO DE INUNDABILIDAD PARA EL PROYECTO DE ACTUACION DEL AREA LOGISTICA DE MAJARAVIQUE. TM. SEVILLA Y LA RINCONADA.

LINDE: ESTUDIO Y DELIMITACION PREVIA DEL DOMINIO PUBLICO HIDRAULICO CORRESPONDIENTE A LA SEGUNDA FASE, SEGUNDA ETAPA DEL PROYECTO LINDE EN LA CUENCA HIDROGRAFICA DEL RIO GUADALQUIVIR

En el PROYECTO LINDE se establecieron los siguientes regímenes de caudales obtenidos del Estudio Hidrológico, utilizando el método racional considerando la laminación producida por la regulación de los embalses de cabecera, cuyos resultados se acompañan en la Tabla adjunta:

| REGIMEN DE CAUDALES EN EL RIO GUADALQUIVIR: PROYECTO LINDE m3/seg | | | |
|--|----------------------------|---------------------|---------------------|
| SECTOR | DOMINIO PUBLICO HIDRAULICO | AVENIDA DE 100 AÑOS | AVENIDA DE 500 AÑOS |
| 5-SE-43 | 1.260 | 6.000 | 8.750 |
| 5-CO-27 | 1.200 | 5.575 | 8.225 |

Las cotas de inundación en el tramo entre La Rinconada y Sevilla mantienen resultados muy similares al estudio realizado por PROSER en 1985, y la inundación afecta a los suelos de la primera terraza del río Guadalquivir, siendo la cota media +11.50 en la cartografía de referencia, obteniéndose cotas de referencia muy similares a las del Estudio Hidráulico del Guadalquivir.

1.2.1 PLANOS DE LOS ESTUDIOS DE INUNDACION DEL RIO GUADALQUIVIR.

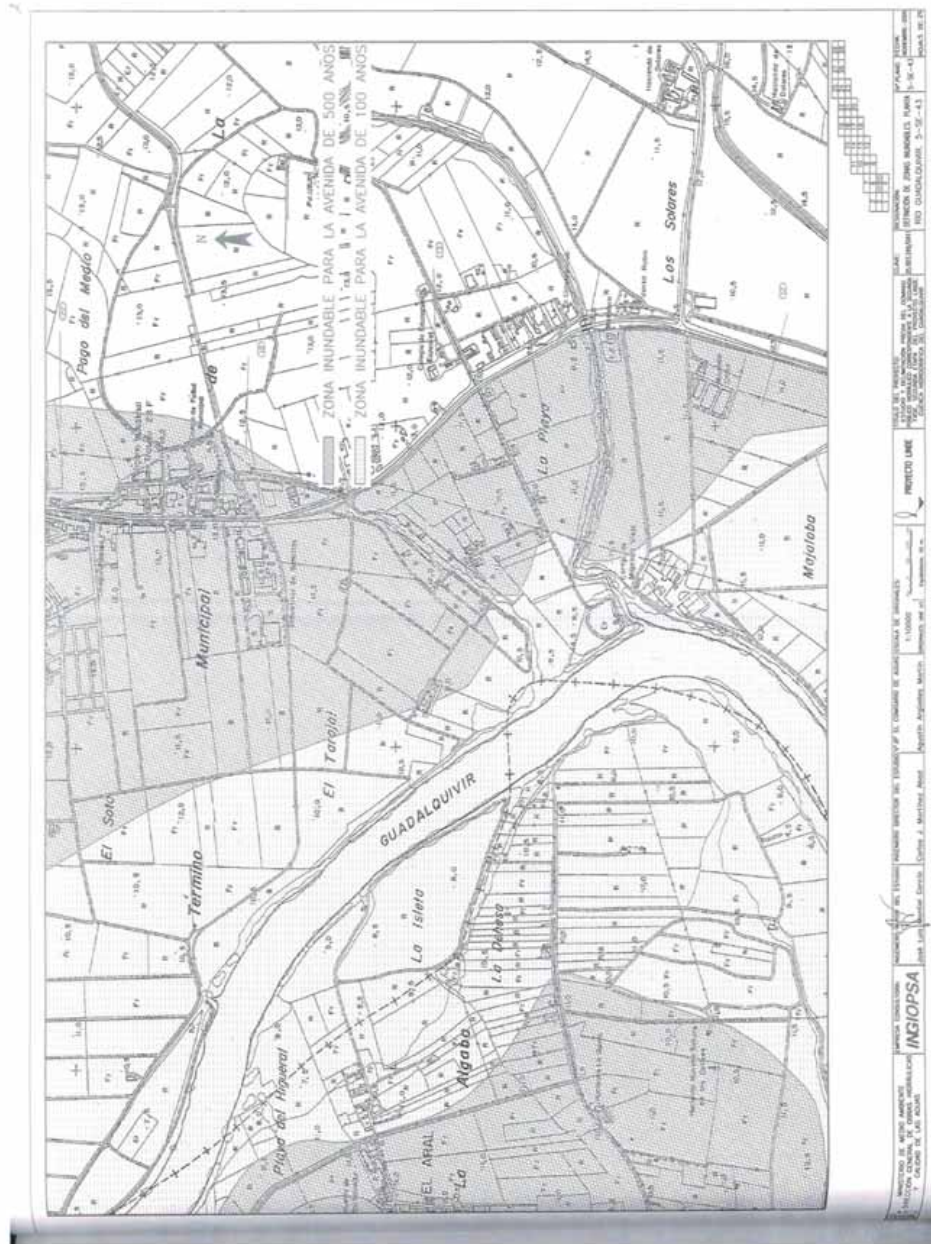
Se adjuntan a continuación copias de los planos correspondientes a dicho estudio.





ESTUDIO DE INUNDABILIDAD PARA EL PROYECTO DE ACTUACION DEL AREA LOGÍSTICA DE MAJARAVIQUE. TM. SEVILLA Y LA RINCONADA.

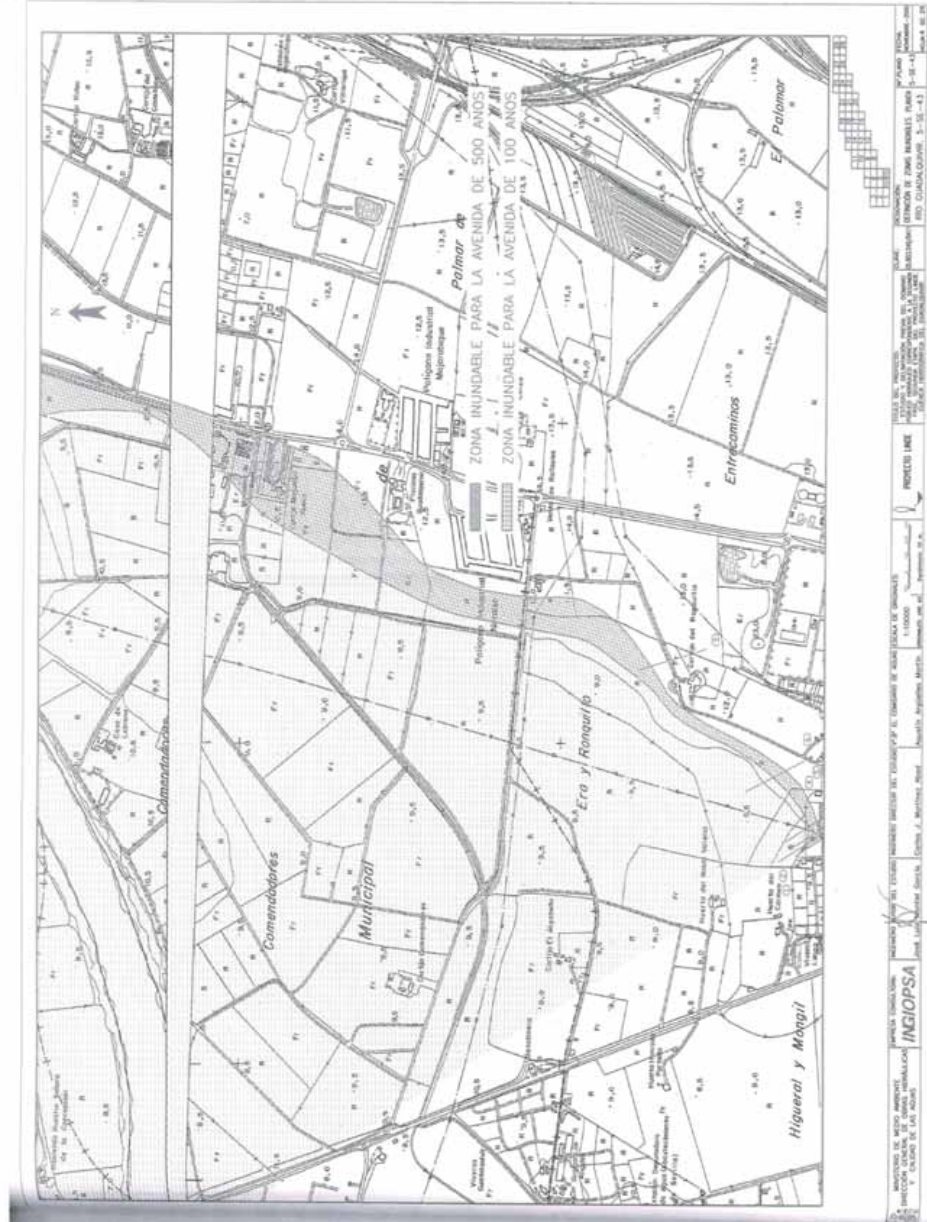
Agencia Pública de Puertos de Andalucía
CONSEJERÍA DE FOMENTO Y VIVIENDA





ESTUDIO DE INUNDABILIDAD PARA EL PROYECTO DE ACTUACION DEL AREA LOGÍSTICA DE MAJARAVIQUE. TM. SEVILLA Y LA RINCONADA.

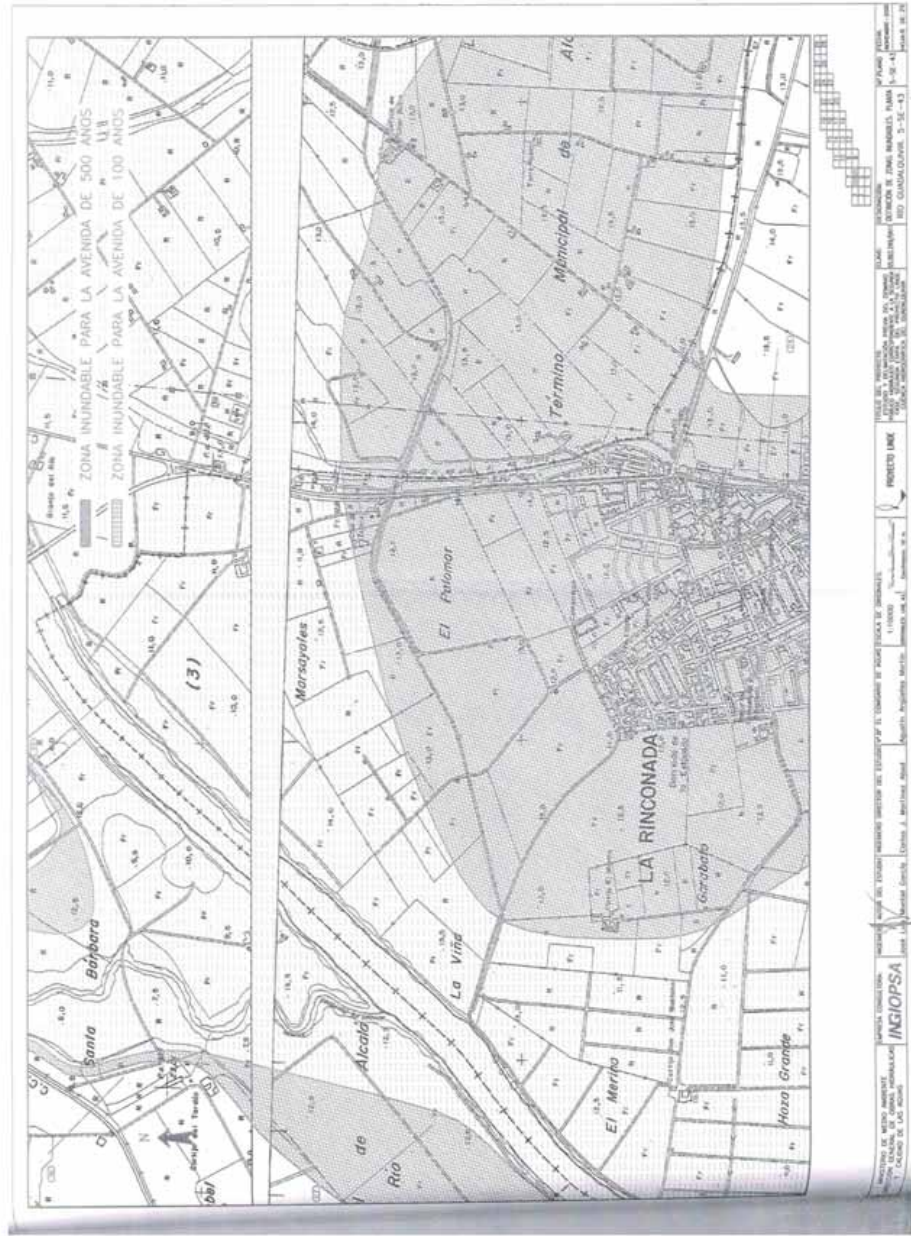
Agencia Pública de Puertos de Andalucía
CONSEJERÍA DE FOMENTO Y VIVIENDA





ESTUDIO DE INUNDABILIDAD PARA EL PROYECTO DE ACTUACION DEL AREA LOGÍSTICA DE MAJARAVIQUE. TM. SEVILLA Y LA RINCONADA.

Agencia Pública de Puertos de Andalucía
CONSEJERÍA DE FOMENTO Y VIVIENDA





ESTUDIO DE INUNDABILIDAD PARA EL PROYECTO DE ACTUACION DEL AREA LOGISTICA
DE MAJARAVIQUE, TM. SEVILLA Y LA RINCONADA.

Agencia Pública de Puertos de Andalucía
CONSEJERÍA DE FOMENTO Y VIVIENDA



ANEJO 2: CLIMATOLOGIA E HIDROLOGIA



INDICE

CLIMATOLOGÍA.....

1. CLIMATOLOGÍA.....

1.1 OBJETO Y ALCANCE.....

1.2 DATOS CLIMATOLOGICOS GENERALES.....

1.3 ESTUDIO DE PRECIPITACIONES CARACTERÍSTICAS.....

1.3.1 Precipitación media anual.....

1.3.2 Precipitaciones medios mensuales.....

1.3.3 Precipitaciones máximas en 24 horas.....

1.3.4 Número de días con precipitación > 1mm.....

1.3.5 Número de días de precipitación > 10 mm.....

1.3.6 Número de días con precipitación > 30 mm.....

1.3.7 Número de días de precipitación > 30 mm.....

1.3.8 Días con nevadas y granizo.....

1.3.9 Tormentas.....

1.3.10 Días de niebla, rocío y escarcha.....

1.4 ESTUDIO DE LAS TEMPERATURAS CARACTERÍSTICAS.....

1.4.1 Temperaturas medias mensuales.....

1.4.2 Temperaturas mínimas.....

1.4.3 Temperaturas máximas.....

1.4.4 Número de días con temperaturas máximas superiores a 30°C y mínimas inferiores a 0°C y <5°C.....

1.4.5 Número de días con temperatura media inferior a 0°C y superior a 30°C.....

1.4.6 Oscilaciones de los temperaturas.....

1.5 HUMEDAD RELATIVA.....

1.6 INSOLACION.....

1.7 VIENTOS.....

1.8 CLASIFICACIÓN CLIMÁTICA.....

1.8.1 Índice termopluviométrico de dantón-reverga.....

1.8.2 Clasificación climática de Popodakis.....

HIDROLOGÍA:.....

1. CARACTERIZACIÓN HIDROLOGICA DEL ÁMBITO DEL PROYECTO.....

1.1 DATOS DE LA GEOLOGÍA.....

1.2 HIDROLOGÍA SUBTERÁNEA.....

2. METODOLOGÍA MÉTODO RACIONAL.....

2.1 ANÁLISIS Y TRATAMIENTO DE LOS DATOS PLUVIOMÉTRICOS.....

2.2 CANTIDAD TOTAL DE LLUVIA EN UN PUNTO.....

2.3 LLUVIA EN UN PUNTO PARA DIFERENTES DURACIONES.....

2.4 LLUVIA AREAL SOBRE UNA CLUENCA.....

2.5 LLUVIA NETA.....

2.6 UMBRAL DE ESCORRENIA.....

2.7 COEFICIENTE DE ESCORRENIA.....

2.7.1 Tiempo de concentración.....

3. CUENCA EN ESTUDIO: METODOLOGÍA PARA DETERMINACIÓN DEL HIDROGRAMA.....

3.1 PLUVIOMETRÍA.....

3.2 ESTACIONES PLUVIOMÉTRICAS.....

3.2.1 Leyes estadísticas.....

3.3 PRECIPITACIONES DE CORTA DURACIÓN.....

4. HIDROGRAMAS DE AVENIDA.....





ESTUDIO DE INUNDABILIDAD PARA EL PROYECTO DE ACTUACIÓN DEL ÁREA LOGÍSTICA DE MAJARAVIQUE, TM. SEVILLA Y LA RINCONADA.



INTRODUCCIÓN.

En el presente Anexo de Climatología e Hidrología se presenta el estudio realizado para justificar la incidencia de la inundabilidad del arroyo Tamargullo sobre los suelos de la actuación urbanística de Majaravique.

El arroyo Tamargullo se encuentra canalizado en un canal hormigonado, desde la confluencia con el arroyo Buitrago hasta la desembocadura en el río Guadalquivir.

En el tramo del proyecto, la sección hidráulica está formada por un canal trapezoidal con fondo de hormigón y taludes laterales hormigonados hasta una determinada altura, siendo de tierra a continuación.

CLIMATOLOGÍA.

1. CLIMATOLOGÍA.

1.1 OBJETO Y ALCANCE.

El objeto del estudio climatológico es:

Para el estudio de la climatología se han tenido en cuenta los dos elementos climáticos más determinantes: las precipitaciones y las temperaturas, ya que determinan de forma directa las condiciones hidrológicas de escorrentía del suelo y la vegetación del área de estudio. A su vez, estos elementos son la consecuencia de la interacción de la presión atmosférica, la humedad y la temperatura del aire en sus distintas capas, la insolación, el viento, etc.

El resultado del estudio climatológico es:

- La clasificación climática de la zona.
- La determinación de los días aprovechables en la ejecución de las obras con un criterio probabilístico y basado en los datos disponibles.
- La estimación de los caudales de diseño para las obras de fabrica del drenaje natural, basado en técnicas estadísticas.

1.2 DATOS CLIMATOLÓGICOS GENERALES.

Se analizan seguidamente las principales variables climatológicas disponibles con el fin de poder establecer las características más importantes de la zona objeto de estudio y proceder a su clasificación atendiendo a los diferentes grupos climáticos existentes.

La población de Sevilla pertenece claramente al tipo asimilable al clima mediterráneo continental, cuya característica esencial es el carácter estacional e irregular de las precipitaciones, alternándose años de fuerte sequía con años en que las precipitaciones caen de forma tormentosa y provocan inundaciones. Las estaciones del área de estudio recogen una media de 600mm anuales de precipitación.

La posición geográfica de la ciudad de Sevilla determina las características de su clima mediterráneo continental: la situación en la depresión del Guadalquivir, abierta y orientada hacia el océano Atlántico, y a no mucha distancia de la costa, matizan su clima, suavizándolo. Estas características expresan con nitidez el rasgo definitorio del clima mediterráneo: una larga estación seca coincidente con el periodo calido que promueve un marcado déficit hídrico durante estos meses. Asimismo, en el clima mediterráneo las masas de aire anticiclónicas subtropicales se asientan en verano. Esto hace que en un año de sequía los efectos sean más acusados, pues si no llueve en invierno, en verano la evaporación actúa con más dureza.

Los inviernos son templados, con temperaturas nocturnas algo bajas que se compensan con temperaturas diurnas medianas.

Los veranos son muy calurosos, sobre todo durante los meses de julio y agosto, con temperaturas máximas elevadas, incluidas las nocturnas. La temperatura media anual es de unos 15°C y la amplitud térmica de 17°C, datos que ponen de manifiesto los contrastes existentes en el año.

Las precipitaciones son moderadas, alcanzando unos 600 mm de promedio anual y registrándose en su mayoría entre los meses de octubre y abril, ambos inclusive, con un máximo en el mes de diciembre. La nieve es un fenómeno muy raro en Sevilla, siendo muy pocas las ocasiones registradas en las que se ha recogido este tipo de precipitación.

No se supera el día de tormenta por mes, siendo relativamente uniforme a lo largo del año la probabilidad de tormenta. Hay que destacar las tormentas veraniegas debidas al aire frío recalentado y cargado de humedad del Valle del Guadalquivir, en el que la entrada de aire frío provoca una rápida precipitación.

A partir de estos datos, se puede observar como el invierno es la estación más lluviosa, seguida del otoño y de la primavera, y por último del verano. En los meses de Noviembre y Diciembre es donde se concentran las mayores precipitaciones. En Julio es el mes cuando las lluvias son más reducidas.





1.3 ESTUDIO DE PRECIPITACIONES CARACTERÍSTICAS.

Los datos de las precipitaciones características proceden fundamentalmente de las Estaciones Meteorológicas del Aeropuerto de Sevilla y de la base de Tablada, y de la Estación de La Rinconada situada en la Azucarera. La primera de ellas se encuentra más próxima a la traza del Proyecto, y dispone de buenas condiciones de registro anual.

La Estación de Tablada también dispone de datos fiables y continuos. También se utilizarán los datos de las estaciones de La Rinconada (Azucarera) que sean significativos respecto a las dos anteriores.

En el cuadro adjunto se presentan las características más importantes de dicha estación y de las estaciones pluviométricas relevantes cercanas a la estudiada.

| NÚMERO DE LA ESTACIÓN | NOMBRE DE LA ESTACIÓN | LA PERÍODO DISPONIBLE | AÑOS COMPLETOS | PRECIPITACIÓN MEDIA (mm) | | |
|-----------------------|------------------------------------|-----------------------|----------------|--------------------------|----------------|-----------|
| | | | | ANUAL | MENSUAL MÁXIMA | MES |
| 5743 | ALCALÁ DEL RÍO 'CENTRAL ELÉCTRICA' | 1935/2001 | 30 | 543,0 | 399,6 | DICIEMBRE |
| 5745 | LA RINCONADA 'AZUCARERA' | 1932/1994 | 23 | 593,0 | 368,0 | DICIEMBRE |
| 5783 | SEVILLA 'AEROPUERTO' | 1951/2001 | 49 | 577,7 | 361,1 | NOVIEMBRE |
| 5790 | SEVILLA 'TABLADA' | 1922/2001 | 55 | 576,0 | 395,2 | DICIEMBRE |

A continuación, se presenta un mapa con la identificación de las Estaciones Pluviométricas seleccionadas, objeto del proyecto.





De acuerdo con los datos disponibles en las Estaciones Meteorológicas, se han analizado las siguientes variables climáticas, cuyas características se establecen en los siguientes apartados:

1.3.1 Precipitación media anual.

Las precipitaciones medias anuales oscilan entre un mínimo de 543,0mm en la Estación Meteorológica de Alcalá del Río 'Central Eléctrica' y un máximo de 593,0mm en La Rinconada Azucarera.

El número de días en los que se han registrado precipitaciones varía de los 53,4 de La Rinconada 'Azucarera' a los 79,2 de Sevilla 'Aeropuerto'. La media del conjunto de estaciones seleccionadas es de 71,3 días al año.

Prácticamente en ningún caso la media mensual de días de precipitación alcanza un valor superior a 10 para ninguna de las estaciones estudiadas, siendo los meses de junio, julio, agosto y septiembre los que proporcionan los registros más bajos.

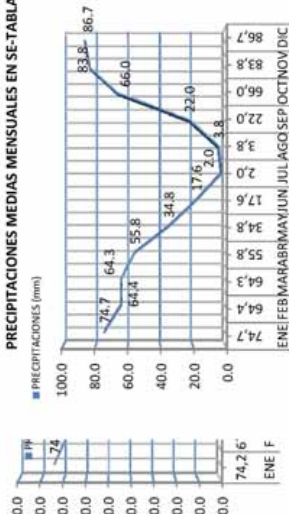
La estimación de los días hábiles que pueden presentar problemas para la ejecución de las obras debido a fuertes precipitaciones, se ha realizado despreciando aquellas precipitaciones diarias que resulten inapreciables, causen ligeros problemas en el ritmo de obra, o bien se produzcan en días no hábiles. En concreto, se va a adoptar una estimación del 60% de los días de precipitación mayor de 10 mm, exactamente 19,9 días al año.

1.3.2 Precipitaciones medias mensuales.

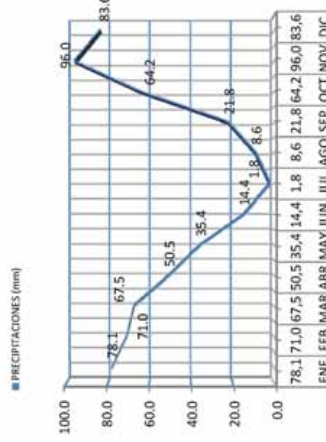
En cuanto a las precipitaciones medias mensuales máximas suelen producirse entre los meses de noviembre y diciembre, destacando este último mes, donde en la estación de Alcalá del Río 'Central Eléctrica' se registraron 543mm, siendo el valor máximo de las 4 estaciones.

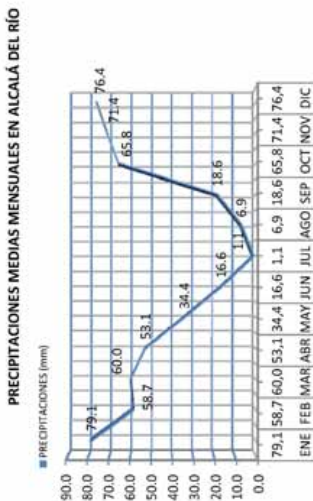
En las siguientes Estaciones Meteorológicas analizadas se han determinado las precipitaciones medias mensuales, obteniéndose los resultados adjuntos, para las estaciones de Aeropuerto de Sevilla, La Rinconada (azucarera), Tablada y Alcalá del Río.

PRECIPITACIONES MEDIAS MENSUALES EN TABLAADA



PRECIPITACIONES MEDIAS MENSUALES EN AZUCARERA





1.3.5 Números de días de precipitación > 1mm

(Nº días/mes por cantidad de agua recogida/día mayor a 1mm).

| Estación | Oct. | Nov. | Dic. | Ene. | Feb. | Mar. | Abr. | May. | Jun. | Jul. | Agosto | Sep. | Año |
|-----------------|------|------|------|------|------|------|------|------|------|------|--------|------|------|
| 5790 | 5,4 | 6,3 | 7,6 | 7,4 | 6,7 | 5,6 | 5,8 | 3,7 | 1,6 | 0,2 | 0,4 | 2,1 | 52,8 |
| Sevilla Tablada | | | | | | | | | | | | | |

Se observa como más del 78% de los días de precipitación apreciable esta supera los 10mm, sin embargo no llegan al 30% los días en los que esta supera los 10mm.

1.3.6 Número de días de precipitación > 10 mm

| Estación | Oct. | Nov. | Dic. | Ene. | Feb. | Mar. | Abr. | May. | Jun. | Jul. | Agosto | Sep. | Año |
|-----------------|------|------|------|------|------|------|------|------|------|------|--------|------|------|
| 5790 | 2,1 | 3,0 | 3,3 | 3,2 | 2,2 | 2,0 | 1,9 | 1,1 | 0,5 | 0,0 | 0,1 | 0,5 | 19,9 |
| Sevilla Tablada | | | | | | | | | | | | | |

1.3.7 Números de días de precipitación > 30 mm

| Estación | Oct. | Nov. | Dic. | Ene. | Feb. | Mar. | Abr. | May. | Jun. | Jul. | Agosto | Sep. | Año |
|-----------------|------|------|------|------|------|------|------|------|------|------|--------|------|-----|
| 5790 | 0,3 | 0,7 | 0,7 | 0,8 | 0,4 | 0,1 | 0,2 | 0,1 | 0,1 | 0,0 | 0,1 | 0,0 | 3,5 |
| Sevilla Tablada | | | | | | | | | | | | | |

1.3.3 Precipitaciones máximas en 24 horas.

Para la determinación de los valores extremos de precipitación se han utilizado las mismas estaciones pluviométricas consideradas para la determinación de las precipitaciones totales.

La precipitación máxima en un día registrado en la estación de Sevilla 'Aeropuerto' es de 109,3mm acaecida en noviembre de 1.997.

1.3.4 Número de días con precipitación.

En la tabla adjunta se muestran los valores medios para la estación de Tablada, utilizada en este caso por su mayor fiabilidad en registros continuos.

NUMEROS DE DÍAS DE NIEVE

| Estación | Oct. | Nov. | Dic. | Ene. | Feb. | Mar. | Abr. | May. | Jun. | Jul. | Agosto | Sep. | Año |
|-----------------|------|------|------|------|------|------|------|------|------|------|--------|------|-----|
| 5790 | 0,0 | 0,0 | 0,0 | 0,0 | 0,0 | 0,0 | 0,0 | 0,0 | 0,0 | 0,0 | 0,0 | 0,0 | 0,0 |
| Sevilla Tablada | | | | | | | | | | | | | |





**ESTUDIO DE INUNDABILIDAD PARA EL PROYECTO DE ACTUACIÓN DEL ÁREA LOGÍSTICA
DE MAJARAVIQUE, TM. SEVILLA Y LA RINCONADA.**

Agencia Pública de Puertos de Andalucía
CONSEJERÍA DE FOMENTO Y VIVIENDA



b) Días de granizo.

El número de días de granizo al año es de 0,9 alcanzando el máximo el mes de abril con 0,3.

NÚMEROS DE DÍAS DE GRANIZO

| Estación | Oct. | Nov. | Dic. | Ene. | Feb. | Mar. | Abr. | May. | Jun. | Jul. | Agosto | Sep. | Año |
|-----------------------|------|------|------|------|------|------|------|------|------|------|--------|------|-----|
| 5790: Sevilla Tablada | 0,1 | 0,1 | 0,1 | 0,1 | 0,1 | 0,1 | 0,3 | 0,3 | 0,0 | 0,0 | 0,0 | 0,0 | 0,9 |
| | | | | | | | | | | | | | |

c) Días de escarcha:

La distribución de los días de escarcha sigue la misma tendencia que los anteriores fenómenos, siendo la media del año de 12,8 días.

1.3.9 Tormentas.

De acuerdo con los datos disponibles en las Estaciones Meteorológicas se puede estimar que es probable se presenten fenómenos tormentosos que pudiesen alterar totalmente la ejecución de las obras durante cuatro (4) días al año, entre los meses que van de abril a junio, así como en septiembre (suponen el 70% de la media anual de las estaciones).

NÚMEROS DE DÍAS DE TORMENTA

| Estación | Oct. | Nov. | Dic. | Ene. | Feb. | Mar. | Abr. | May. | Jun. | Jul. | Agosto | Sep. | Año |
|-----------------------|------|------|------|------|------|------|------|------|------|------|--------|------|------|
| 5790: Sevilla Tablada | 1,5 | 0,8 | 0,7 | 0,8 | 0,5 | 0,8 | 1,7 | 1,1 | 1,0 | 0,3 | 0,5 | 1,1 | 10,8 |
| | | | | | | | | | | | | | |

1.3.10 Días de niebla, rocío y escarcha.

a) Días de niebla:

El número medio de días de niebla al año es de 41,3 siendo entre los meses de octubre a abril en donde más se presenta.

NÚMEROS DE DÍAS DE NIEBLA

| Estación | Oct. | Nov. | Dic. | Ene. | Feb. | Mar. | Abr. | May. | Jun. | Jul. | Agosto | Sep. | Año |
|-----------------------|------|------|------|------|------|------|------|------|------|------|--------|------|------|
| 5790: Sevilla Tablada | 3,5 | 4,4 | 4,4 | 4,9 | 4,2 | 4,5 | 4,5 | 3,4 | 2,1 | 1,7 | 1,5 | 2,7 | 41,3 |
| | | | | | | | | | | | | | |

b) Días de rocío:

El número medio de días de rocío al año es de 66 centrándose estos desde Noviembre a Marzo.

NÚMEROS DE DÍAS DE ROCÍO

| ESTACIÓN | ENE | FEB | MAR | ABR | MAY | JUN | JUL | AGO | SEP | OCT | NOV | DIC | TOTAL ANUAL |
|---------------|------|------|------|------|------|------|------|------|------|------|------|------|-------------|
| SE-AEROPUERTO | 10,0 | 12,1 | 14,7 | 16,5 | 19,6 | 23,7 | 27,3 | 24,8 | 19,8 | 15,0 | 11,9 | 18,6 | |
| LA RINCONADA | 11,0 | 12,2 | 14,7 | 16,5 | 19,7 | 24,4 | 26,1 | 27,7 | 24,6 | 19,5 | 14,6 | 11,5 | 18,7 |

ANEXO DE CLIMATOLOGÍA E HIDROLOGÍA





1.4.2 Temperaturas mínimas.

La temperatura mínima absoluta alcanzada en la estación de Sevilla 'Aeropuerto' es de -4,8°C, siendo la media de las mínimas absolutas del mes más frío (diciembre) de 3,1°C, y la media de las mínimas medias 8,9°C. Asimismo, el número medio de días al año con temperatura mínima < 0°C se sitúa en 5,4.

1.4.3 Temperaturas máximas.

La temperatura máxima absoluta alcanzada en Sevilla 'Aeropuerto' es de 46,6°C, siendo la media de las máximas absolutas del mes más caloroso (Julio) de 41,4°C y la media de las máximas medias, en agosto, de 35,3°C.

Por otro lado, el número medio anual de días en que la temperatura máxima es mayor de 30°C, es de 110,5 días.

Teniendo en cuenta que esta variable afecta sólo al hormigonado y que existen medidas técnicas no muy costosas para poder seguir con el proceso de curado o puesta en obra del hormigón, no se contempla, sin embargo, la posibilidad de interrupción total del hormigonado por razones de temperaturas máximas.

1.4.4 Número de días con temperaturas máximas superiores a 30°C y mínimas inferiores a 0°C y -5°C.

Para la Estación Meteorológica del Aeropuerto de Sevilla se han estudiado el número de días con temperaturas máximas superiores a 30°C y temperaturas mínimas inferiores a 0° y -5°C. Los gráficos de evolución anual y los cuadros resumen con los valores medios de todas las variables consideradas, se presentan a continuación.

ESTACIÓN N° 5783, SEVILLA 'AEROPUERTO'

| | ENE | FEB | MAR | ABR | MAY | JUN | JUL | AGO | SEP | OCT | NOV | DIC | TOTAL |
|---------------------------|-----|-----|-----|-----|-----|------|------|------|------|-----|-----|-----|-------|
| Nº DÍAS TEMPERATURA >30°C | 0,0 | 0,0 | 0,1 | 1,4 | 7,6 | 17,5 | 28,5 | 29,0 | 20,9 | 5,4 | 0,2 | 0,0 | 110,5 |
| Nº DÍAS TEMPERATURA <0°C | 2,5 | 1,1 | 0,2 | 0,0 | 0,0 | 0,0 | 0,0 | 0,0 | 0,0 | 0,0 | 0,1 | 1,5 | 5,4 |
| Nº DÍAS TEMPERATURA <-5°C | 0,0 | 0,0 | 0,0 | 0,0 | 0,0 | 0,0 | 0,0 | 0,0 | 0,0 | 0,0 | 0,0 | 0,0 | 0,06 |

1.4.5 Número de días con temperatura media inferior a 0°C y superior a 30°C.

En la Estación del Aeropuerto se superan los 30°C de temperatura una media de 110,5 días al año durante los 28 años de datos, destacando los meses de julio, agosto y septiembre. El número de días medio del año con menos de 0°C de temperatura es de 5,4 días, destacando los meses de diciembre y enero.

ESTACIÓN N° 5783, SEVILLA 'AEROPUERTO'

Se han analizado las siguientes oscilaciones térmicas:

- Oscilación media máxima mensual.

- Oscilación de las temperaturas medias extremas.





**ESTUDIO DE INUNDABILIDAD PARA EL PROYECTO DE ACTUACIÓN DEL ÁREA LOGÍSTICA
DE MAJARAVIQUE, TM. SEVILLA Y LA RINCONADA.**

Agencia Pública de Puertos de Andalucía
CONSEJERÍA DE FOMENTO Y VIVIENDA



- Oscilación Verano-Invierno de las temperaturas medias mensuales.

Se ha considerado el verano con los meses más calurosos formado por los meses de Julio, Agosto y Septiembre, mientras que el invierno que representa los meses más fríos se ha considerado formado por Diciembre, Enero, y Febrero. Las principales oscilaciones de temperatura fueron las siguientes, según se extrae de la tabla adjunta:

- La oscilación media máxima mensual en la Estación de Aeropuerto es de 12,7°C.
- La oscilación media extrema mensual en la Estación de Aeropuerto es de 23,3°C.
- La máxima oscilación verano-invierno fue de 35,9°C en el año 2.000.
- La mínima oscilación verano-invierno fue de 19,4°C en el año 1.995.

| ESTACIÓN TABLAADA PERÍODO 1980-1990 | ENE | FEB | MAR | ABR | MAY | JUN | JUL | AGO | SEP | OCT | NOV | DIC | MEDIA |
|--|------|------|------|------|------|------|------|------|------|------|------|------|-------|
| | 79,0 | 75,0 | 68,0 | 65,0 | 59,0 | 56,0 | 51,0 | 52,0 | 58,0 | 67,0 | 76,0 | 79,0 | 65,4 |

Tabla 3: Humedad relativa (Fuente: AGENCIA ESTATAL DE METEOROLOGÍA)

1.6 INSOLACION.

La insolación es muy elevada, con un 64% del total teórico de 4.454 horas/año.

En Julio estos porcentajes representan en torno al 83% de la teórica, mientras que en Diciembre se registra el mínimo anual con unas 155 horas de sol / mes (52% de la insolación teórica).

ESTACIÓN N° 5783, SEVILLA 'AEROPUERTO'

| ESTACIÓN SE-AEROPUERTO | ENE | FEB | MAR | ABR | MAY | JUN | JUL | AGO | SEP | OCT | NOV | DIC | MEDIA |
|------------------------|-------|-------|-------|-------|-------|-------|-------|-------|-------|-------|-------|-------|-------|
| | 159,0 | 163,0 | 209,0 | 228,0 | 297,0 | 321,0 | 369,0 | 344,0 | 257,0 | 205,0 | 162,0 | 155,0 | 239,1 |

Tabla 4: Horas de sol (Fuente: AGENCIA ESTATAL DE METEOROLOGÍA)

1.7 VIENTOS.

El régimen de vientos dominante en Sevilla es de componente NE-SW a lo largo de todo el año, coincidiendo con la orientación de la apertura del valle del Guadalquivir hacia el Atlántico, destacando los de componente Suroeste en verano y los de componente Noreste en invierno. En invierno, la frecuencia dominante corresponde a los vientos del noreste motivado, bien por la canalización a lo largo del Valle del viento oriental del anticiclón ibérico o centroeuropeo, bien por los «coleoletazos» de aire frío tras el paso de una borrasca. En verano, los vientos del Suroeste predominan debido a su procedencia europea y por ser atraídos, en consecuencia, hacia el interior por la depresión térmica veraniega y, sobre todo, por tener su origen en el Anticiclón Subtropical de las Azores.

Con respecto a la velocidad de los vientos, éstos son normalmente débiles, encontrándose entre los 6 y 29Km/h, siendo más fuertes cuanto más constante sea el viento. En algunas ocasiones supera los 20 Km/h, rara vez, los 50 Km/h. Las mayores velocidades se corresponden a los vientos dominantes, sobre todo a la componente Suroeste en primavera y verano. Las calmas

HUMEDAD RELATIVA (%)

AÑO DE CLIMATOLOGÍA E HIDROLOGÍA

205

9





**ESTUDIO DE INUNDABILIDAD PARA EL PROYECTO DE ACTUACIÓN DEL ÁREA LOGÍSTICA
DE MAJARAVIQUE, TM, SEVILLA Y LA RINCONADA.**



superan, sin embargo, a cualquier dirección del viento, aunque son más frecuentes en invierno, debido a la mayor estabilidad del aire frío.

La inexistencia de vientos fuertes, el elevado porcentaje de calmas y la especial configuración geográfica de la ciudad, constituyen unas características propias para la formación de gradientes verticales estables, así la inversión térmica. En estas condiciones los movimientos de las masas de aire se ven dificultados, y por tanto la ventilación de la zona y la difusión de los contaminantes urbanos, propiciándose así situaciones potencialmente peligrosas para la salud pública, especialmente en áreas urbanas próximas a focos emisores de contaminación.

Estas características condicionan el régimen de los cauces y la vegetación natural instalada.

RACHAS MÁXIMAS DE VIENTO

| ESTACIÓN SE- TABLA DA | ENE | FEB | MAR | ABR | MAY | JUN | JUL | SEP | OCT | NOV | DIC | MEDIA | |
|--------------------------|-------|-------|-------|-------|-------|-------|-------|-------|-------|-------|-------|-------|-------|
| PERÍODO 1980-1990 | 115,0 | 140,0 | 129,0 | 155,0 | 181,0 | 180,0 | 130,0 | 120,0 | 100,0 | 113,0 | 102,0 | 112,0 | 131,4 |

Tabla 5. Rachas máximas de viento [Fuente AGENCIA ESTATAL DE METEOROLOGÍA]

1.8 CLASIFICACIÓN CLIMÁTICA.

El objetivo de la clasificación del clima es establecer los tipos climáticos (conjuntos homogéneos de condiciones climáticas), con los cuales definir regiones climáticas y proceder así a caracterizar el área donde se encuadra la zona objeto del estudio. Una gran mayoría de los índices, diagramas y clasificaciones climáticas usuales hacen referencia a la influencia del clima sobre las comunidades vegetales, son los límites fitoclimáticos.

Teniendo en cuenta los objetivos del presente estudio y el conjunto de datos climáticos disponibles, se propone la elaboración de los siguientes índices, climodiagramas y clasificaciones climáticas, en las estaciones con datos suficientes:

INDICES CLIMATICOS:

- Índice termopluviométrico de Dantin-Revenga.
- Clasificación climática de Papadakis.

1.8.1 Índice termopluviométrico de dantin-revenga.

Se define con la fórmula siguiente:

AÑEO DE CLIMATOLOGÍA E HIDROLOGÍA

$$I = \frac{100 t}{P}$$

Las variables tienen la misma valoración que en el índice de aridez.

Una vez calculado el índice, la aridez se expresa de acuerdo con la tabla siguiente:

| INDICE TERMOPLUVIOMÉTRICO | DESIGNACIÓN | | |
|---|-------------|------|-----|
| | 0,2 | 2,3 | >6 |
| Sevilla 'Aeroporto' (5783) y La Rinconada 'Azucarena' (5745A) | 593,0 | 18,6 | 3,1 |
| Zona Húmeda | | | |
| Zona Semárida | | | |
| Zona Arida | | | |
| Zona Subdesértica | | | |

A continuación se aplica a la estación más próxima a la traza:

INDICE TERMOPLUVIOMÉTRICO

| ESTACIÓN | P(mm) | T(°C) | I | ZONA |
|---|-------|-------|-----|-------|
| Sevilla 'Aeroporto' (5783) y La Rinconada 'Azucarena' (5745A) | 593,0 | 18,6 | 3,1 | ARIDA |

Como podemos apreciar, la zona se catalogaría como arida, aunque próximos a la frontera con una zona de tipo semárido.

1.8.2 Clasificación climática de Papadakis.

La clasificación climática de Papadakis se considera como una caracterización agroecológica que utiliza variables climáticas basadas en valores extremos, al estimarse que son más representativas y restrictivas para determinar las respuestas óptimas de los distintos cultivos.

Este sistema de clasificación se incorpora al presente anexo porque permite establecer el escenario cultural de un área dada, y fundamentalmente la utilización agraria de la misma en base a parámetros meteorológicos relativamente sencillos. El sistema permite definir la naturaleza y posibilidades de un clima en términos de los cultivos que en él pueden plantarse a escala comercial.





**ESTUDIO DE INUNDABILIDAD PARA EL PROYECTO DE ACTUACIÓN DEL ÁREA LOGÍSTICA
DE MAJARAVIQUE, TM, SEVILLA Y LA RINCONADA.**



Los umbrales fijados para caracterizar los tipos climáticos responden a los límites naturales de determinados cultivos. Resultan relevantes así el "frío invernal", el "calor estival" y la "andén" distribuida a lo largo del año. Con estos parámetros se definen los tipos de invierno y de verano, y los regímenes térmicos y de humedad.

a) **Tipos de invierno.**

El Tipo de Invierno se establece en base a tres parámetros meteorológicos básicos: la temperatura media de las mínimas absolutas del mes más frío, la temperatura media de las mínimas del mes más frío, y la temperatura media de las máximas del mes más frío.

De esta forma, se definen seis tipos de invierno fundamentales: Equatorial, Tropical, Citrus, Avena, Triticum y Primavera, ordenados en sentido de rigor invernal creciente.

TIPOS DE INVIERNO Y SUS LÍMITES EN TÉRMINOS DE TEMPERATURAS

| TIPO DE INVIERNO | Temperatura media de las mínimas absolutas del mes más frío (1) | Temperatura media de las mínimas medias del mes más frío (2) | Temperatura media de las máximas del mes más frío (3) |
|-----------------------|---|--|---|
| CITRUS (C) | 7º a 2,5º | >de -4º | 10º a 21º |
| AV (Cálido) | -2,5º a -1º | >de -4º | >de 10º |
| AV (Fresco) | < de -1º | | 5º a 10º |
| TRITICUM | | | > de 5º |
| Ty (trigo-avena) | -1º a -29º | | |
| Ti (Cálido) | < de -29º | | 0º a 15º |
| Ti (Fresco) | < de -29º | | < de 0º |
| ESTACIONES 5783-5745A | 3,1 | 5,0 | 18,6 |

De acuerdo con la tabla anterior, podemos considerar que dicha zona tiene un tipo de verano tipo Algodón más cálido (G).

c) **Régimen Térmico**

En resumen, la equivalencia de los regímenes de temperatura con los tipos de invierno y verano, según Papadakis es la siguiente:

| RÉGIMEN TÉRMICO | TIPO INVIERNO | TIPO VERANO | ESTACIÓN |
|-----------------|---------------|-------------|-----------------------------|
| Su (Subropical) | Ci | G | Alcalá del Río-La Rinconada |



d) Regimen de humedad.

El Régimen de Humedad se define fundamentalmente, por los períodos de sequía, su duración, intensidad y situación en el ciclo anual.

Para establecer los períodos de sequía se utiliza el balance de agua anual y mensual, que se realiza mes a mes, comparando la evapotranspiración mensual con la pluviometría, incrementada en las disponibilidades de agua del suelo procedentes del mes anterior y que las plantas pueden utilizar. Basándose en el Índice de Humedad Mensual, IHM, se distinguen tres situaciones: mes húmedo, mes seco y mes intermedio.

El cálculo de la evapotranspiración se realiza por el sistema de Thornthwaite, considerando una reserva de agua del suelo equivalente a 100mm.

Además del período seco, para establecer el régimen de humedad de un lugar o áreas dados, se utiliza el Índice "Irridia de lavado", (Ln), que resulta de la acumulación de las diferencias entre la pluviometría y evapotranspiración de los meses húmedos y el Índice de Humedad Anual, (IHA), que se obtiene dividiendo la pluviometría anual por la evapotranspiración anual.

Ambos índices están relacionados con el comportamiento hidrico del perfil del suelo, y consecuentemente, con la fisionomía de la vegetación.

La combinación de estos tres criterios permite definir seis regímenes de humedad fundamentales: Húmedo, Desértico, Mediterráneo, Monzónico, Estepario e Isóhigro Semiarido. Estos, a su vez, se subdividen en varios tipos según las características de sus períodos secos y su distribución en el ciclo anual.

e) Tipo Climático.

Teniendo en cuenta el régimen térmico y el régimen de humedad, Papadakis propone 10 tipos o grupos climáticos fundamentales.

La región donde se ubica el ámbito de estudio según lo anterior, pertenece a un tipo climático Mediterráneo Subtropical, como se resume a continuación.

Resumen:

En la figura adjunta se presentan los planos de Sevilla donde se presentan los tipos de verano, invierno, regímenes de humedad y zonas agroclimáticas según Papadakis, mientras que en el cuadro adjunto se resumen:





HIDROLOGÍA:

1. CARACTORIZACION HIDROLOGICA DEL AMBITO DEL PROYECTO.

Los arroyos Tamarguillo, Majaravique y Almonazar cruzan transversalmente el ámbito del proyecto, de este a oeste y desaguan en el río Guadalquivir.

En el presente Anexo se analiza la hidrología del encauzamiento del arroyo Tamarguillo.

El arroyo Majaravique es una pequeña escorrentía tributaria del arroyo Almonazar, entre las carreteras A-8003 y la carretera de San José de la Rinconada A-8002.

La zona norte del proyecto, en término de La Rinconada, pertenece a la cuenca del arroyo Almonazar, afluente del río Guadalquivir con dirección de Este a Oeste.

LA CUENCA DEL ENCAUZAMIENTO DEL ARROYO TAMARGUILLO:

Dentro del tramo interurbano del proyecto, la vertiente natural de las aguas de escorrentía pertenece a la cuenca vertiente del arroyo encauzado del Tamarguillo, resultado de la confluencia de los arroyos Buitrago y Miraflores, en su mayor parte dentro del Término Municipal de Sevilla.

La cuenca conjunta de estos arroyos tiene su directriz principal marcada en sentido Este-Oeste, con nacimiento en la zona de Los Alcores. La concentración de los cauces se produce a la altura de la Barrameda de Valdezorras, en Sevilla.

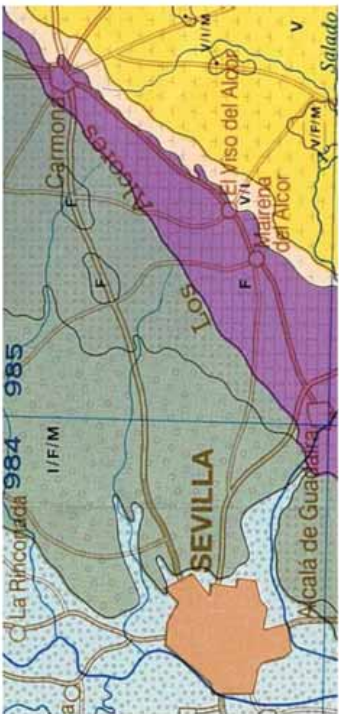
La cuenca presenta una geografía ondulada, con una suave elevación en cabecera (El Alcor), y grandes llanuras en la zona baja de la vega del Guadalquivir.

El régimen de lluvias está caracterizado a través de la estación meteorológica del Aeropuerto de Sevilla, de gran fiabilidad y longevidad de registros. La dirección de los cauces Este-Oeste empuja a los temporales del SW por vientos de dirección contraria a la corriente del agua. Ello es importante porque no se forma el temible efecto embudo, cuando coincide la dirección de las lluvias y la de los ríos. Las tormentas extremas son atlánticas y vienen impulsadas por vientos del SW, como es habitual en toda esta zona.

Por su repercusión directa en el proyecto, se estudia a continuación la cuenca del Tamarguillo, por las afectaciones de la nueva pasarela sobre SE-20 en el encauzamiento del arroyo.

La autovía SE-020 forma parte de la coronación de la sección encauzada en la margen derecha, (cota + 13,50m) y se encuentra situada a una cota superior respecto a la margen izquierda, cuyo

ANEXO DE CLIMATOLOGÍA E HIDROLOGÍA



la zona de los depósitos miocenos y por influencia del río Guadalquivir en las crecidas. La base impermeable del acuífero la constituye la formación de margas azules del Guadalquivir.

El sentido de flujo del agua subterránea, en el área de influencia de la carretera es hacia el río Guadalquivir.

La profundidad del nivel freático en toda la zona es bastante uniforme, presentándose a una media inferior a los diez metros, aunque en las zonas más próximas al río se encuentra más superficial, en torno a los tres metros. Las oscilaciones de nivel estacionales son pequeñas (0 a 2 m) ya que se encuentra hidráulicamente conectado al río Guadalquivir.

Es difícil establecer un balance en un acuífero de estas características, muy influido por el propio río Guadalquivir y los regímenes de dotaciones impuestos por las pluviometrías y aportaciones anuales.

2. METODOLOGÍA MÉTODO RACIONAL.

En la cabecera de las cuencas destaca la banda morada de Alfsoles (F) con trama callada correspondiente al Mioceno Inferior. A esta franja sigue otra de Alfsoles con la capa de terrenos sedimentarios compuestos por arcillas arenosas, arenas, gravas y conglomerados, con costas calcáreas los más orientales. Las indicaciones / M corresponden a Inceptisoles y Molisoles, en los terrenos de vega con facies subhorizontal. Por último, la banda celeste clara de terrenos fluviolacustres correspondientes a las vegas bajas del Guadalquivir.

Aunque por su gran escala no aparezcan los cauces que nos ocupan, se observa la mancha gris del Cuaternario aluvial del Guadalquivir en todo el entorno de la capital y unos afloramientos terciarios hacia el Este. El más próximo corresponde al Plioceno, formado por conglomerados, arenas, lutitas y calizas, fluviales o lacustres. Aparece tintado de amarillo claro con círculos rojos. El amarillo más oscuro corresponde a un Mioceno Superior.

Todo este panorama contribuye a formar una imagen de la cuenca bastante precisa: terrenos de infiltración lenta (tal vez con gran capacidad de absorción, pero no en tormentas) y pendientes bajas o moderadas que son capaces de devolver a los cauces la mayor parte de la precipitación incidente aunque con unas velocidades de propagación lentas, auspiciadas tanto por la falta de pendiente de los cauces como por la inundación de sus niberas en un episodio de avenida.

1.2 HIDROLOGÍA SUBTERRÁNEA.

La zona de estudio se sitúa justamente sobre el Sistema Acuífero nº 28 Sevilla-Carmona, que se encuentra situado en la margen izquierda del río Guadalquivir. Este acuífero está formado por las calizarenitas del Mioceno superior más al este de la zona de estudio, y diferentes aluviales de las terrazas cuaternarias del Guadalquivir. Ambas unidades se encuentran conectadas hidráulicamente, produciéndose la recarga por infiltración del agua de lluvia fundamentalmente en

Mediante métodos hidrometeorológicos se determinará el hidrograma completo de avenida del arroyo Tamarguillo, formado por la confluencia de los arroyos Buitrago y Miraflores, con la determinación de volúmenes, de retrasos, de tiempos, etc, para obtener conclusiones que involucran no sólo los caudales, sino la altura de la lámina de agua y los tiempos de concentración.

Para realizar los cálculos hidrológicos se ha utilizado el método Hidrometeorológico, basado en la reproducción del proceso de formación de la crecida por medio de un modelo matemático.

Partiendo de una lluvia supuesta de intensidad dada se expresa primero su transformación en escorrentía y luego el transporte y acumulación de caudales a lo largo del cauce. El análisis es más completo y lógico que la extrapolación probabilística, pues sigue más de cerca el fenómeno físico, y aunque precisa de hipótesis sobre las precipitaciones máximas y sobre los parámetros hidrológicos, éstas pueden ser más fundamentadas que dicha extrapolación.

De acuerdo con dicho método, y considerando un aguacero ideal de duración indefinida, con intensidad de lluvia E constante, el caudal Q en el punto de desague solo acusa al principio la presencia del agua caída en sus proximidades, creciendo paulatinamente hasta alcanzar un valor de equilibrio:

$$Q = E \cdot A$$

Siendo A el área de la cuenca y siendo el terreno impermeable.



**ESTUDIO DE INUNDABILIDAD PARA EL PROYECTO DE ACTUACIÓN DEL ÁREA LOGÍSTICA
DE MAJARAVIQUE, TM, SEVILLA Y LA RINCONADA.**



En otro caso, la intensidad de lluvia neta E no es igual a la intensidad total I, verificándose

$$E/I = C < I$$

En esta expresión, C es el Coeficiente de Escorrentía.

El caudal máximo será el de equilibrio.

$$Q = \frac{C \cdot I \cdot A}{3.6}$$

Midiendo los caudales en m³/s, las intensidades en mm/h y las áreas en km².

Suponiendo un aguacero de duración indefinida, será suficiente un tiempo determinado para alcanzar un máximo igual al caudal de equilibrio. Este tiempo, conocido como Tiempo de Concentración, puede definirse como el transcurrido entre el final del aguacero y el del hidrograma superficial.

Se suele considerar que el máximo caudal es producido por la máxima intensidad de lluvia neta (C*) que pueda producirse durante un lapso igual al del tiempo de concentración. Por tanto, el cálculo de los caudales punta en el método racional se reduce a los valores extremos de la intensidad y del coeficiente de escorrentía C, en tiempos de duración iguales al de concentración de la cuenca.

La formulación que se va a emplear es la propuesta por Témez, que modifica la versión contenida en la Instrucción 5-2-I C, para ampliar su campo de acción a cuencas de hasta 2.000 Km² y tiempos de concentración de hasta 24 horas.

2.1 ANÁLISIS Y TRATAMIENTO DE LOS DATOS PLUVIOMÉTRICOS.

Los estudios pluviométricos tienen por finalidad la determinación de la lluvia correspondiente a un determinado período de retorno y de una determinada duración.

La definición de la lluvia para una duración dada debe incluir no sólo la cantidad total, sino también su distribución temporal. El tratamiento conjunto de estos factores es complejo y el método propuesto sigue los siguientes pasos:



- Estimación en un punto de la cantidad de lluvia, de duración determinada directamente o a partir de valores obtenidos para otra duración considerada de referencia.

- Reducción de los valores puntuales anteriores en función del tamaño de la cuenca para considerar el efecto de no simultaneidad de lluvias y obtener lluvias areales.
- Determinación de la distribución temporal de la lluvia a lo largo de la duración considerada, si el método hidrológico así lo requiere; este es el caso del hidrograma unitario.

2.2 CANTIDAD TOTAL DE LLUVIA EN UN PUNTO.

La cantidad total de lluvia suele abordarse mediante el análisis estadístico de los datos registrados en las estaciones pluviométricas de la zona, expresando normalmente los resultados de forma gráfica como isoyetas de un determinado período de retorno, o mediante polígonos de Thiessen.

La situación de la región, con una inmensa mayoría de estaciones pluviométricas que sólo registran lluvias diarias, hace que habitualmente sea ésta la duración utilizada para la obtención de isoyetas o elementos similares.

Las metodologías a emplear suelen utilizar modelos de series anuales de máximos y métodos paramétricos que utilizan diversas leyes de distribución, cuyos parámetros son ajustados a partir de los datos existentes.

Como modelos más interesantes se citan los siguientes:

- Modelo GEV (Valores Extremos Generalizados).
- Modelo LP3 (Log-Pearson, tipo III)
- Gumbel.

El modelo universalmente aceptado para las máximas precipitaciones anuales es el de Gumbel, que tiene la siguiente expresión:

$$F(x) = e^{-e^{\Phi(x)}}$$

Siendo:

x = valor de la variable
F (x) = probabilidad con que el valor de 'x' no es superado

La función $\Phi(x)$ es de la forma:



Siendo:

x = valor de la variable aleatoria

\bar{x} = valor medio de la serie de datos

S_x = desviación típica de la serie de datos

y_n = valor medio de una distribución límite de Gumbel

s_n = desviación típica de un distribución límite de Gumbel

Conocidos los valores anteriores se obtiene una relación entre " x " y " T " que permite, fijado uno, conocer el otro inmediatamente.

En el caso de España, la gran variabilidad del clima y la orografía del territorio aconsejan determinar los valores de x a partir de valores prefijados del período de retorno T .

A partir de la expresión:

$$T = \frac{1}{1 - F(x)} = \frac{1}{1 - e^{-\phi}}$$

Se obtiene, despejando:

$$\phi(\psi(x)) = \log_e \cdot \log_e \cdot \frac{1}{T}$$

Igualando los valores de (x) y despejando el valor de " x " se obtiene el valor de la precipitación máxima en 24 horas, para un período de retorno determinado.

$$x_T = \bar{x} + \frac{\sigma_x}{s_n} \left(-\log_e \cdot \log_e \cdot \frac{1}{T-1} - y_n \right) = \bar{x} + \frac{\sigma_x}{s_n} (\psi(x) - y_n)$$

Los valores de y_n y s_n se reflejan en la tabla que aparece en la página siguiente:

| AÑOS DE LA SERIE (N) | Y _N | ΣN |
|----------------------|----------------|------------|
| 10 | 0.4967 | 0.9573 |
| 11 | 0.4996 | 0.9676 |
| 12 | 0.5039 | 0.9876 |
| 13 | 0.5070 | 0.9833 |

2.3 LLUVIA EN UN PUNTO PARA DIFERENTES DURACIONES

El proceso de análisis de precipitaciones de duración cualquiera ha sido acometido comúnmente aplicando la conocida ecuación propuesta por Yarnell y Hattaway, y recogida en la ya caduca Norma 5.I.C., cuya expresión matemática es la siguiente:

$$I = a \cdot t^{-b}$$





Siendo I la intensidad correspondiente a una duración t y a , b dos parámetros de ajuste, normalmente con las lluvias diarias y anuales.

En la actual Normativa (Instrucción 5.2-I/C, de Drenaje Superficial de Carreteras) se propone la caracterización de la ley que liga la intensidad con la duración mediante la expresión:

$$\frac{I_t}{I_d} = \left(\frac{I_1}{I_d} \right)^{\frac{2a^1 - t^1}{2a^1 - 1}}$$

Midiéndolo todo en milímetros y en horas. El cociente I_t/I_d entre la intensidad horaria y la diaria se considera independiente del período de retorno, y aparece recogido en la Instrucción en un gráfico del territorio nacional debidamente dividido.

2.4 Lluvia Areal sobre Una Cuenca.

La mayor parte de los trabajos hidrológicos requieren la estimación de la lluvia sobre una determinada área, que será igual o menor que el valor puntual calculado debido al efecto de no simultaneidad. La obtención de los valores areales puede efectuarse mediante el empleo de un factor reductor (ARF) por el que se multiplican los valores puntuales previamente estimados.

El proceso de obtención del factor ARF en una cuenca de área A y una duración de lluvia fijada de antemano ha de seguir los siguientes pasos:

- Para cada año de la serie disponible, se determina la fecha de la máxima lluvia areal y los que en la misma fecha registraron las distintas estaciones de la zona, P_{ti} .
- Para cada año de la serie y en cada estación, se determina el valor máximo anual P_p , coincidente o no en fecha con la máxima lluvia areal. Por tanto, $P_p > P_{ti}$.
- El factor buscado es la media a lo largo de los m años de la serie de los valores areales de P_{ti} y de P_p .

$$ARF = \frac{1}{M} \sum_{i=1}^M \frac{\int_A P_{ti} f dA}{\int_A P_p f dA}$$





ESTUDIO DE INUNDABILIDAD PARA EL PROYECTO DE ACTUACIÓN DEL ÁREA LOGÍSTICA DE MAJARAVIQUE, TM. SEVILLA Y LA RINCONADA.



Obtenida a partir de comprobaciones empíricas en diversas estaciones de aforo nacionales y de acuerdo con las conclusiones obtenidas en los análisis desarrollados mediante el hidrograma unitario.

2.6 UMBRAL DE ESCORRENTÍA.

El valor del umbral de escorrentía (P_0) en una determinada cuenca es una función de:

- la capacidad de infiltración del suelo;
- el uso del suelo y actividades agrarias;
- la pendiente del terreno;
- la interceptación de los pequeños cursos de agua;
- el almacenamiento en charcos;
- la humedad del suelo.

El método de cálculo propuesto por el Soil Conservation Service (S.C.S.) americano (hoy Natural Resources Conservation Service) es el adoptado por la actual Norma de drenaje de carreteras, y asume la existencia de un umbral de escorrentía (P_0), por debajo del cual las precipitaciones no producen escorrentamiento en absoluto.

La ecuación básica que define la relación precipitación-escorrentía es la siguiente:

$$\frac{R}{S} = \frac{E}{P - P_0}$$

Siendo S la máxima retención posible.

La retención en cada instante se define como:

$$R = (P - P_0) - E$$

Sustituyendo y despejando E , resulta:

$$-E = \frac{(P - P_0)^2}{(P - P_0) + S}$$





| Descripción de los Suelos equivalentes | | |
|--|--------------------------|---|
| Grupo hidrológico del suelo | Potencial de escorrentía | Infiltración cuando la tierra está húmeda |
| A | Escaso | Alta |
| B | Moderado | Moderada |
| C | Medio | Lenta |
| D | Elevado | Muy lenta |

Textura fina o suelos con una capa que impide el drenaje hacia abajo

Suelos de arcillas hinchadas o compactas o suelos poco profundos sobre capas impermeables

| Rotación de cultivos pobres | | |
|--|------|-----|
| Rotación de cultivos densos | | |
| Cereales de invierno | >= 3 | R/N |
| Cereales de invierno | < 3 | N |
| Rotación de cultivos pobres | >= 3 | R |
| Rotación de cultivos pobres | < 3 | N |
| Rotación de cultivos densos | >= 3 | R/N |
| Rotación de cultivos densos | < 3 | N |
| Praderas | >= 3 | R/N |
| Praderas | < 3 | N |
| Plantaciones regulares de aprovechamiento forestal | >= 3 | R/N |
| Plantaciones regulares de aprovechamiento forestal | < 3 | N |
| Masas forestales (bosques, monte bajo, etc) | | |

GRUPO HIDROLÓGICO CONSIDERADO:

Para las características de los suelos afectados por las escorrentías de los arroyos, se consideran del grupo hidrológico para suelos del tipo "C", con potencial medio de escorrentía por su tendencia a la saturación, y baja infiltración natural en condiciones de períodos prolongados de lluvia.

Esta hipótesis nos permitirá trabajar en condiciones de seguridad frente a los caudales de escorrentía resultantes.

ESTIMACION INICIAL DEL UMBRAL DE ESCORRIENTIA P_0 (mm)

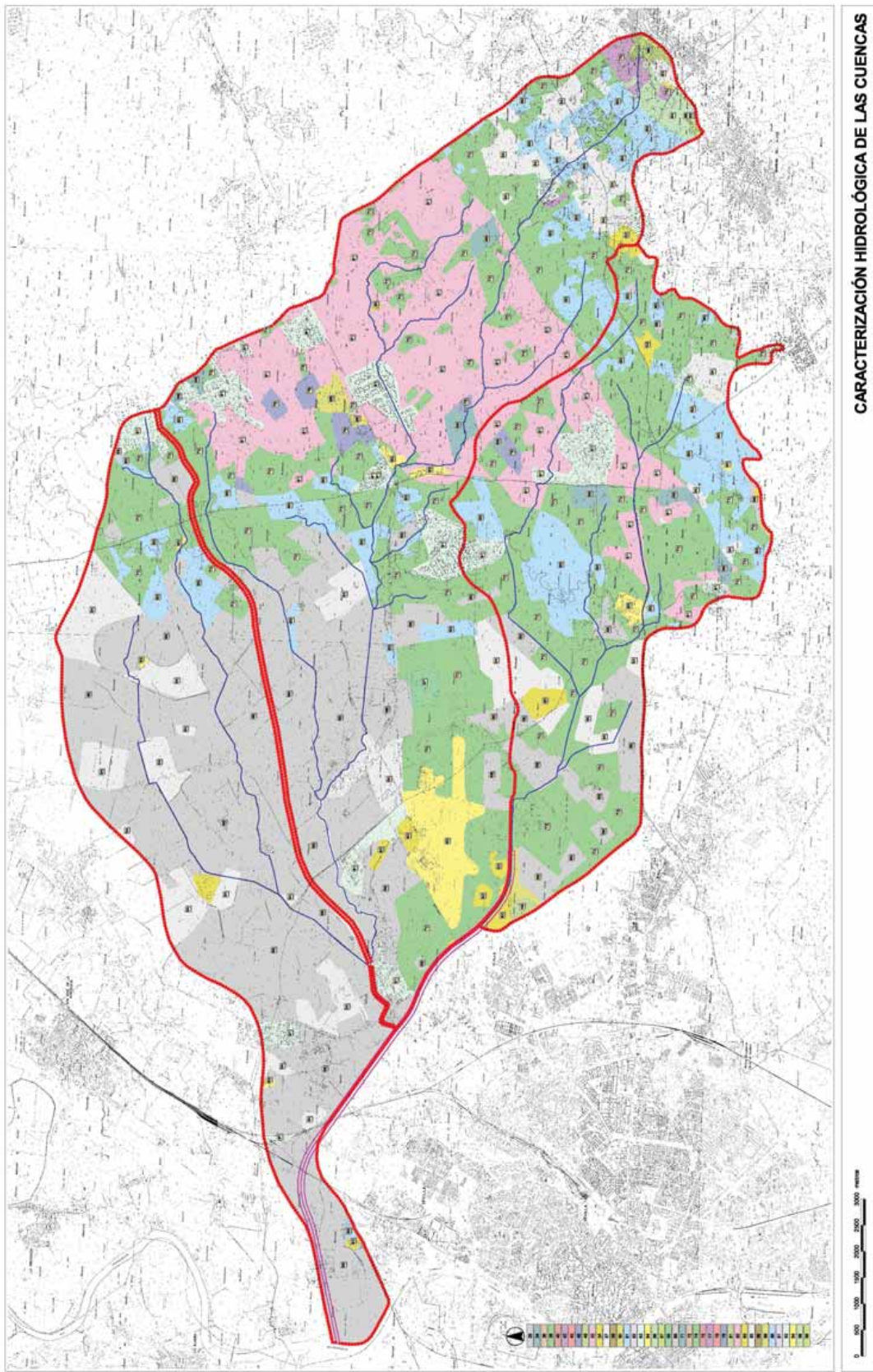
| Uso de la tierra | Pendiente (%) | Características hidrológicas | GRUPO DE SUELO | | | |
|--------------------|---------------|------------------------------|----------------|----|----|---|
| | | | A | B | C | D |
| Barbecho | >= 3 | R | 15 | 8 | 6 | 4 |
| Barbecho | < 3 | N | 17 | 11 | 8 | 5 |
| Cultivos en hilera | < 3 | R/N | 20 | 14 | 11 | 8 |
| Cultivos en hilera | >= 3 | R | 23 | 13 | 8 | 6 |

| | |
|--------|---|
| Notas: | N |
| | R |

CUENCA INEXISTENTE A EFECTOS DE AVENIDAS

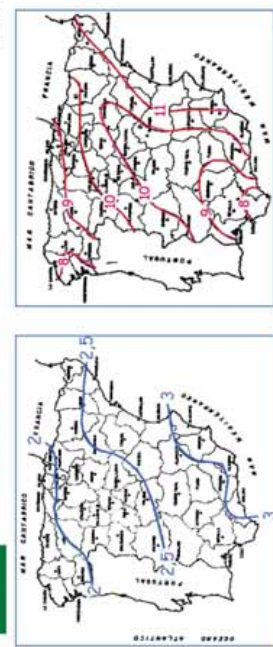
Las zonas abancaladas se incluirán entre las de pendiente menor del 3 %







**ESTUDIO DE INUNDABILIDAD PARA EL PROYECTO DE ACTUACIÓN DEL ÁREA LOGÍSTICA
DE MAJARAVIQUE, TM. SEVILLA Y LA RINCONADA.**



No deja de ser patente la complejidad anterior, que contrasta gravemente con la falta general de datos para el ajuste o calibración del modelo en uso. De aquí que haya cobrado gran aceptación un modo simple de evaluación de la escorrentía que acepta el ya definido umbral P_0 y un segundo parámetro que supone una infiltración uniforme a lo largo de todo el aguacero.

Naturalmente, esta hipótesis adolece de una imprecisión que desafía toda lógica (como no se trate de un terreno muy poroso y profundo), pero precisamente su simplicidad y los buenos resultados que logra la han hecho aceptable en multitud de trabajos.

En este estudio, se ha preferido la primera y más lógica formulación.

2.7.1 Tiempo de concentración.

La aplicación de la anterior vía de determinación de la escorrentía superficial y los futuros cálculos de los hidrogramas de avenida precisan el cálculo del denominado Tiempo de Concentración de la cuenca.

Definido éste como el tiempo que tarda la gota de agua más rezagada en alcanzar el punto de desague de la cuenca, es éste un parámetro para el que existen numerosas fórmulas de cálculo, fórmulas que suelen precisar dos parámetros principalmente: la pendiente del terreno y la longitud de los cauces.

Para su determinación se propone el empleo de la conocida Fórmula de Giandotti, que por emplear más parámetros goza de una mejor acogida en general.

Las expresiones son las siguientes:

$$T_c = \frac{4\sqrt{S} + 1,5 \cdot L}{0,8\sqrt{H}}; \quad T_{c,Temez} = 0,3 \cdot \left[\frac{L}{J^{1/4}} \right]^{0,76}$$

Y tal como se ha enunciado, se elige la biparamétrica función de Temez.

Para los suelos del Estudio del arroyo Mondragón, donde prevalecen las lomas de depósitos cuaternarios en zonas onduladas de pradera pendiente inferior al 3%, se va a considerar un valor equivalente para las curvas de escorrentía de 12.

2.7 COEFICIENTE DE ESCORRENTÍA.

El coeficiente de escorrentía C define la proporción de la intensidad de lluvia I que genera escorrentía superficial, y está relacionado con el concepto de lluvia neta expuesto anteriormente. El método racional seguido obtiene la expresión de C basándose en la formulación del S.C.S., y en particular en función del umbral de escorrentía " P_0 ".

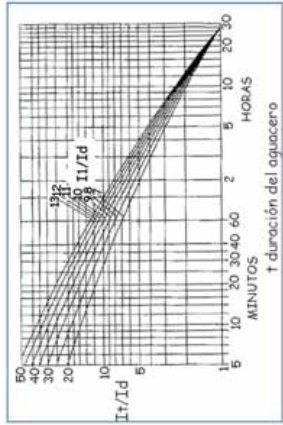
El coeficiente instantáneo de escorrentía va creciendo a lo largo de un aguacero, y su valor medio en un intervalo será mayor que el correspondiente a su origen y menor que el del final. El intervalo objeto de estudio es aquél que proporciona mayor escorrentía.





**ESTUDIO DE INUNDABILIDAD PARA EL PROYECTO DE ACTUACION DEL AREA LOGISTICA
DE MAJARAVIQUE, TM. SEVILLA Y LA RINCONADA.**

Agencia Pública de Puertos de Andalucía
CONSEJERÍA DE FOMENTO Y VIVIENDA



3. CUENCA EN ESTUDIO: METODOLOGIA PARA DETERMINACION DEL HIDROGRAMA.

El caudal del hidrograma está constituido por cuatro elementos: la escorrentia superficial, el caudal de base, el interflujo y la componente de lluvia sobre el propio cauce. Estos dos últimos son normalmente pequeños, y van a despreciarse en el análisis del hidrograma. También el caudal de base tiene escasa importancia, pues la cuenca aportadora no tiene especial capacidad para generar y mantenerlo.

La metodología a seguir va a consistir en la simulación de la avenida de proyecto, ajustando los parámetros para que los efectos provocados sean pésimos. Obtenremos de este modo un hidrograma "pésimo" desde el punto de vista de los caudales fluyentes.

La gran complejidad y requerimiento de datos que supone la elaboración de un hidrograma partiendo "de la nada" invita a contemplar los diversos hidrogramas sintéticos de empleo común en Hidrología. Sin ánimo de ser exhaustivo, se citan el del S.C.S., el de Ténez, el de Clark, Snyder, Horton. En este estudio se propone el del S.C.S., de gran implantación en España.

Este hidrograma sintético requiere muy pocos parámetros para su aplicación, y estos parámetros son fácilmente obtenibles en nuestro entorno.

Aunque es de aplicación relativamente sencilla, requiere un volumen operacional que hace deseconsejar cualquier aplicación no informizada. En esta línea, contamos con una serie de programas informáticos que permiten llevar a cabo las simulaciones del referido hidrograma con un moderado trabajo humano.

ANEXO DE CLIMATOLOGÍA E HIDROLOGÍA.





TABLA DE PRECIPITACIONES EN LA CUENCA DEL ARROYO TAMARGUILLO
 (Precipitaciones en mm/10)

TABLA DE PRECIPITACIONES EN LA CUENCA DEL ARROYO TAMARGUILLO
(Precipitaciones en mm/año)



TABLA DE PRECIPITACIONES EN LA CUENCA DEL ARROYO TAMARGUILLO
(Precipitaciones en mm/10)

| Estación | 5753 | | | | | | | | | | | | 5752 | | | | | | | | | | | | | | | | | | | |
|----------|------------|------|--------|--------|------|--------|--------|-----|--------|--------|-----|--------|------|--------|--------|--------|-----|--------|--------|-----|--------|-----|------|--------|--------|------|--------|--------|------|--------|-----|------|
| | Año | Mes | Prieto | Puerto | Dos | Puerto | Prieto | Dos | Puerto | Prieto | Dos | Puerto | Año | Mes | Prieto | Puerto | Dos | Puerto | Prieto | Dos | Puerto | Año | Mes | Prieto | Puerto | Dos | Puerto | Prieto | Dos | Puerto | | |
| 1961 | Oct | 361 | 1059 | 30 | 50 | 1052 | 233 | 30 | 502 | 233 | 30 | 502 | 1962 | OCT | 1052 | 30 | 502 | 233 | 30 | 502 | 233 | 30 | 502 | 1963 | OCT | 1052 | 30 | 502 | 233 | 30 | 502 | |
| 1961 | Nov | 3231 | 1070 | 11 | 1666 | 988 | 105 | 18 | 3886 | 988 | 105 | 18 | 1962 | NOV | 1052 | 11 | 187 | 1052 | 11 | 187 | 1052 | 11 | 187 | 1963 | NOV | 1052 | 11 | 187 | 1052 | 11 | 187 | 1963 |
| 1961 | Dic | 1054 | 256 | 3 | 1666 | 1025 | 42 | 77 | 1465 | 1025 | 42 | 77 | 1962 | DEC | 1052 | 3 | 187 | 1052 | 3 | 187 | 1052 | 3 | 187 | 1963 | DEC | 1052 | 3 | 187 | 1052 | 3 | 187 | 1963 |
| 1962 | Ene | 1025 | 311 | 7 | 1662 | 1025 | 311 | 7 | 1551 | 1025 | 311 | 7 | 1962 | JAN | 1025 | 7 | 187 | 1025 | 7 | 187 | 1025 | 7 | 187 | 1963 | JAN | 1025 | 7 | 187 | 1025 | 7 | 187 | 1963 |
| 1962 | Feb | 424 | 311 | 17 | 1662 | 424 | 311 | 17 | 1651 | 424 | 311 | 17 | 1962 | FEB | 1025 | 15 | 187 | 1025 | 15 | 187 | 1025 | 15 | 187 | 1963 | FEB | 1025 | 15 | 187 | 1025 | 15 | 187 | 1963 |
| 1962 | Mar | 465 | 50 | 20 | 1662 | 465 | 50 | 20 | 1623 | 465 | 50 | 20 | 1962 | MAR | 1025 | 19 | 187 | 1025 | 19 | 187 | 1025 | 19 | 187 | 1963 | MAR | 1025 | 19 | 187 | 1025 | 19 | 187 | 1963 |
| 1962 | Abri | 923 | 459 | 25 | 1962 | 923 | 459 | 25 | 953 | 352 | 24 | 953 | 1962 | APR | 1025 | 7 | 187 | 1025 | 7 | 187 | 1025 | 7 | 187 | 1963 | APR | 1025 | 7 | 187 | 1025 | 7 | 187 | 1963 |
| 1962 | May | 295 | 259 | 16 | 1962 | 295 | 259 | 16 | 293 | 259 | 16 | 293 | 1962 | MAY | 1025 | 10 | 187 | 1025 | 10 | 187 | 1025 | 10 | 187 | 1963 | MAY | 1025 | 10 | 187 | 1025 | 10 | 187 | 1963 |
| 1962 | Jun | 205 | 20 | 12 | 1962 | 205 | 20 | 12 | 286 | 170 | 13 | 286 | 1962 | JUN | 1025 | 18 | 187 | 1025 | 18 | 187 | 1025 | 18 | 187 | 1963 | JUN | 1025 | 18 | 187 | 1025 | 18 | 187 | 1963 |
| 1962 | Jul | 0 | 0 | 0 | 1962 | 0 | 0 | 0 | 0 | 0 | 0 | 0 | 1962 | JUL | 0 | 0 | 0 | 0 | 0 | 0 | 0 | 0 | 0 | 1962 | JUL | 0 | 0 | 0 | 0 | 0 | 0 | 0 |
| 1962 | Agosto | 0 | 0 | 0 | 1962 | 0 | 0 | 0 | 0 | 0 | 0 | 0 | 1962 | AGOSTO | 0 | 0 | 0 | 0 | 0 | 0 | 0 | 0 | 0 | 1962 | AGOSTO | 0 | 0 | 0 | 0 | 0 | 0 | 0 |
| 1962 | Sept | 205 | 25 | 10 | 1962 | 205 | 25 | 10 | 207 | 25 | 10 | 207 | 1962 | SEPT | 1025 | 24 | 187 | 1025 | 24 | 187 | 1025 | 24 | 187 | 1963 | SEPT | 1025 | 24 | 187 | 1025 | 24 | 187 | 1963 |
| 1962 | Oct | 1025 | 75 | 11 | 1962 | 1025 | 75 | 11 | 1069 | 820 | 11 | 1069 | 1962 | OCT | 1025 | 13 | 187 | 1025 | 13 | 187 | 1025 | 13 | 187 | 1963 | OCT | 1025 | 13 | 187 | 1025 | 13 | 187 | 1963 |
| 1962 | Nov | 965 | 147 | 13 | 1962 | 965 | 147 | 13 | 931 | 893 | 13 | 931 | 1962 | NOV | 1025 | 12 | 187 | 1025 | 12 | 187 | 1025 | 12 | 187 | 1963 | NOV | 1025 | 12 | 187 | 1025 | 12 | 187 | 1963 |
| 1962 | Dic | 205 | 25 | 4 | 1962 | 205 | 25 | 4 | 2128 | 205 | 8 | 2128 | 1962 | DEC | 1025 | 3 | 187 | 1025 | 3 | 187 | 1025 | 3 | 187 | 1963 | DEC | 1025 | 3 | 187 | 1025 | 3 | 187 | 1963 |
| 1963 | Enero | 1052 | 150 | 6 | 1963 | 1052 | 150 | 6 | 1029 | 150 | 7 | 1029 | 1963 | JAN | 1025 | 13 | 187 | 1025 | 13 | 187 | 1025 | 13 | 187 | 1963 | JAN | 1025 | 13 | 187 | 1025 | 13 | 187 | 1963 |
| 1963 | Febrero | 150 | 155 | 1 | 1963 | 150 | 155 | 1 | 159 | 150 | 155 | 1 | 1963 | FEB | 1025 | 20 | 187 | 1025 | 20 | 187 | 1025 | 20 | 187 | 1963 | FEB | 1025 | 20 | 187 | 1025 | 20 | 187 | 1963 |
| 1963 | Marzo | 196 | 195 | 1 | 1963 | 196 | 195 | 1 | 196 | 196 | 195 | 1 | 1963 | MAR | 1025 | 10 | 187 | 1025 | 10 | 187 | 1025 | 10 | 187 | 1963 | MAR | 1025 | 10 | 187 | 1025 | 10 | 187 | 1963 |
| 1963 | Abre | 196 | 195 | 1 | 1963 | 196 | 195 | 1 | 196 | 196 | 195 | 1 | 1963 | APR | 1025 | 10 | 187 | 1025 | 10 | 187 | 1025 | 10 | 187 | 1963 | APR | 1025 | 10 | 187 | 1025 | 10 | 187 | 1963 |
| 1963 | Mayo | 170 | 256 | 4 | 1963 | 170 | 256 | 4 | 1100 | 455 | 10 | 1100 | 1963 | MAY | 1025 | 9 | 187 | 1025 | 9 | 187 | 1025 | 9 | 187 | 1963 | MAY | 1025 | 9 | 187 | 1025 | 9 | 187 | 1963 |
| 1963 | Junio | 364 | 256 | 5 | 1963 | 364 | 256 | 5 | 1963 | 174 | 13 | 1963 | 1963 | JUN | 1025 | 10 | 187 | 1025 | 10 | 187 | 1025 | 10 | 187 | 1963 | JUN | 1025 | 10 | 187 | 1025 | 10 | 187 | 1963 |
| 1963 | Julio | 0 | 0 | 5 | 1963 | 117 | 117 | 5 | 1963 | 117 | 117 | 5 | 1963 | JUL | 0 | 0 | 0 | 0 | 0 | 0 | 0 | 0 | 0 | 1963 | JUL | 0 | 0 | 0 | 0 | 0 | 0 | 0 |
| 1963 | Agosto | 0 | 0 | 0 | 1963 | 0 | 0 | 0 | 0 | 0 | 0 | 0 | 1963 | AGOSTO | 0 | 0 | 0 | 0 | 0 | 0 | 0 | 0 | 0 | 1963 | AGOSTO | 0 | 0 | 0 | 0 | 0 | 0 | 0 |
| 1963 | Septiembre | 154 | 110 | 12 | 1963 | 154 | 110 | 12 | 254 | 154 | 110 | 12 | 1963 | SEPT | 1025 | 13 | 187 | 1025 | 13 | 187 | 1025 | 13 | 187 | 1963 | SEPT | 1025 | 13 | 187 | 1025 | 13 | 187 | 1963 |
| 1963 | Octubre | 237 | 73 | 4 | 1963 | 237 | 73 | 4 | 1963 | 497 | 3 | 1963 | 1963 | OCT | 1025 | 3 | 187 | 1025 | 3 | 187 | 1025 | 3 | 187 | 1963 | OCT | 1025 | 3 | 187 | 1025 | 3 | 187 | 1963 |
| 1963 | Diciembre | 247 | 306 | 2 | 1963 | 247 | 306 | 2 | 2670 | 450 | 3 | 2670 | 1963 | DEC | 1025 | 17 | 187 | 1025 | 17 | 187 | 1025 | 17 | 187 | 1963 | DEC | 1025 | 17 | 187 | 1025 | 17 | 187 | 1963 |
| 1964 | Enero | 340 | 156 | 12 | 1964 | 340 | 156 | 12 | 308 | 174 | 13 | 308 | 1964 | JAN | 1025 | 14 | 187 | 1025 | 14 | 187 | 1025 | 14 | 187 | 1964 | JAN | 1025 | 14 | 187 | 1025 | 14 | 187 | 1964 |
| 1964 | Febrero | 1880 | 456 | 24 | 1964 | 1880 | 456 | 24 | 2004 | 430 | 14 | 2004 | 1964 | FEB | 1025 | 18 | 187 | 1025 | 18 | 187 | 1025 | 18 | 187 | 1964 | FEB | 1025 | 18 | 187 | 1025 | 18 | 187 | 1964 |
| 1964 | Marzo | 923 | 379 | 12 | 1964 | 923 | 379 | 12 | 1008 | 294 | 13 | 1008 | 1964 | MAR | 1025 | 25 | 187 | 1025 | 25 | 187 | 1025 | 25 | 187 | 1964 | MAR | 1025 | 25 | 187 | 1025 | 25 | 187 | 1964 |
| 1964 | Abre | 197 | 197 | 18 | 1964 | 197 | 197 | 18 | 270 | 142 | 11 | 270 | 1964 | APR | 1025 | 27 | 187 | 1025 | 27 | 187 | 1025 | 27 | 187 | 1964 | APR | 1025 | 27 | 187 | 1025 | 27 | 187 | 1964 |
| 1964 | Mayo | 348 | 335 | 31 | 1964 | 348 | 335 | 31 | 332 | 330 | 31 | 332 | 1964 | MAY | 1025 | 87 | 187 | 1025 | 87 | 187 | 1025 | 87 | 187 | 1964 | MAY | 1025 | 87 | 187 | 1025 | 87 | 187 | 1964 |
| 1964 | Junio | 140 | 32 | 4 | 1964 | 140 | 32 | 4 | 52 | 60 | 30 | 52 | 1964 | JUN | 1025 | 10 | 187 | 1025 | 10 | 187 | 1025 | 10 | 187 | 1964 | JUN | 1025 | 10 | 187 | 1025 | 10 | 187 | 1964 |
| 1964 | Julio | 0 | 0 | 0 | 1964 | 0 | 0 | 0 | 0 | 0 | 0 | 0 | 1964 | JUL | 0 | 0 | 0 | 0 | 0 | 0 | 0 | 0 | 1964 | JUL | 0 | 0 | 0 | 0 | 0 | 0 | 0 | |
| 1964 | Agosto | 306 | 166 | 30 | 1964 | 306 | 166 | 30 | 1964 | 166 | 25 | 1964 | 1964 | AGOSTO | 1025 | 9 | 187 | 1025 | 9 | 187 | 1025 | 9 | 187 | 1964 | AGOSTO | 1025 | 9 | 187 | 1025 | 9 | 187 | 1964 |
| 1964 | Septiembre | 174 | 74 | 5 | 1964 | 174 | 74 | 5 | 1964 | 174 | 74 | 5 | 1964 | SEPT | 1025 | 10 | 187 | 1025 | 10 | 187 | 1025 | 10 | 187 | 1964 | SEPT | 1025 | 10 | 187 | 1025 | 10 | 187 | 1964 |
| 1964 | Octubre | 226 | 27 | 27 | 1964 | 226 | 27 | 27 | 643 | 216 | 28 | 643 | 1964 | OCT | 1025 | 27 | 187 | 1025 | 27 | 187 | 1025 | 27 | 187 | 1964 | OCT | 1025 | 27 | 187 | 1025 | 27 | 187 | 1964 |
| 1964 | Noviembre | 945 | 227 | 22 | 1964 | 945 | 227 | 22 | 458 | 145 | 27 | 458 | 1964 | NOV | 1025 | 7 | 187 | 1025 | 7 | 187 | 1025 | 7 | 187 | 1964 | NOV | 1025 | 7 | 187 | 1025 | 7 | 187 | 1964 |
| 1964 | Diciembre | 504 | 252 | 10 | 1964 | 504 | 252 | 10 | 778 | 225 | 1 | 778 | 1964 | DEC | 1025 | 17 | 187 | 1025 | 17 | 187 | 1025 | 17 | 187 | 1964 | DEC | 1025 | 17 | 187 | 1025 | 17 | 187 | 1964 |
| 1964 | Ab | | | | | | | | | | | | | | | | | | | | | | | | | | | | | | | |



TABLA DE PRECIPITACIONES EN LA CUENCA DEL ARROYO TAMARGUILLO
 (Precipitaciones en mm/año)

TABLA DE PRECIPITACIONES EN LA CUENCA DEL ARAUCANIA /
Precipitaciones en mm(10)

TABLA DE PRECIPITACIONES EN LA CUENCA DEL ARROYO TAMARGUILLO
 (Precipitaciones en mm/10)

| TABLA DE PRECIPITACIONES EN LA CUENCA DEL ARROYO TAMARGUILLO | | | | | | | | | | | |
|--|--------|--------|-----|--------|-----|--------|-----|--------|-----|--------|-----|
| (Precipitaciones en mm/10) | | | | | | | | | | | |
| Estación | | | | | | | | | | | |
| Año | Mes | Pluvi. | Día |
| | | | | | | | | | | | |
| 1976 | Oct | 2.3 | 24 | 7.2 | 27 | 3.8 | 6 | 1.7 | 27 | 1.5 | 27 |
| 1976 | Dic | 1.5 | 24 | 0.6 | 27 | 1.6 | 27 | 0.6 | 27 | 0.6 | 27 |
| 1977 | Ene | 1.5 | 24 | 0.6 | 27 | 1.6 | 27 | 0.6 | 27 | 0.6 | 27 |
| 1977 | Feb | 1.6 | 24 | 0.6 | 27 | 1.6 | 27 | 0.6 | 27 | 0.6 | 27 |
| 1977 | Mar | 1.6 | 24 | 0.6 | 27 | 1.6 | 27 | 0.6 | 27 | 0.6 | 27 |
| 1977 | May | 2.0 | 24 | 0.6 | 27 | 1.6 | 27 | 0.6 | 27 | 0.6 | 27 |
| 1977 | Jun | 1.5 | 24 | 0.6 | 27 | 1.6 | 27 | 0.6 | 27 | 0.6 | 27 |
| 1977 | Jul | 4 | 1 | 2.0 | 24 | 0.6 | 27 | 0.6 | 27 | 0.6 | 27 |
| 1977 | Agosto | 2 | 2 | 3.0 | 24 | 0.6 | 27 | 0.6 | 27 | 0.6 | 27 |
| 1977 | Sep | 0.6 | 13 | 0.655 | 400 | 0 | 1 | 0 | 1 | 0 | 1 |
| 1977 | Oct | 0.6 | 13 | 0.655 | 400 | 0 | 1 | 0 | 1 | 0 | 1 |
| 1977 | Nov | 1.41 | 20 | 0.6 | 1 | 0 | 1 | 0 | 1 | 0 | 1 |
| 1977 | Dic | 1.25 | 337 | 0 | 7 | 0 | 1 | 0 | 1 | 0 | 1 |
| 1978 | Ene | 0.2 | 1 | 0 | 1 | 0 | 1 | 0 | 1 | 0 | 1 |
| 1978 | Feb | 1.64 | 30 | 0 | 1 | 0 | 1 | 0 | 1 | 0 | 1 |
| 1978 | Mar | 1.56 | 2 | 0 | 1 | 0 | 1 | 0 | 1 | 0 | 1 |
| 1978 | Jul | 1.62 | 24 | 0 | 1 | 0 | 1 | 0 | 1 | 0 | 1 |
| 1978 | Agosto | 1.62 | 24 | 0 | 1 | 0 | 1 | 0 | 1 | 0 | 1 |
| 1978 | Sep | 0.6 | 1 | 0 | 1 | 0 | 1 | 0 | 1 | 0 | 1 |
| 1978 | Oct | 0.655 | 400 | 0 | 1 | 0 | 1 | 0 | 1 | 0 | 1 |
| 1978 | Nov | 1.25 | 6 | 0 | 1 | 0 | 1 | 0 | 1 | 0 | 1 |
| 1978 | Dec | 1.62 | 24 | 0 | 1 | 0 | 1 | 0 | 1 | 0 | 1 |
| 1979 | Ene | 0.65 | 11 | 0 | 1 | 0 | 1 | 0 | 1 | 0 | 1 |
| 1979 | Feb | 1.62 | 27 | 0 | 1 | 0 | 1 | 0 | 1 | 0 | 1 |
| 1979 | Mar | 1.62 | 2 | 0 | 1 | 0 | 1 | 0 | 1 | 0 | 1 |
| 1979 | May | 1.62 | 18 | 0 | 1 | 0 | 1 | 0 | 1 | 0 | 1 |
| 1979 | Jun | 1.62 | 13 | 0 | 1 | 0 | 1 | 0 | 1 | 0 | 1 |
| 1979 | Jul | 1.62 | 12 | 0 | 1 | 0 | 1 | 0 | 1 | 0 | 1 |
| 1979 | Agosto | 1.62 | 16 | 0 | 1 | 0 | 1 | 0 | 1 | 0 | 1 |
| 1979 | Sep | 0.65 | 13 | 0 | 1 | 0 | 1 | 0 | 1 | 0 | 1 |
| 1979 | Oct | 0.655 | 400 | 0 | 1 | 0 | 1 | 0 | 1 | 0 | 1 |
| 1979 | Nov | 1.62 | 11 | 0 | 1 | 0 | 1 | 0 | 1 | 0 | 1 |
| 1979 | Dic | 1.62 | 27 | 0 | 1 | 0 | 1 | 0 | 1 | 0 | 1 |
| 1980 | Ene | 1.62 | 2 | 0 | 1 | 0 | 1 | 0 | 1 | 0 | 1 |
| 1980 | Feb | 1.62 | 19 | 0 | 1 | 0 | 1 | 0 | 1 | 0 | 1 |
| 1980 | Mar | 1.62 | 14 | 0 | 1 | 0 | 1 | 0 | 1 | 0 | 1 |
| 1980 | Jul | 1.62 | 29 | 0 | 1 | 0 | 1 | 0 | 1 | 0 | 1 |
| 1980 | Agosto | 1.62 | 22 | 0 | 1 | 0 | 1 | 0 | 1 | 0 | 1 |
| 1980 | Sep | 0.65 | 13 | 0 | 1 | 0 | 1 | 0 | 1 | 0 | 1 |
| 1980 | Oct | 0.655 | 400 | 0 | 1 | 0 | 1 | 0 | 1 | 0 | 1 |
| 1980 | Nov | 1.62 | 11 | 0 | 1 | 0 | 1 | 0 | 1 | 0 | 1 |
| 1980 | Dic | 1.62 | 23 | 0 | 1 | 0 | 1 | 0 | 1 | 0 | 1 |
| 1981 | Ene | 0 | 0 | 0 | 1 | 0 | 1 | 0 | 1 | 0 | 1 |
| 1981 | Feb | 0.6 | 3 | 0 | 1 | 0 | 1 | 0 | 1 | 0 | 1 |
| 1981 | Mar | 0.6 | 13 | 0 | 1 | 0 | 1 | 0 | 1 | 0 | 1 |
| 1981 | May | 0.6 | 20 | 0 | 1 | 0 | 1 | 0 | 1 | 0 | 1 |
| 1981 | Jun | 0.6 | 8 | 0 | 1 | 0 | 1 | 0 | 1 | 0 | 1 |
| 1981 | Jul | 0.6 | 24 | 0 | 1 | 0 | 1 | 0 | 1 | 0 | 1 |
| 1981 | Agosto | 0.6 | 24 | 0 | 1 | 0 | 1 | 0 | 1 | 0 | 1 |
| 1981 | Sep | 0.6 | 15 | 0 | 1 | 0 | 1 | 0 | 1 | 0 | 1 |
| 1981 | Oct | 0.655 | 400 | 0 | 1 | 0 | 1 | 0 | 1 | 0 | 1 |
| 1981 | Nov | 0.6 | 11 | 0 | 1 | 0 | 1 | 0 | 1 | 0 | 1 |
| 1981 | Dic | 0 | 0 | 0 | 1 | 0 | 1 | 0 | 1 | 0 | 1 |
| 1982 | Ene | 0 | 0 | 0 | 1 | 0 | 1 | 0 | 1 | 0 | 1 |
| 1982 | Feb | 0.6 | 0 | 0 | 1 | 0 | 1 | 0 | 1 | 0 | 1 |
| 1982 | Mar | 0.6 | 29 | 0 | 1 | 0 | 1 | 0 | 1 | 0 | 1 |
| 1982 | May | 0.6 | 20 | 0 | 1 | 0 | 1 | 0 | 1 | 0 | 1 |
| 1982 | Jun | 0.6 | 8 | 0 | 1 | 0 | 1 | 0 | 1 | 0 | 1 |
| 1982 | Jul | 0.6 | 24 | 0 | 1 | 0 | 1 | 0 | 1 | 0 | 1 |
| 1982 | Agosto | 0.6 | 24 | 0 | 1 | 0 | 1 | 0 | 1 | 0 | 1 |
| 1982 | Sep | 0.6 | 15 | 0 | 1 | 0 | 1 | 0 | 1 | 0 | 1 |
| 1982 | Oct | 0.655 | 400 | 0 | 1 | 0 | 1 | 0 | 1 | 0 | 1 |
| 1982 | Nov | 0.6 | 11 | 0 | 1 | 0 | 1 | 0 | 1 | 0 | 1 |
| 1982 | Dic | 0 | 0 | 0 | 1 | 0 | 1 | 0 | 1 | 0 | 1 |
| 1983 | Ene | 0 | 0 | 0 | 1 | 0 | 1 | 0 | 1 | 0 | 1 |
| 1983 | Feb | 0.6 | 0 | 0 | 1 | 0 | 1 | 0 | 1 | 0 | 1 |
| 1983 | Mar | 0.6 | 29 | 0 | 1 | 0 | 1 | 0 | 1 | 0 | 1 |
| 1983 | May | 0.6 | 20 | 0 | 1 | 0 | 1 | 0 | 1 | 0 | 1 |
| 1983 | Jun | 0.6 | 8 | 0 | 1 | 0 | 1 | 0 | 1 | 0 | 1 |
| 1983 | Jul | 0.6 | 24 | 0 | 1 | 0 | 1 | 0 | 1 | 0 | 1 |
| 1983 | Agosto | 0.6 | 24 | 0 | 1 | 0 | 1 | 0 | 1 | 0 | 1 |
| 1983 | Sep | 0.6 | 15 | 0 | 1 | 0 | 1 | 0 | 1 | 0 | 1 |
| 1983 | Oct | 0.655 | 400 | 0 | 1 | 0 | 1 | 0 | 1 | 0 | 1 |
| 1983 | Nov | 0.6 | 11 | 0 | 1 | 0 | 1 | 0 | 1 | 0 | 1 |
| 1983 | Dic | 0 | 0 | 0 | 1 | 0 | 1 | 0 | 1 | 0 | 1 |
| 1984 | Ene | 0 | 0 | 0 | 1 | 0 | 1 | 0 | 1 | 0 | 1 |
| 1984 | Feb | 0.6 | 0 | 0 | 1 | 0 | 1 | 0 | 1 | 0 | 1 |
| 1984 | Mar | 0.6 | 29 | 0 | 1 | 0 | 1 | 0 | 1 | 0 | 1 |
| 1984 | May | 0.6 | 20 | 0 | 1 | 0 | 1 | 0 | 1 | 0 | 1 |
| 1984 | Jun | 0.6 | 8 | 0 | 1 | 0 | 1 | 0 | 1 | 0 | 1 |
| 1984 | Jul | 0.6 | 24 | 0 | 1 | 0 | 1 | 0 | 1 | 0 | 1 |
| 1984 | Agosto | 0.6 | 24 | 0 | 1 | 0 | 1 | 0 | 1 | 0 | 1 |
| 1984 | Sep | 0.6 | 15 | 0 | 1 | 0 | 1 | 0 | 1 | 0 | 1 |
| 1984 | Oct | 0.655 | 400 | 0 | 1 | 0 | 1 | 0 | 1 | 0 | 1 |
| 1984 | Nov | 0.6 | 11 | 0 | 1 | 0 | 1 | 0 | 1 | 0 | 1 |
| 1984 | Dic | 0 | 0 | 0 | 1 | 0 | 1 | 0 | 1 | 0 | 1 |
| 1985 | Ene | 0 | 0 | 0 | 1 | 0 | 1 | 0 | 1 | 0 | 1 |
| 1985 | Feb | 0.6 | 0 | 0 | 1 | 0 | 1 | 0 | 1 | 0 | 1 |
| 1985 | Mar | 0.6 | 29 | 0 | 1 | 0 | 1 | 0 | 1 | 0 | 1 |
| 1985 | May | 0.6 | 20 | 0 | 1 | 0 | 1 | 0 | 1 | 0 | 1 |
| 1985 | Jun | 0.6 | 8 | 0 | 1 | 0 | 1 | 0 | 1 | 0 | 1 |
| 1985 | Jul | 0.6 | 24 | 0 | 1 | 0 | 1 | 0 | 1 | 0 | 1 |
| 1985 | Agosto | 0.6 | 24 | 0 | 1 | 0 | 1 | 0 | 1 | 0 | 1 |
| 1985 | Sep | 0.6 | 15 | 0 | 1 | 0 | 1 | 0 | 1 | 0 | 1 |
| 1985 | Oct | 0.655 | 400 | 0 | 1 | 0 | 1 | 0 | 1 | 0 | 1 |
| 1985 | Nov | 0.6 | 11 | 0 | 1 | 0 | 1 | 0 | 1 | 0 | 1 |
| 1985 | Dic | 0 | 0 | 0 | 1 | 0 | 1 | 0 | 1 | 0 | 1 |
| 1986 | Ene | 0 | 0 | 0 | 1 | 0 | 1 | 0 | 1 | 0 | 1 |
| 1986 | Feb | 0.6 | 0 | 0 | 1 | 0 | 1 | 0 | 1 | 0 | 1 |
| 1986 | Mar | 0.6 | 29 | 0 | 1 | 0 | 1 | 0 | 1 | 0 | 1 |
| 1986 | May | 0.6 | 20 | 0 | 1 | 0 | 1 | 0 | 1 | 0 | 1 |
| 1986 | Jun | 0.6 | 8 | 0 | 1 | 0 | 1 | 0 | 1 | 0 | 1 |
| 1986 | Jul | 0.6 | 24 | 0 | 1 | 0 | 1 | 0 | 1 | 0 | 1 |
| 1986 | Agosto | 0.6 | 24 | 0 | 1 | 0 | 1 | 0 | 1 | 0 | 1 |
| 1986 | Sep | 0.6 | 15 | 0 | 1 | 0 | 1 | 0 | 1 | 0 | 1 |
| 1986 | Oct | 0.655 | 400 | 0 | 1 | 0 | 1 | 0 | 1 | 0 | 1 |
| 1986 | Nov | 0.6 | 11 | 0 | 1 | 0 | 1 | 0 | 1 | 0 | 1 |
| 1986 | Dic | 0 | 0 | 0 | 1 | 0 | 1 | 0 | 1 | 0 | 1 |
| 1987 | Ene | 0 | 0 | 0 | 1 | 0 | 1 | 0 | 1 | 0 | 1 |
| 1987 | Feb | 0.6 | 0 | 0 | 1 | 0 | 1 | 0 | 1 | 0 | 1 |
| 1987 | Mar | 0.6 | 29 | 0 | 1 | 0 | 1 | 0 | 1 | 0 | 1 |
| 1987 | May | 0.6 | 20 | 0 | 1 | 0 | 1 | 0 | 1 | 0 | 1 |
| 1987 | Jun | 0.6 | 8 | 0 | 1 | 0 | 1 | 0 | 1 | 0 | 1 |
| 1987 | Jul | 0.6 | 24 | 0 | 1 | 0 | 1 | 0 | 1 | 0 | 1 |
| 1987 | Agosto | 0.6 | 24 | 0 | 1 | 0 | 1 | 0 | 1 | 0 | 1 |
| 1987 | Sep | 0.6 | 15 | 0 | 1 | 0 | 1 | 0 | 1 | 0 | 1 |
| 1987 | OCT | 0.655 | 400 | 0 | 1 | 0 | 1 | 0 | 1 | 0 | 1 |
| 1987 | Nov | 0.6 | 11 | 0 | 1 | 0 | 1 | 0 | 1 | 0 | 1 |
| 1987 | Dic | 0 | 0 | 0 | 1 | 0 | 1 | 0 | 1 | 0 | 1 |
| 1988 | Ene | 0 | 0 | 0 | 1 | 0 | 1 | 0 | 1 | 0 | 1 |
| 1988 | Feb | 0.6 | 0 | 0 | 1 | 0 | 1 | 0 | 1 | 0 | 1 |
| 1988 | Mar | 0.6 | 29 | 0 | 1 | 0 | 1 | 0 | 1 | 0 | 1 |
| 1988 | May | 0.6 | 20 | 0 | 1 | 0 | 1 | 0 | 1 | 0 | 1 |
| 1988 | Jun | 0.6 | 8 | 0 | 1 | 0 | 1 | 0 | 1 | 0 | 1 |
| 1988 | Jul | 0.6 | 24 | 0 | 1 | 0 | 1 | 0 | 1 | 0 | 1 |
| 1988 | Agosto | 0.6 | 24 | 0 | 1 | 0 | 1 | 0 | 1 | 0 | 1 |
| 1988 | Sep | 0.6 | 15 | 0 | 1 | 0 | 1 | 0 | 1 | 0 | 1 |
| 1988 | OCT | 0.655 | 400 | 0 | 1 | 0 | 1 | 0 | 1 | 0 | 1 |
| 1988 | Nov | 0.6 | 11 | 0 | 1 | 0 | 1 | 0 | 1 | 0 | 1 |
| 1988 | Dic | 0 | 0 | 0 | 1 | 0 | 1 | 0 | 1 | 0 | 1 |
| 1989 | Ene | 0 | 0 | 0 | 1 | 0 | 1 | 0 | 1 | 0 | 1 |
| 1989 | Feb | 0.6 | 0 | 0 | 1 | 0 | 1 | 0 | 1 | 0 | 1 |
| 1989 | Mar | 0.6 | 29 | 0 | 1 | 0 | 1 | 0 | 1 | 0 | 1 |
| 1989 | May | 0.6 | 20 | 0 | 1 | 0 | 1 | 0 | 1 | 0 | 1 |
| 1989 | Jun | 0.6 | 8 | 0 | 1 | 0 | 1 | 0 | 1 | 0 | 1 |
| 1989 | Jul | 0.6 | 24 | 0 | 1 | 0 | 1 | 0 | 1 | 0 | 1 |
| 1989 | Agosto | 0.6 | 24 | 0 | 1 | 0 | 1 | 0 | 1 | 0 | 1 |
| 1989 | Sep | 0.6 | 15 | 0 | 1 | 0 | 1 | 0 | 1 | 0 | 1 |
| 1989 | OCT | 0.655 | 400 | 0 | 1 | 0 | 1 | 0 | 1 | 0 | 1 |
| 1989 | Nov | 0.6 | 11 | 0 | 1 | 0 | 1 | 0 | 1 | | |

TABLA DE PRECIPITACIONES EN LA CUENCA DEL ARROYO TAMARGUILLO
 (Precipitaciones en mm/año)



TABLA DE PRECIPITACIONES EN LA CUENCA DEL ARROYO TAMARGUILLO
 (Precipitaciones en mm/10)

Depósito Legal: SE-410/1979. ISSN: 2253 - 802X





| TABLA DE PRECIPITACIONES EN LA CUENCA DEL ARROYO TAMARGUILLO (Precipitaciones en mm/nº0) | | | | | | | | | | | |
|---|------|---------|------|---------|------|---------|-------|---------|-------|---------|-----|
| Estación | | | 5783 | | | 5782 | | | 5781E | | |
| Año | Mes | Precip. | Día | Precip. | Día | Precip. | Día | Precip. | Día | Precip. | Día |
| 1987 | Oct | 12,7 | 301 | 25 | 1000 | 320 | 13 | | | | |
| 1987 | Nov | 23,7 | 30 | 370 | 30 | | | | | | |
| 1987 | Dic | 163 | 14 | 260 | 145 | 15 | | | | | |
| 1988 | Ene | 1,6 | 7 | 15 | 15 | | | | | | |
| 1988 | Feb | 75,7 | 45 | 19 | 450 | 200 | 15 | | | | |
| 1988 | Mar | 128 | 30 | 170 | 170 | 30 | | | | | |
| 1988 | Abr | 52,6 | 307 | 3 | 830 | 330 | 3 | | | | |
| 1988 | May | 17,6 | 50 | 14 | 140 | 145 | 23 | | | | |
| 1988 | Jun | 207 | 25 | 14 | 1100 | 575 | 13 | | | | |
| 1988 | Jul | 0 | 0 | 0 | 0 | 0 | | | | | |
| 1988 | Sept | 16 | 58 | 28 | 35 | 35 | | | | | |
| 1988 | Oct | 24,6 | 26 | 480 | 451 | | | | | | |
| 1988 | Dic | 12,5 | 18 | 230 | 220 | 25 | 47150 | 575 | | | |
| 1989 | Ene | 5,4 | 18 | 0 | 0 | 0 | | | | | |
| 1989 | Feb | 2,5 | 15 | 0 | 0 | 0 | | | | | |
| 1989 | Mar | 17,2 | 7 | 1 | 180 | 170 | 1 | | | | |
| 1989 | Abr | 152 | 152 | 15 | 145 | 150 | 31 | | | | |
| 1989 | Mai | 12,5 | 53 | 17 | 170 | 170 | 17 | | | | |
| 1989 | Jun | 205 | 205 | 13 | 200 | 205 | 8 | | | | |
| 1989 | Jul | 0 | 0 | 0 | 0 | 0 | | | | | |
| 1989 | Sept | 1,6 | 13 | 20 | 20 | 35 | | | | | |
| 1989 | Oct | 12,5 | 23 | 1000 | 2000 | 20 | | | | | |
| 1989 | Ene | 6,0 | 117 | 35 | 870 | 330 | 11 | | | | |
| 1989 | Feb | 1,6 | 15 | 21 | 35 | 6 | | | | | |
| 1989 | Mar | 0 | 0 | 0 | 0 | 0 | | | | | |
| 1989 | Apr | 0 | 0 | 0 | 0 | 0 | | | | | |
| 1989 | Sept | 103 | 51 | 17 | 3136 | 356 | 16 | | | | |
| 1989 | Oct | 15,6 | 31 | 31 | 300 | 300 | 11 | | | | |
| 1989 | Nov | 280 | 540 | 3 | 865 | 285 | 3 | | | | |
| 1989 | Dic | 2,2 | 38 | 0 | 0 | 0 | | | | | |
| 1989 | Ene | 6,1 | 53 | 0 | 0 | 0 | | | | | |
| 1989 | Feb | 5,1 | 47 | 0 | 0 | 0 | | | | | |
| 1989 | Mar | 2,2 | 5 | 0 | 0 | 0 | | | | | |
| 1989 | Apr | 14 | 14 | 0 | 0 | 0 | | | | | |
| 1989 | May | 150 | 141 | 15 | 305 | 85 | 19 | | | | |
| 1989 | Jun | 0 | 0 | 0 | 0 | 0 | | | | | |
| 1989 | Sept | 1,6 | 17 | 0 | 0 | 0 | | | | | |
| 1989 | Oct | 1,6 | 31 | 0 | 0 | 0 | | | | | |
| 1989 | Ene | 2,2 | 38 | 0 | 0 | 0 | | | | | |
| 1989 | Feb | 3,6 | 37 | 0 | 0 | 0 | | | | | |
| 1989 | Mar | 1,7 | 25 | 0 | 0 | 0 | | | | | |
| 1989 | Apr | 0 | 0 | 0 | 0 | 0 | | | | | |
| 1989 | Sept | 1,6 | 31 | 0 | 0 | 0 | | | | | |
| 1989 | Oct | 1,6 | 31 | 0 | 0 | 0 | | | | | |
| 1989 | Ene | 2,2 | 38 | 0 | 0 | 0 | | | | | |
| 1989 | Feb | 3,6 | 37 | 0 | 0 | 0 | | | | | |
| 1989 | Mar | 1,7 | 25 | 0 | 0 | 0 | | | | | |
| 1989 | Apr | 0 | 0 | 0 | 0 | 0 | | | | | |
| 1989 | Sept | 1,6 | 31 | 0 | 0 | 0 | | | | | |
| 1989 | Oct | 1,6 | 31 | 0 | 0 | 0 | | | | | |
| 1989 | Ene | 2,2 | 38 | 0 | 0 | 0 | | | | | |
| 1989 | Feb | 3,6 | 37 | 0 | 0 | 0 | | | | | |
| 1989 | Mar | 1,7 | 25 | 0 | 0 | 0 | | | | | |
| 1989 | Apr | 0 | 0 | 0 | 0 | 0 | | | | | |
| 1989 | Sept | 1,6 | 31 | 0 | 0 | 0 | | | | | |
| 1989 | Oct | 1,6 | 31 | 0 | 0 | 0 | | | | | |
| 1989 | Ene | 2,2 | 38 | 0 | 0 | 0 | | | | | |
| 1989 | Feb | 3,6 | 37 | 0 | 0 | 0 | | | | | |
| 1989 | Mar | 1,7 | 25 | 0 | 0 | 0 | | | | | |
| 1989 | Apr | 0 | 0 | 0 | 0 | 0 | | | | | |
| 1989 | Sept | 1,6 | 31 | 0 | 0 | 0 | | | | | |
| 1989 | Oct | 1,6 | 31 | 0 | 0 | 0 | | | | | |
| 1989 | Ene | 2,2 | 38 | 0 | 0 | 0 | | | | | |
| 1989 | Feb | 3,6 | 37 | 0 | 0 | 0 | | | | | |
| 1989 | Mar | 1,7 | 25 | 0 | 0 | 0 | | | | | |
| 1989 | Apr | 0 | 0 | 0 | 0 | 0 | | | | | |
| 1989 | Sept | 1,6 | 31 | 0 | 0 | 0 | | | | | |
| 1989 | Oct | 1,6 | 31 | 0 | 0 | 0 | | | | | |
| 1989 | Ene | 2,2 | 38 | 0 | 0 | 0 | | | | | |
| 1989 | Feb | 3,6 | 37 | 0 | 0 | 0 | | | | | |
| 1989 | Mar | 1,7 | 25 | 0 | 0 | 0 | | | | | |
| 1989 | Apr | 0 | 0 | 0 | 0 | 0 | | | | | |
| 1989 | Sept | 1,6 | 31 | 0 | 0 | 0 | | | | | |
| 1989 | Oct | 1,6 | 31 | 0 | 0 | 0 | | | | | |
| 1989 | Ene | 2,2 | 38 | 0 | 0 | 0 | | | | | |
| 1989 | Feb | 3,6 | 37 | 0 | 0 | 0 | | | | | |
| 1989 | Mar | 1,7 | 25 | 0 | 0 | 0 | | | | | |
| 1989 | Apr | 0 | 0 | 0 | 0 | 0 | | | | | |
| 1989 | Sept | 1,6 | 31 | 0 | 0 | 0 | | | | | |
| 1989 | Oct | 1,6 | 31 | 0 | 0 | 0 | | | | | |
| 1989 | Ene | 2,2 | 38 | 0 | 0 | 0 | | | | | |
| 1989 | Feb | 3,6 | 37 | 0 | 0 | 0 | | | | | |
| 1989 | Mar | 1,7 | 25 | 0 | 0 | 0 | | | | | |
| 1989 | Apr | 0 | 0 | 0 | 0 | 0 | | | | | |
| 1989 | Sept | 1,6 | 31 | 0 | 0 | 0 | | | | | |
| 1989 | Oct | 1,6 | 31 | 0 | 0 | 0 | | | | | |
| 1989 | Ene | 2,2 | 38 | 0 | 0 | 0 | | | | | |
| 1989 | Feb | 3,6 | 37 | 0 | 0 | 0 | | | | | |
| 1989 | Mar | 1,7 | 25 | 0 | 0 | 0 | | | | | |
| 1989 | Apr | 0 | 0 | 0 | 0 | 0 | | | | | |
| 1989 | Sept | 1,6 | 31 | 0 | 0 | 0 | | | | | |
| 1989 | Oct | 1,6 | 31 | 0 | 0 | 0 | | | | | |
| 1989 | Ene | 2,2 | 38 | 0 | 0 | 0 | | | | | |
| 1989 | Feb | 3,6 | 37 | 0 | 0 | 0 | | | | | |
| 1989 | Mar | 1,7 | 25 | 0 | 0 | 0 | | | | | |
| 1989 | Apr | 0 | 0 | 0 | 0 | 0 | | | | | |
| 1989 | Sept | 1,6 | 31 | 0 | 0 | 0 | | | | | |
| 1989 | Oct | 1,6 | 31 | 0 | 0 | 0 | | | | | |
| 1989 | Ene | 2,2 | 38 | 0 | 0 | 0 | | | | | |
| 1989 | Feb | 3,6 | 37 | 0 | 0 | 0 | | | | | |
| 1989 | Mar | 1,7 | 25 | 0 | 0 | 0 | | | | | |
| 1989 | Apr | 0 | 0 | 0 | 0 | 0 | | | | | |
| 1989 | Sept | 1,6 | 31 | 0 | 0 | 0 | | | | | |
| 1989 | Oct | 1,6 | 31 | 0 | 0 | 0 | | | | | |
| 1989 | Ene | 2,2 | 38 | 0 | 0 | 0 | | | | | |
| 1989 | Feb | 3,6 | 37 | 0 | 0 | 0 | | | | | |
| 1989 | Mar | 1,7 | 25 | 0 | 0 | 0 | | | | | |
| 1989 | Apr | 0 | 0 | 0 | 0 | 0 | | | | | |
| 1989 | Sept | 1,6 | 31 | 0 | 0 | 0 | | | | | |
| 1989 | Oct | 1,6 | 31 | 0 | 0 | 0 | | | | | |
| 1989 | Ene | 2,2 | 38 | 0 | 0 | 0 | | | | | |
| 1989 | Feb | 3,6 | 37 | 0 | 0 | 0 | | | | | |
| 1989 | Mar | 1,7 | 25 | 0 | 0 | 0 | | | | | |
| 1989 | Apr | 0 | 0 | 0 | 0 | 0 | | | | | |
| 1989 | Sept | 1,6 | 31 | 0 | 0 | 0 | | | | | |
| 1989 | Oct | 1,6 | 31 | 0 | 0 | 0 | | | | | |
| 1989 | Ene | 2,2 | 38 | 0 | 0 | 0 | | | | | |
| 1989 | Feb | 3,6 | 37 | 0 | 0 | 0 | | | | | |
| 1989 | Mar | 1,7 | 25 | 0 | 0 | 0 | | | | | |
| 1989 | Apr | 0 | 0 | 0 | 0 | 0 | | | | | |
| 1989 | Sept | 1,6 | 31 | 0 | 0 | 0 | | | | | |
| 1989 | Oct | 1,6 | 31 | 0 | 0 | 0 | | | | | |
| 1989 | Ene | 2,2 | 38 | 0 | 0 | 0 | | | | | |
| 1989 | Feb | 3,6 | 37 | 0 | 0 | 0 | | | | | |
| 1989 | Mar | 1,7 | 25 | 0 | 0 | 0 | | | | | |
| 1989 | Apr | 0 | 0 | 0 | 0 | 0 | | | | | |
| 1989 | Sept | 1,6 | 31 | 0 | 0 | 0 | | | | | |
| 1989 | Oct | 1,6 | 31 | 0 | 0 | 0 | | | | | |
| 1989 | Ene | 2,2 | 38 | 0 | 0 | 0 | | | | | |
| 1989 | Feb | 3,6 | 37 | 0 | 0 | 0 | | | | | |
| 1989 | Mar | 1,7 | 25 | 0 | 0 | 0 | | | | | |
| 1989 | Apr | 0 | 0 | 0 | 0 | 0 | | | | | |
| 1989 | Sept | 1,6 | 31 | 0 | 0 | 0 | | | | | |
| 1989 | Oct | 1,6 | 31 | 0 | 0 | 0 | | | | | |
| 1989 | Ene | 2,2 | 38 | 0 | 0 | 0 | | | | | |
| 1989 | Feb | 3,6 | 37 | 0 | 0 | 0 | | | | | |
| 1989 | Mar | 1,7 | 25 | 0</ | | | | | | | |



TABLA DE PRECIPITACIONES EN LA CUENCA DEL ARROYO TAMARGUILLO

(Precipitaciones en mm/10)

| Estación | 5783 | | | 5781E | | | 5782 | | | | | | | |
|----------|------|------|--------|-------|------|--------|-------|-----|--------|-------|-----|--------|-------|-----|
| | Año | Mes | Promes | Punta | Día | Promes | Punta | Día | Promes | Punta | Día | Promes | Punta | Día |
| 2001 | Oct | 697 | 364 | 19 | | 1158 | 410 | 19 | | | | | | |
| 2001 | Nov | 834 | 476 | 5 | | 890 | 440 | 5 | | | | | | |
| 2001 | Dic | 416 | 23 | | | 803 | 283 | 23 | | | | | | |
| 2002 | Ene | 462 | 259 | 2 | | 524 | 264 | 2 | | | | | | |
| 2002 | Feb | 39 | 1,2 | 28 | | 90 | 40 | 9 | | | | | | |
| 2002 | Mar | 801 | 194 | 13 | | 1125 | 335 | 15 | | | | | | |
| 2002 | Abr | 446 | 152 | 7 | | 572 | 150 | 5 | | | | | | |
| 2002 | May | 142 | 80 | 8 | | 220 | 120 | 21 | | | | | | |
| 2002 | Jun | 61 | 61 | 4 | | 60 | 60 | 4 | | | | | | |
| 2002 | Jul | 0 | 0 | | | 0 | 0 | | | | | | | |
| 2002 | AGO | 0 | 0 | | | 0 | 0 | | | | | | | |
| 2002 | Sep | 1014 | 695 | 16 | 5381 | 695 | 1256 | 520 | 16 | 6500 | 920 | | | |
| 2002 | Oct | 144 | 74 | 20 | | 403 | 270 | 20 | | | | | | |
| 2002 | Nov | 1436 | 276 | 1,3 | | 1777 | 420 | 19 | | | | | | |
| 2002 | Dic | 762 | 176 | 26 | | 1474 | 345 | 9 | | | | | | |
| 2003 | Ene | 481 | 152 | 20 | | 878 | 260 | 20 | | | | | | |
| 2003 | Feb | 449 | 179 | 18 | | 360 | 170 | 18 | | | | | | |
| 2003 | Mar | 472 | 282 | 27 | | | | | | | | | | |
| 2003 | Abr | 844 | 223 | 15 | | 1015 | 280 | 28 | | | | | | |
| 2003 | May | 1,3 | 10 | 6 | | 20 | 20 | 6 | | | | | | |
| 2003 | Jun | 3 | 2 | 30 | | 20 | 20 | 22 | | | | | | |
| 2003 | Jul | 0 | 0 | | | 0 | 0 | | | | | | | |
| 2003 | AGO | 3 | 3 | 22 | | | | | | | | | | |
| 2003 | Sep | 165 | 182 | 30 | 4775 | 282 | 285 | 290 | 30 | | | | | |



3.2.1 Leyes estadísticas.

Los datos pluviométricos registrados en las distintas estaciones proporcionan una serie de observaciones para conocer las máximas precipitaciones que pueden ocurrir en la cuenca. La realidad es que estos datos son incompletos por sí mismos y requieren un complemento, que es la relación entre la magnitud de la precipitación y su periodo de recurrencia. En este sentido, los métodos probabilistas son una poderosa herramienta que permiten ordenar, clasificar y extrapolar esos datos.

La filosofía general del análisis probabilista seguido en este Estudio es asumir la distribución de los datos reales a una función de probabilidad. Se consigue así un doble objetivo: correlacionar cada crecida con su periodo de retorno, y extrapolar el periodo de observación para obtener así las precipitaciones correspondientes a períodos de recurrencia mayores al periodo de observación.

La experiencia ha demostrado que las funciones de probabilidad más adecuadas para la modelación de las precipitaciones son las basadas en los valores extremos, que consideran sólo los valores máximos (precipitaciones máximas diarias en nuestro caso). De la base estadística de precipitaciones se toman sólo los valores máximos anuales de precipitación diaria, lo que no sólo reduce su número, sino que impone un enfoque estadístico diferente, con otras leyes de distribución.

Tal como se expuso en los epígrafes de Meteorología, son varias las leyes estadísticas que pueden emplearse para conocer las precipitaciones máximas en un cierto periodo de retorno.

De las tres leyes citadas en los epígrafes metodológicos, dos de ellas (GEV y Log-Pearson III) son claramente complejas, mientras que la restante (Gumbel) es sencilla.

En aquellos párrafos se invitó a recurrir a las primeras sólo si el ajuste de la última se considera insuficiente. Se pospone pues la decisión hasta conocer la bondad del ajuste de la expresión de Gumbel. La expresión de Gumbel es una doble exponencial cuya formulación y modo de empleo escapan a los límites de este Estudio. No se insiste, pues, en su formulación, sino en el resultado de su aplicación a los máximos anuales de las estaciones estudiadas. El proceso, en síntesis, es el siguiente:

- Elegir las precipitaciones máximas diarias de cada año de una serie histórica continua lo más larga posible.
- Ordenar de menor a mayor los anteriores valores.





ESTUDIO DE INUNDABILIDAD PARA EL PROYECTO DE ACTUACIÓN DEL ÁREA LOGÍSTICA
DE MAJARAVIQUE, TM. SEVILLA Y LA RINCONADA.

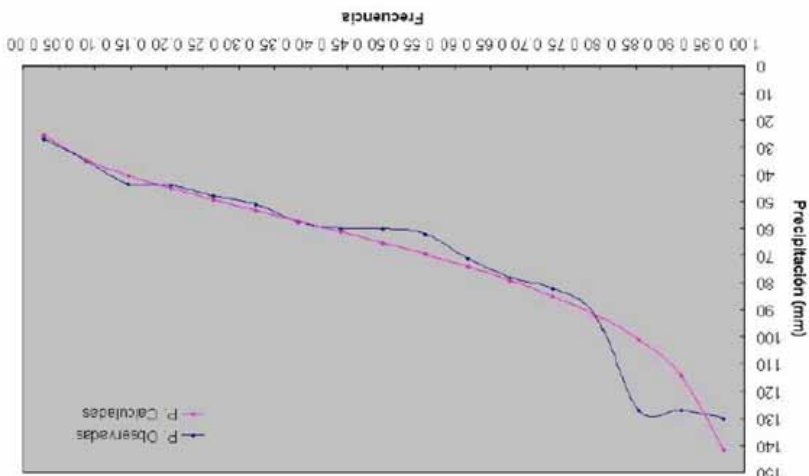
Agencia Pública de Puertos de Andalucía
CONSEJERÍA DE FOMENTO Y VIVIENDA



AJUSTE DE PRECIPITACIONES MÁXIMAS DIARIAS A DISTRIBUCIÓN DE GUMBEL

Estatación 5781E

| Frecuencia | Número de Orden | Precip. observada | Precip. calculada |
|------------|-----------------|-------------------|-------------------|
| 0.9706 | 17 | 130.0 | 141.6 |
| 0.9118 | 16 | 127.0 | 114.1 |
| 0.8629 | 15 | 127.0 | 100.9 |
| 0.7941 | 14 | 92.0 | 91.9 |
| 0.7353 | 13 | 82.0 | 84.9 |
| 0.6765 | 12 | 78.0 | 79.1 |
| 0.6176 | 11 | 71.0 | 74.0 |
| 0.5588 | 10 | 62.0 | 69.4 |
| 0.5000 | 9 | 60.0 | 65.2 |
| 0.4412 | 8 | 60.0 | 61.1 |
| 0.3824 | 7 | 57.5 | 57.2 |
| 0.3235 | 6 | 51.0 | 53.3 |
| 0.2647 | 5 | 48.0 | 49.3 |
| 0.2059 | 4 | 44.0 | 45.1 |
| 0.1471 | 3 | 43.5 | 40.4 |
| 0.0882 | 2 | 35.0 | 34.7 |
| 0.0294 | 1 | 26.9 | 25.6 |



ANEXO DE CLIMATOLOGÍA E HIDROLOGÍA.

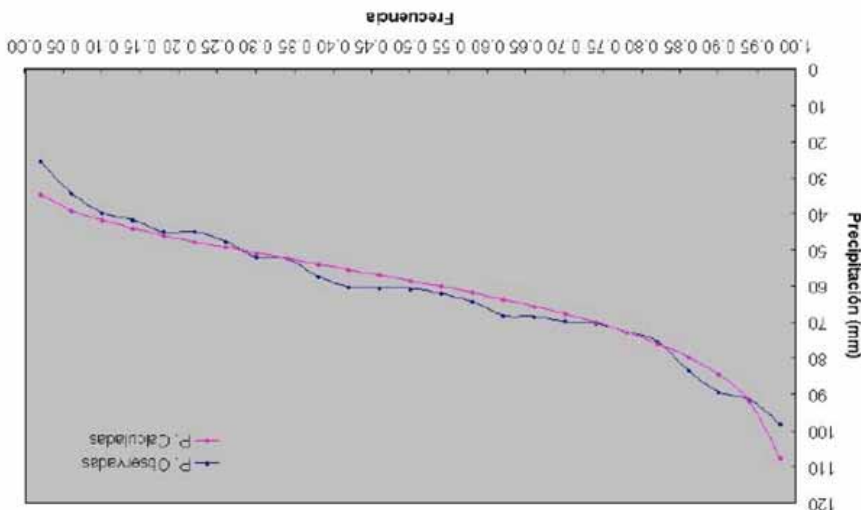




AJUSTE DE PRECIPITACIONES MÁXIMAS DIARIAS A DISTRIBUCIÓN DE GUMBEL

Estación 5782

| Frecuencia | Número de Orden | Precip. observada | Precip. calculada |
|------------|-----------------|-------------------|-------------------|
| 0.9800 | 25 | 98.0 | 107.4 |
| 0.9400 | 24 | 91.5 | 91.9 |
| 0.9000 | 23 | 89.3 | 84.5 |
| 0.8600 | 22 | 83.3 | 79.6 |
| 0.8200 | 21 | 75.3 | 75.8 |
| 0.7800 | 20 | 72.7 | 72.7 |
| 0.7400 | 19 | 70.3 | 70.0 |
| 0.7000 | 18 | 69.7 | 67.7 |
| 0.6600 | 17 | 68.4 | 65.6 |
| 0.6200 | 16 | 68.1 | 63.6 |
| 0.5800 | 15 | 64.3 | 61.8 |
| 0.5400 | 14 | 62.0 | 60.1 |
| 0.5000 | 13 | 60.7 | 58.5 |
| 0.4600 | 12 | 60.4 | 56.9 |
| 0.4200 | 11 | 60.2 | 55.4 |
| 0.3800 | 10 | 57.3 | 53.8 |
| 0.3400 | 9 | 52.4 | 52.3 |
| 0.3000 | 8 | 52.0 | 50.8 |
| 0.2600 | 7 | 47.6 | 49.3 |
| 0.2200 | 6 | 45.0 | 47.7 |
| 0.1800 | 5 | 45.0 | 45.9 |
| 0.1400 | 4 | 41.7 | 44.0 |
| 0.1000 | 3 | 39.7 | 41.8 |
| 0.0600 | 2 | 34.2 | 39.1 |
| 0.0200 | 1 | 25.5 | 34.5 |



205

30

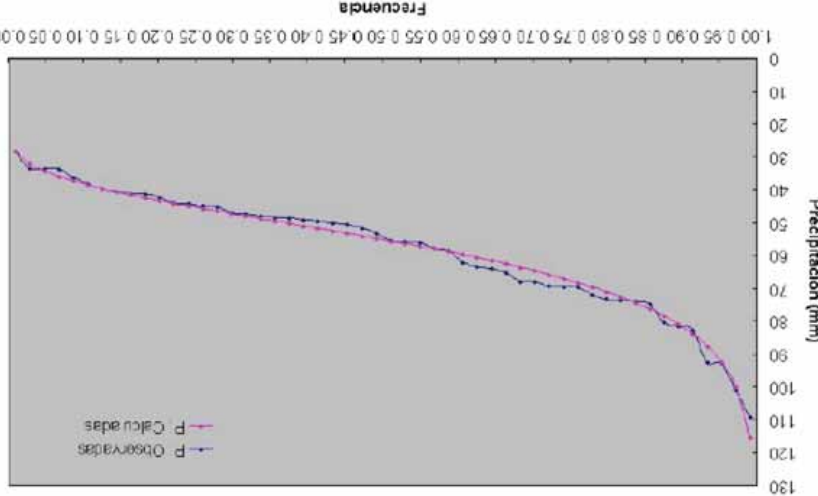


AJUSTE DE PRECIPITACIONES MÁXIMAS A DISTRIBUCIÓN DE GUMBEL

Estación 5783

Frecuencia

| Frecuencia | Número de Orden observada | Precip. observada | Precip. calculada | Frecuencia | Número de Orden observada | Precip. calculada |
|------------|---------------------------|-------------------|-------------------|------------|---------------------------|-------------------|
| 0.9904 | 52 | 109.3 | 115.5 | 0.4904 | 26 | 53.3 |
| 0.9712 | 51 | 101.0 | 99.8 | 0.4712 | 25 | 51.5 |
| 0.9519 | 50 | 92.9 | 92.4 | 0.4519 | 24 | 50.5 |
| 0.9327 | 49 | 92.5 | 87.5 | 0.4327 | 23 | 50.1 |
| 0.9135 | 48 | 82.6 | 83.8 | 0.4135 | 22 | 49.5 |
| 0.8942 | 47 | 81.6 | 80.9 | 0.3942 | 21 | 49.0 |
| 0.8750 | 46 | 80.3 | 78.4 | 0.3750 | 20 | 48.6 |
| 0.8558 | 45 | 74.7 | 76.2 | 0.3558 | 19 | 48.5 |
| 0.8365 | 44 | 74.1 | 74.3 | 0.3365 | 18 | 47.9 |
| 0.8173 | 43 | 73.6 | 72.5 | 0.3173 | 17 | 47.4 |
| 0.7981 | 42 | 73.3 | 70.9 | 0.2981 | 16 | 47.0 |
| 0.7788 | 41 | 72.0 | 69.5 | 0.2788 | 15 | 45.1 |
| 0.7596 | 40 | 65.5 | 68.2 | 0.2596 | 14 | 45.0 |
| 0.7404 | 39 | 65.4 | 66.8 | 0.2404 | 13 | 44.3 |
| 0.7212 | 38 | 65.3 | 65.7 | 0.2212 | 12 | 44.0 |
| 0.7019 | 37 | 68.0 | 64.6 | 0.2019 | 11 | 42.3 |
| 0.6827 | 36 | 67.8 | 63.5 | 0.1827 | 10 | 41.1 |
| 0.6635 | 35 | 65.2 | 62.5 | 0.1635 | 9 | 41.0 |
| 0.6442 | 34 | 64.0 | 61.5 | 0.1442 | 8 | 40.5 |
| 0.6250 | 33 | 63.4 | 60.6 | 0.1250 | 7 | 39.7 |
| 0.6058 | 32 | 62.0 | 59.7 | 0.1058 | 6 | 38.2 |
| 0.5865 | 31 | 58.5 | 58.8 | 0.0865 | 5 | 36.1 |
| 0.5673 | 30 | 57.8 | 57.9 | 0.0673 | 4 | 33.7 |
| 0.5481 | 29 | 55.9 | 57.1 | 0.0481 | 3 | 33.6 |
| 0.5288 | 28 | 55.6 | 56.3 | 0.0288 | 2 | 33.5 |
| 0.5096 | 27 | 55.4 | 55.5 | 0.0096 | 1 | 28.2 |





**ESTUDIO DE INUNDABILIDAD PARA EL PROYECTO DE ACTUACIÓN DEL ÁREA LOGÍSTICA
DE MAJARAVIQUE, TM. SEVILLA Y LA RINCONADA.**



A partir de los parámetros de la distribución de Gumbel, se han calculado las precipitaciones diarias para distintos períodos de retorno, que se recogen en la tabla siguiente.

| PRECIPITACIONES DIARIAS (mm) PARA DISTINTOS PERIODOS DE RETORNO (años) | | | | |
|---|---------------|---------------|----------------|----------------|
| Estación | T = 25 | T = 50 | T = 100 | T = 250 |
| 5783 | 105.0 | 114.9 | 124.7 | 137.7 |
| 5781E | 151.1 | 168.1 | 185.0 | 207.3 |
| 5782 | 107.4 | 117.1 | 126.7 | 139.4 |
| | | | | T = 500 |
| | | | | 147.5 |
| | | | | 224.7 |
| | | | | 149.0 |

Analizando las tablas y gráficos anteriores, puede afirmarse lo siguiente:

La estación 5781E (Mairena del Alcor 'Castorña') proporciona un mal ajuste a la distribución de Gumbel, debido quizás a la escasa longitуд de su serie histórica de precipitaciones.

Las estaciones 5783 (Sevilla 'Aeropuerto') y 5782 (Alcalá de Guadaíra 'San José') presentan en cambio un excelente ajuste a la distribución de Gumbel, proporcionando además valores de precipitación muy próximos entre sí.

Teniendo en cuenta la excepcional calidad de la estación del Aeropuerto, así como la mayor longitüd de su serie histórica, se adopta esta estación como representativa del régimen de precipitaciones en la cuenca en estudio.

3.3 PRECIPITACIONES DE CORTA DURACIÓN.

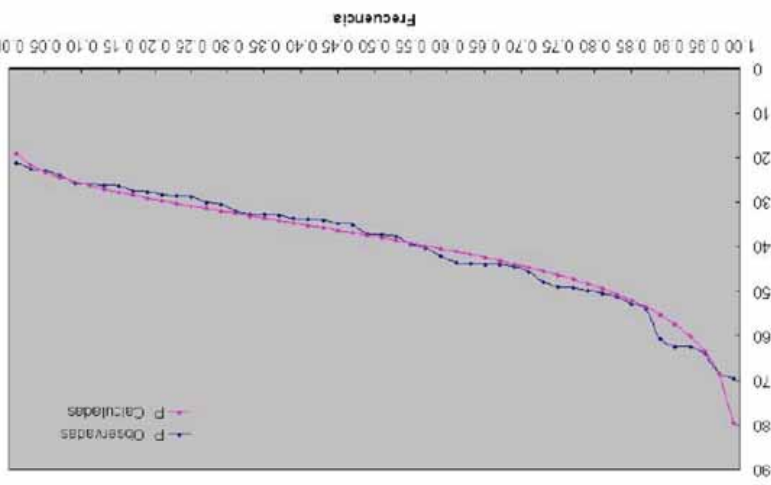
A tenor de lo expuesto anteriormente, las precipitaciones correspondientes a duraciones diferentes al día pueden calcularse con la expresión recogida en la Instrucción 5.2-I.C.:

$$\frac{I_t}{I_d} = \left(\frac{I_1}{I_d} \right)^{\frac{2^{N^{0.1}} - 0.1}{2^{N^0} - 1}}$$





| AJUSTE DE PRECIPITACIONES MÁXIMAS DE 6 HORAS DE DURACIÓN A DISTRIBUCIÓN DE GUMBEL | | | | | | |
|--|---------------------------|-------------------|------------|---------------------------|-------------------|---------|
| Estación 5783 | | | | | | |
| Frecuencia | Número de Orden observada | Precip. calculada | Frecuencia | Número de Orden observada | Precip. calculada | Precip. |
| 0.9900 | 50 | 69.6 | 79.4 | 0.4900 | 25 | 37.0 |
| 0.9700 | 49 | 68.4 | 68.5 | 0.4700 | 24 | 35.0 |
| 0.9500 | 48 | 64.0 | 63.3 | 0.4500 | 23 | 34.7 |
| 0.9300 | 47 | 62.4 | 59.9 | 0.4300 | 22 | 34.0 |
| 0.9100 | 46 | 62.3 | 57.3 | 0.4100 | 21 | 33.8 |
| 0.8900 | 45 | 60.6 | 55.2 | 0.3900 | 20 | 33.6 |
| 0.8700 | 44 | 53.9 | 53.5 | 0.3700 | 19 | 32.9 |
| 0.8500 | 43 | 52.8 | 52.0 | 0.3500 | 18 | 32.6 |
| 0.8300 | 42 | 51.1 | 50.6 | 0.3300 | 17 | 32.6 |
| 0.8100 | 41 | 50.4 | 49.4 | 0.3100 | 16 | 32.0 |
| 0.7900 | 40 | 49.8 | 48.3 | 0.2900 | 15 | 30.4 |
| 0.7700 | 39 | 49.2 | 47.3 | 0.2700 | 14 | 30.0 |
| 0.7500 | 38 | 48.9 | 46.3 | 0.2500 | 13 | 28.7 |
| 0.7300 | 37 | 47.8 | 45.5 | 0.2300 | 12 | 28.5 |
| 0.7100 | 36 | 45.6 | 44.6 | 0.2100 | 11 | 28.3 |
| 0.6900 | 35 | 44.4 | 43.8 | 0.1900 | 10 | 27.6 |
| 0.6700 | 34 | 44.0 | 43.1 | 0.1700 | 9 | 27.5 |
| 0.6500 | 33 | 44.0 | 42.4 | 0.1500 | 8 | 26.3 |
| 0.6300 | 32 | 43.7 | 41.7 | 0.1300 | 7 | 26.2 |
| 0.6100 | 31 | 43.6 | 41.0 | 0.1100 | 6 | 26.0 |
| 0.5900 | 30 | 42.0 | 40.4 | 0.0900 | 5 | 25.7 |
| 0.5700 | 29 | 40.2 | 39.7 | 0.0700 | 4 | 24.0 |
| 0.5500 | 28 | 39.4 | 39.1 | 0.0500 | 3 | 23.0 |
| 0.5300 | 27 | 37.7 | 38.5 | 0.0300 | 2 | 22.5 |
| 0.5100 | 26 | 37.2 | 37.9 | 0.0100 | 1 | 21.1 |
| | | | | | | 19.0 |





En la tabla siguiente se comparan los valores de precipitación de 6 horas de duración calculados a partir de los parámetros de la distribución de Gumbel con los obtenidos partiendo de la precipitación diaria y aplicando la Instrucción 5.2-I.C.

| PRECIPITACIONES (mm) DE 6 HORAS DE DURACIÓN PARA DISTINTOS PERIODOS DE RETORNO (años) | | | | | | |
|--|---------|---------|---------|--------|--------|--|
| Método de Cálculo | T = 500 | T = 250 | T = 100 | T = 50 | T = 25 | |
| Distr. Gumbel | 102.2 | 95.3 | 86.3 | 79.4 | 72.5 | |
| Instrucción 5.2-I.C. | 105.1 | 98.1 | 88.9 | 81.9 | 74.8 | |

Se observa que la expresión de la Instrucción 5.2-I.C. proporciona valores muy próximos a los obtenidos a partir de la distribución de Gumbel, y siempre ligeramente del lado de la seguridad. Queda así constatada la validez de la citada expresión para su uso en la zona en estudio. Por todo ello, adoptamos en este Proyecto la expresión de la Instrucción 5.2-I.C para el cálculo de las precipitaciones de duración menor al día. Los valores de precipitación e intensidad de lluvia así obtenidos se recogen en la tabla y los gráficos siguientes.





PRECIPITACIONES DE CORTA DURACIÓN PARA DISTINTOS PERIODOS DE RETORNO

| Duración min. | T = 25 años | | | T = 50 años | | | T = 100 años | | | T = 250 años | | | T = 500 años | | |
|------------------|-------------|--------|----------|-------------|----------|--------|--------------|--------|----------|--------------|----------|--------|--------------|--------|----------|
| | Horas | P (mm) | I (mm/h) | P (mm) | I (mm/h) | P (mm) | I (mm/h) | P (mm) | I (mm/h) | P (mm) | I (mm/h) | P (mm) | I (mm/h) | P (mm) | I (mm/h) |
| 5 | 0.083 | 9.3 | 111.3 | 10.2 | 121.8 | 11.0 | 132.2 | 12.2 | 146.0 | 13.0 | 156.4 | | | | |
| 10 | 0.167 | 13.8 | 82.9 | 15.1 | 90.7 | 16.4 | 98.5 | 18.1 | 108.8 | 19.4 | 116.5 | | | | |
| 15 | 0.250 | 17.3 | 69.1 | 18.9 | 75.7 | 20.5 | 82.1 | 22.7 | 90.7 | 24.3 | 97.1 | | | | |
| 20 | 0.333 | 20.2 | 60.5 | 22.1 | 66.2 | 23.9 | 71.8 | 26.4 | 79.3 | 28.3 | 85.0 | | | | |
| 25 | 0.417 | 22.7 | 54.4 | 24.8 | 59.5 | 26.9 | 64.6 | 29.7 | 71.3 | 31.8 | 76.4 | | | | |
| 30 | 0.500 | 24.9 | 49.8 | 27.2 | 54.5 | 29.6 | 59.1 | 32.6 | 65.3 | 35.0 | 69.9 | | | | |
| 40 | 0.667 | 28.8 | 43.1 | 31.5 | 47.2 | 34.2 | 51.2 | 37.7 | 56.6 | 40.4 | 60.6 | | | | |
| 50 | 0.833 | 32.1 | 38.5 | 35.1 | 42.1 | 38.1 | 45.7 | 42.1 | 50.5 | 45.1 | 54.1 | | | | |
| 60 | 1.000 | 35.0 | 35.0 | 38.3 | 38.3 | 41.6 | 41.6 | 45.9 | 45.9 | 49.2 | 49.2 | | | | |
| 75 | 1.250 | 38.9 | 31.1 | 42.5 | 34.0 | 46.1 | 36.9 | 51.0 | 40.8 | 54.6 | 43.7 | | | | |
| 90 | 1.500 | 42.2 | 28.2 | 46.2 | 30.8 | 50.2 | 33.4 | 55.4 | 36.9 | 59.3 | 39.6 | | | | |
| 105 | 1.750 | 45.3 | 25.9 | 49.5 | 28.3 | 53.7 | 30.7 | 59.3 | 33.9 | 63.6 | 36.3 | | | | |
| 120 | 2.000 | 48.0 | 24.0 | 52.5 | 26.3 | 57.0 | 28.5 | 62.9 | 31.5 | 67.4 | 33.7 | | | | |
| 150 | 2.500 | 52.8 | 21.1 | 57.8 | 23.1 | 62.7 | 25.1 | 69.3 | 27.7 | 74.2 | 29.7 | | | | |
| 180 | 3.000 | 57.0 | 19.0 | 62.4 | 20.8 | 67.7 | 22.6 | 74.8 | 24.9 | 80.1 | 26.7 | | | | |
| 210 | 3.500 | 60.7 | 17.3 | 66.4 | 19.0 | 72.1 | 20.6 | 79.6 | 22.8 | 85.3 | 24.4 | | | | |
| 240 | 4.000 | 64.1 | 16.0 | 70.1 | 17.5 | 76.1 | 19.0 | 84.0 | 21.0 | 90.0 | 22.5 | | | | |
| 300 | 5.000 | 69.9 | 14.0 | 76.5 | 15.3 | 83.0 | 16.6 | 91.6 | 18.3 | 98.1 | 19.6 | | | | |
| 330 | 5.500 | 72.4 | 13.2 | 79.3 | 14.4 | 86.0 | 15.6 | 95.0 | 17.3 | 101.8 | 18.5 | | | | |
| 360 | 6.000 | 74.8 | 12.5 | 81.9 | 13.6 | 88.9 | 14.8 | 98.1 | 16.4 | 105.1 | 17.5 | | | | |
| 390 | 6.500 | 77.1 | 11.9 | 84.3 | 13.0 | 91.5 | 14.1 | 101.1 | 15.6 | 108.3 | 16.7 | | | | |
| 420 | 7.000 | 79.2 | 11.3 | 86.6 | 12.4 | 94.0 | 13.4 | 103.8 | 14.8 | 111.2 | 15.9 | | | | |
| 450 | 7.500 | 81.2 | 10.8 | 88.8 | 11.8 | 96.4 | 12.9 | 106.4 | 14.2 | 114.0 | 15.2 | | | | |
| 480 | 8.000 | 83.0 | 10.4 | 90.9 | 11.4 | 98.6 | 12.3 | 108.9 | 13.6 | 116.7 | 14.6 | | | | |
| 510 | 8.500 | 84.8 | 10.0 | 92.8 | 10.9 | 100.7 | 11.9 | 111.2 | 13.1 | 119.2 | 14.0 | | | | |
| 540 | 9.000 | 96.5 | 9.6 | 94.7 | 10.5 | 102.8 | 11.4 | 113.5 | 12.6 | 121.5 | 13.5 | | | | |
| 570 | 9.500 | 88.1 | 9.3 | 96.5 | 10.2 | 104.7 | 11.0 | 115.6 | 12.2 | 123.8 | 13.0 | | | | |
| 600 | 10.000 | 89.7 | 9.0 | 98.2 | 9.8 | 106.5 | 10.7 | 117.6 | 11.8 | 126.0 | 12.6 | | | | |
| 660 | 11.000 | 92.6 | 8.4 | 101.3 | 9.2 | 110.0 | 10.0 | 121.4 | 11.0 | 130.1 | 11.8 | | | | |
| 720 | 12.000 | 95.3 | 7.9 | 104.3 | 8.7 | 113.2 | 9.4 | 125.0 | 10.4 | 133.9 | 11.2 | | | | |





**ESTUDIO DE INUNDABILIDAD PARA EL PROYECTO DE ACTUACIÓN DEL ÁREA LOGÍSTICA
DE MAJARAVIQUE, TM. SEVILLA Y LA RINCONADA.**

Agencia Pública de Puertos de Andalucía
CONSEJERÍA DE FOMENTO Y VIVIENDA
DIRECCIÓN GENERAL



4. HIDROGRAMAS DE AVENIDA.

4.1 GENERALIDADES.

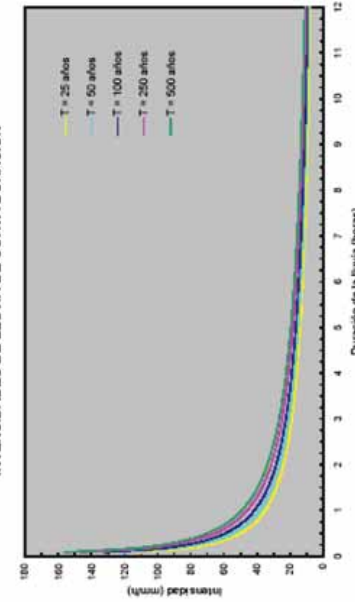
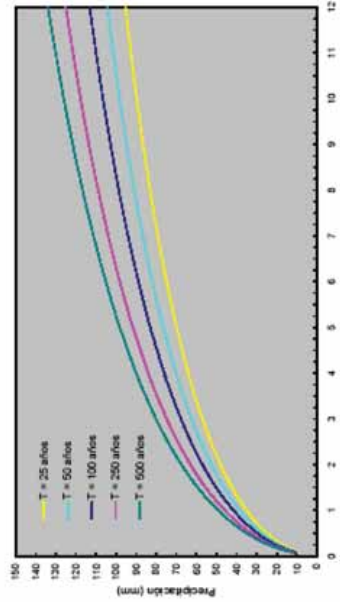
Un hidrograma representa la evolución del caudal en una sección de un cauce en función del tiempo y está constituido por cuatro sumandos:

- El caudal de escorrentía superficial.
- El caudal de base o caudal aportado por los acuíferos de cabecera
- El interflujo o caudal que una vez percolado vuelve al cauce sin haber alcanzado el acuífero
- La lluvia sobre el propio cauce.

Debido a las características del terreno, de los anteriores sumandos sólo el primero, y en mucha menor cuantía el segundo, tienen importancia en este Estudio, y son los que van a merecer una atención en los párrafos que siguen.

Para el cálculo de los hidrogramas se ha dirigido la vista hacia los denominados hidrogramas unitarios, cuya teoría es sobradamente conocida, y concretamente hacia dos:

INTENSIDADES DE LLUVIA DE CORTA DURACIÓN



- El hidrograma de Clark.

- El hidrograma del Soil Conservation Service.

El primero por lo conocido que resulta por los hidrólogos locales, amén de su excelente comportamiento, y el SCS por su sencillez de empleo en cuencas como la presente, donde no existen aforos ni posibilidad de extrapolar valores de cuencas próximas y análogas.

4.1.1 Hidrograma unitario de Clark.

La teoría del hidrograma unitario fue introducida por Sherman en el año 1932, y es la técnica más utilizada para transformar un pluviograma en hidrograma de escorrentía. Se trata del hidrograma unitario de Clark, que consiste en un hidrograma sintético que puede establecerse en base a dos parámetros.

La aplicación de este hidrograma unitario (y de los demás, hasta donde alcanza el saber de los autores de este Anexo) está basada en la hipótesis de que el sistema lluvia-neba-escorrentía es un sistema lineal invariantes en el tiempo, con lo que pueden aceptarse los principios siguientes:





**ESTUDIO DE INUNDABILIDAD PARA EL PROYECTO DE ACTUACIÓN DEL ÁREA LOGÍSTICA
DE MAJARAVIQUE, TM. SEVILLA Y LA RINCONADA.**



- La duración de la escorrentía superficial correspondiente a precipitaciones de igual duración es constante e independiente de la precipitación.
 - Dos tormentas de intensidad neta uniforme y de la misma duración producen caudales proporcionales a los volúmenes de precipitación neta;
 - La distribución temporal de la escorrentía superficial de un periodo dado es independiente de la escorrentía de otros fenómenos concurrentes con el estudiado.
- En resumen, se cumplen los principios de constancia del tiempo base, proporcionalidad y superposición.

Por consiguiente, dividiendo el fenómeno en intervalos, la expresión del caudal en un intervalo i , $Q(i)$, puede escribirse:

$$Q(i) = \sum_{j=1}^i P(i-j+1) \cdot U(j)$$

Siendo:

i el intervalo de cálculo
 $P(i)$ la lluvia neta del intervalo
 $U(j)$ la ordenada (m^3/s) del hidrograma unitario.

En el caso del hidrograma unitario de Clark, las magnitudes son continuas y la anterior expresión adopta el valor:

$$Q(i) = \int_0^i P(i-\tau) \cdot U(\tau) \cdot d\tau$$

El almacenamiento en el cauce se calcula como es habitual por iteración entre el caudal de entrada y el de salida.

4.2 HIDROGRAMA UNITARIO DEL S.C.S.

Se basa en un hidrograma adimensional obtenido experimentalmente, en el cual tanto el caudal como el tiempo se expresan como cociente respecto al caudal punta Q_p y al tiempo punta T_p , con lo que se elimina el efecto del tamaño de la cuenca y - no sin algún error - el efecto de la forma de dicha cuenca.

El hidrograma adimensional y la curva también adimensional de volúmenes están fijados por el S.C.S., y presentan las siguientes características básicas:

- El tiempo base T_b es cinco veces el tiempo punta T_p .
- El volumen desaguado antes del tiempo punta es 3/8 del total.
- El punto de inflexión de la rama de recepción ocurre a 1,7 veces el tiempo de punta.
- Definida, por tanto, una tormenta y su escorrimiento, solo se precisa un parámetro para ajustar el Modelo. Este parámetro suele ser el tiempo de desfase de punta T_d , que puede calcularse fácilmente mediante la expresión:

$$T_d = \frac{3}{8} T_c - \frac{1}{8} D$$

Siendo:

T_c el tiempo de concentración de la cuenca, calculado a partir de la expresión de Trémez, y D la duración del aguacero.

Con algunas limitaciones en los cálculos que el propio S.C.S. recomienda, es un método sencillo de emplear y que presenta la ventaja frente otros (y concretamente frente al de Clark) de que es más sencillo de ajustar en ausencia de datos experimentales para calibraciones. Será éste el hidrograma que se va a aplicar a la cuenca objeto de estudio.

4.3 MODELO HEC-HMS.

A partir de los datos del Estudio Hidrológico se ha modelizado el cauce del arroyo Tamarguillo con el programa HEC-HMS, del Cuerpo de Ingenieros Militares de los Estados Unidos. Se ha incluido la geometría del canal de desagüe, y se ha analizado los resultados obtenidos para los caudales generados por los diferentes períodos de retorno considerados.

Los datos introducidos han permitido discretizar el tramo de la sección principal del cauce que está hormigonada, donde el coeficiente de Manning en 0,014 y las banquetas laterales del canal encauzado, que al estar desprotegidas tienen un coeficiente de 0,018, en prevención de la falta de limpieza por presencia de vegetación.

Los resultados de la salida del programa se presentan en el APÉNDICE N° 6, presentándose el perfil resultante con las diferentes avenidas, y una sección característica representativa.





ESTUDIO DE INUNDABILIDAD PARA EL PROYECTO DE ACTUACIÓN DEL ÁREA LOGÍSTICA DE MAJARAVIQUE, TM. SEVILLA Y LA RINCONADA.



Como conclusiones principales se observan las siguientes:

- De los resultados de HE-C-RAS se concluye que la construcción de la pasarela peatonal y la pila colocada en el interior del cauce, no afecta significativamente sobre la lámina de agua producida en la inundación de 500 años.
- El cauce actual del arroyo Tamarguillo tiene capacidad estricta y ajustada a sus límites para desaguar la avenida de los 500 años sin producir daños por inundación, los cuales se producirán hacia el norte, rebasando la cota de coronación del ferrocarril Sevilla-Huelva, al encontrarse la autovía SE-020 a una cota superior.
- El rango de mayores velocidades del agua en la sección del Tamarguillo se producen en el cauce de aguas mínimas, donde se produce la parte más importante del desagüe de la sección. Las velocidades en el cauce de aguas mínimas son del orden de los 7' a 8m/seg., siendo en el resto de la sección entre 2' y 3m/seg.

5. CÁLCULO DE AVENIDAS.

5.1 CARACTERÍSTICAS DE LAS CUENCAS.

El esquema hidrológico adoptado es el de las cuencas aportadoras (correspondientes a los arroyos Buitrago y Miraflores) cuya unión da lugar al arroyo Tamarguillo.

Lógicamente, los tramos de río encauzados han sido modelados como canales, según se muestra en el croquis adjunto, tomado del programa HE-C-HMS.



El modelo hidrológico elegido ha sido el del SCS, toda vez que para aplicar el de Clark es preciso llevar a cabo un ajuste de parámetros que es inviable en este caso por la ausencia de aforos.

El estudio de la infiltración se lleva a cabo también por el método del SCS, consistente en asignar un Curvénúmero (CN) a cada cuenca y estimar una precipitación umbral realista. Para este último

ANEXO DE CLIMATOLOGÍA E HIDROLOGÍA.

205

38





**ESTUDIO DE INUNDABILIDAD PARA EL PROYECTO DE ACTUACIÓN DEL ÁREA LOGÍSTICA
DE MAJARAVIQUE, TM. SEVILLA Y LA RINCONADA.**

A continuación se detallan los parámetros característicos de las cuencas en estudio.

CUENCA ARROYO DE BUITRAGO:

| | |
|-------------------------------------|------------------------|
| Área | 42.398 km ² |
| ARF | 0.852 |
| Longitud del cauce principal | 12.559 km |
| Pendiente media del cauce principal | 0.326 % |
| Tiempo de concentración (Tmex) | 6h 16min |
| Umbral de escorrentía | 5 mm |
| Número de Curva del S.C.S. | 67.98 |

CUENCA ARROYO MIRAFLORES:

| | |
|-------------------------------------|------------------------|
| Área | 83.455 km ² |
| ARF | 0.852 |
| Longitud del cauce principal | 23.339 km |
| Pendiente media del cauce principal | 0.677 % |
| Tiempo de concentración (Tmex) | 8h 30min |
| Umbral de escorrentía | 5 mm |
| Número de Curva del S.C.S. | 73.34 |
| Coeficiente de uniformidad | 1.509 |

5.2 GENERACIÓN DE AVENIDAS.

Aplicando la metodología desarrollada en los epígrafes anteriores, se han calculado los hidrogramas de las avenidas más desfavorables correspondientes a 25, 50, 100, 250 y 500 años de periodo de retorno.

Se ha considerado en todos los casos una intensidad de lluvia constante. El procedimiento operativo seguido puede resumirse como sigue. Para cada duración de lluvia se determina la intensidad y precipitación correspondientes, aplicando para ello la expresión de la Instrucción 5.2-I.C. Con el pluviograma así obtenido, y mediante el programa informático HEC-HMS, se calcula el hidrograma de la avenida resultante. El proceso se repite con distintas duraciones de lluvia, adoptándose finalmente la que proporciona el hidrograma de mayor caudal punta.

5.2.1 HIDROGRAMA DEL ARROYO TAMARGUILLO.

Para la avenida de 500 años de periodo de retorno, se incluye además un segundo gráfico donde se representan los hidrogramas generados en cada una de las cuencas parciales (arroyos Buitrago y Miraflores).



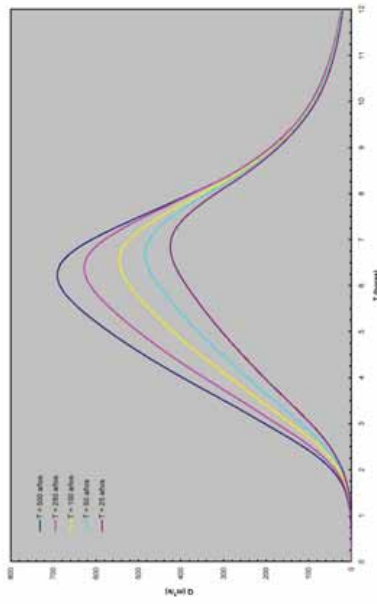


ESTUDIO DE INUNDABILIDAD PARA EL PROYECTO DE ACTUACIÓN DEL ÁREA LOGÍSTICA
DE MAJARAVIQUE, TM. SEVILLA Y LA RINCONADA.

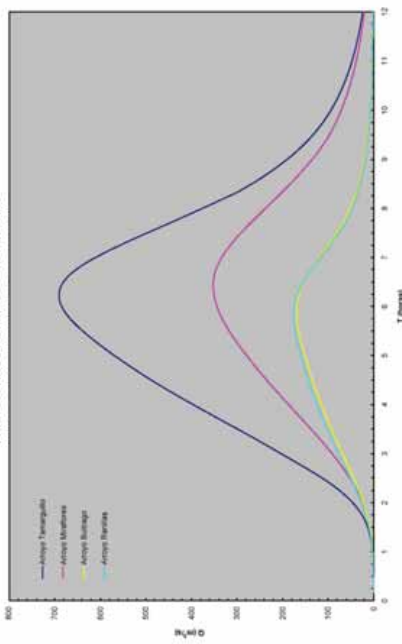
Agencia Pública de Puertos de Andalucía
CONSEJERÍA DE FOMENTO Y VIVIENDA



HIDROGRAMAS DE AVENIDA EN EL ARROYO TAMARGUILLO



HIDROGRAMAS DE AVENIDA EN LAS CUENCA EN ESTUDIO
PARA 500 AÑOS DE PERÍODO DE RETORNO



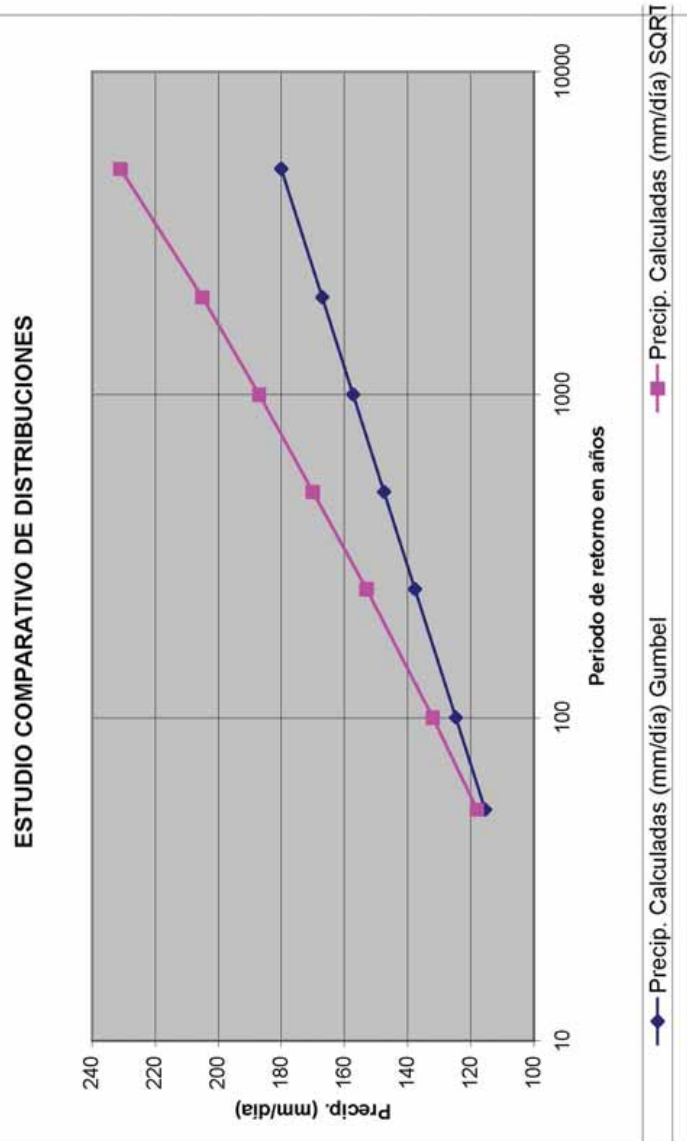
ANEXO DE CLIMATOLOGÍA E HIDROLOGÍA.

205

41



| Período de Retorno (años) | Precip. Calculadas (mm/día) | Gumbel | SQRT-ET |
|---------------------------|-----------------------------|--------|---------|
| 5000 | 180 | 231 | |
| 2000 | 167 | 205 | |
| 1000 | 157 | 187 | |
| 500 | 147 | 170 | |
| 250 | 138 | 153 | |
| 100 | 125 | 132 | |
| 52 | 115 | 118 | |





6. LA DISTRIBUCIÓN SQRT-ET.

El estudio y extrapolación de precipitaciones máximas ha sido, y sigue siendo, preocupación constante del hidrólogo, porque consiste en "adivinar el futuro".

En el anterior análisis, se ha empleado una distribución clásica, la de Gumbel, que se ha ganado una merecida fama y que ha ajustado francamente bien a los valores observados. Normalmente, ajusta bien en las cuencas atlánticas de nuestro entorno y lo hace bastante peor en las mediterráneas. También falla en las atlánticas en los casos de series muy cortas, lo que no ha sido el caso presente.

El CEDEX, consciente del peligro que supone minimizar un fenómeno meteorológico que sirve para dimensionar protecciones contra avenidas, recomienda que en los casos de ajuste defectuoso de la distribución de Gumbel se emplee la denominada SQRT-ET, cuya expresión es la siguiente:

$$F(x) = e^{-\beta(1-\sqrt{\alpha \cdot x})} e^{-\gamma(\alpha \cdot x)}$$

ajustando los parámetros a los datos experimentales, bien por regresión ortogonal o por máxima verosimilitud. La fórmula es engorrosa de aplicar porque no se puede despejar la x como en la de Gumbel, y hay que manejar continuamente el "Solver".

En el caso presente, la aplicación de esta distribución está fuera de lugar por el magnífico ajuste de Gumbel, tanto a las precipitaciones diarias, como a las que se poseen del Aeropuerto cada 6 horas.

No obstante todo lo anterior, se ha procedido a un ajuste de la distribución SQRT-ET a la estación Aeropuerto, incluyéndose a continuación los resultados comparativos de ambas distribuciones.

Al gráfico que sigue se le ha dotado, obviamente de una abcisa logarítmica para poder apreciarlo correctamente. Siguen a continuación una tabla con valores numéricos y su representación gráfica con la característica resenhada. Se constata en primer lugar que ambas leyes ajustan perfectamente la máxima precipitación histórica, que fue de 109 mm de una serie de 52 años.

Más allá, la extrapolación SQRT ofrece valores más elevados que la Gumbel, como es habitual, pero con unas diferencias muy moderadas. Fijándose en los valores para un período de 500 años, la diferencia entre 147 y 170 mm, corresponde a un escaso 15% que es un porcentaje muy pequeño entre los demás parámetros empleados en un estudio hidrológico hidráulico. Pensemos

